

АЗӘРБАЙЧАН ССР ЕЛМЛӘР АКАДЕМИЈАСЫ  
АКАДЕМИЯ НАУК АЗЕРБАЙДЖАНСКОЙ ССР

---

# МӘРҮЗЭЛӘР ДОКЛАДЫ

ТОМ XXIV ЧИЛД

6

---

АЗӘРБАЙЧАН ССР ЕЛМЛӘР АКАДЕМИЈАСЫ НӘШРИЈАТЫ  
ИЗДАТЕЛЬСТВО АКАДЕМИИ НАУК АЗЕРБАЙДЖАНСКОЙ ССР  
Бакы—1968—Баку

АЗӘРБАЙЧАН ССР ЕЛМЛӘР АКАДЕМИЯСЫ  
АКАДЕМИЯ НАУК АЗЕРБАЙДЖАНСКОЙ ССР

# МӘРҮЗӘЛӘР ДОКЛАДЫ

ТОМ XXIV ЧИЛД

№ 6

АЗӘРБАЙЧАН ССР ЕЛМЛӘР АКАДЕМИЯСЫ НӘШРИЈАТЫ  
ИЗДАТЕЛЬСТВО АКАДЕМИИ НАУК АЗЕРБАЙДЖАНСКОЙ ССР  
БАКЫ—1968—БАКУ

С. А. ГУСЕЙНОВА

ОБ ОСОБЫХ РЕШЕНИЯХ ОДНОЙ КРАЕВОЙ ЗАДАЧИ  
НЕКОТОРОГО КЛАССА ИНТЕГРО-ДИФФЕРЕНЦИАЛЬНЫХ  
УРАВНЕНИЙ

(Представлено академиком АН Азербайджанской ССР З. И. Халиловым)

Рассмотрим интегро-дифференциальное уравнение вида:

$$L\left[\frac{\partial u}{\partial t}\right] = t \int_0^1 K(x, s) \left[ \sum_{k=0}^{m-1} A_k(s) U^k(s, t) \right] L\left[\frac{\partial u}{\partial t}\right] ds + \\ + \int_0^1 Q(x, s) \sum_{k=0}^m B_k(s) U^k(s, t) ds, \quad (1)$$

где  $A_0(s), A_1(s), \dots, A_{m-1}(s); B_0(s), B_1(s), \dots, B_m(s)$  — интегрируемые функции на  $0 \leq x \leq 1$ ;  $K(x, s), Q(x, s)$ , регулярные ядра в квадрате  $R(0 \leq x, s \leq 1)$ ;  $U(x, t)$  — искомая функция, определенная в полосе  $G(0 \leq x \leq 1; -\infty < t < \infty)$ .

$L\left[\frac{\partial u}{\partial t}\right] = L[U]$  — линейный дифференциальный оператор, порожденный линейным дифференциальным выражением  $\frac{d^2}{dx^2}[U] + a(x)\frac{d}{dx}[U] + b(x)[U]$  и краевыми условиями  $U(0, t) = U(1, t) = 0$ .

Определение. Решение  $U(x, t)$  уравнения (1), представленное в виде ряда Лорана в окрестности точки  $t = 0$  с конечным числом членов в главной части, назовем особым решением.

Для простоты изложения примем  $m = 2, P = 1$ . При таких условиях решение уравнения (1) имеем в виде ряда

$$U(x, t) = \frac{1}{t} \varphi_{-1}(x) + \sum_{k=0}^{\infty} t^k \varphi_k(x). \quad (2)$$

После подстановки ряда (2) в уравнение (1) и сравнения коэффициентов при одинаковых степенях  $t$  получим:

РЕДАКЦИОННАЯ КОЛЛЕГИЯ: Р. Г. Исмайлова (главный редактор), Ш. А. Азизбекова, В. Р. Волобуева, Д. М. Гусейнова, И. А. Гусейнова, М. А. Дадашзаде (зам. главного редактора), М. А. Далин, Ч. М. Джуварлы, А. И. Караев, М. А. Кашикай (зам. главного редактора), С. М. Кулиев, М. Ф. Нагиев, М. А. Топчибашев, З. И. Халилов, Г. Г. Зейналов (ответственный секретарь).

Адрес: г. Баку, Коммунистическая, 10. Редакция «Докладов Академии наук Азербайджанской ССР».

n 58734

Центральная научная  
БИБЛИОТЕКА  
Академии наук Киргизской ССР

$$L[\varphi_{-1}(x)] = \int_0^1 K(x, s) A_1(s) \varphi_{-1}(s) L[\varphi_{-1}(s)] ds - \int_0^1 Q(x, s) B_2(s) \varphi_{-1}^2(s) ds \quad (3)$$

$$0 = \int_0^1 2Q(x, s) B_2(s) \varphi_{-1}(s) \varphi_0(s) ds - \int_0^1 K(x, s) A_1(s) L[\varphi_{-1}(s)] \varphi_0(s) ds + \quad (4)$$

$$+ \int_0^1 Q(x, s) B_1(s) \varphi_{-1}(s) ds - \int_0^1 K(x, s) A_0(s) L[\varphi_{-1}(s)] ds$$

$$L[\varphi_1(x)] = \int_0^1 K(x, s) A_1(s) \varphi_{-1}(s) L[\varphi_1(s)] ds + \quad (5)$$

$$+ \int_0^1 2Q(x, s) B_2(s) \varphi_{-1}(s) \varphi_1(s) ds - \int_0^1 K(x, s) A_1(s) L[\varphi_{-1}(s)] \varphi_1(s) ds +$$

$$+ \int_0^1 Q(x, s) B_1(s) \varphi_0(s) ds + \int_0^1 Q(x, s) B_0(s) ds$$

$$L[\varphi_n(x)] = \int_0^1 K(x, s) A_1(s) \varphi_{-1}(s) L[\varphi_n(s)] ds + \quad (6)$$

$$+ \frac{1}{n} \int_0^1 2Q(x, s) B_2(s) \varphi_{-1}(s) \varphi_n(s) ds - \frac{1}{n} \int_0^1 K(x, s) A_1(s) L[\varphi_{-1}(s)] \varphi_n(s) ds +$$

$$+ f_n(x),$$

где  $f_n(x) (n > 2)$  определенные функции. Пусть (3) имеет нетривиальное решение  $\varphi_{-1}(x) \in C$  и (4) удовлетворяет условиям теоремы Пикара.

Пусть далее 1 не является характеристическим числом для ядра  $K(x, s) A_1(s) \varphi_{-1}(s)$ , тогда

$$L[\varphi(x)] = f_1[\varphi_1(x)] + \int_0^1 R(x, s) f_1[\varphi_1(x)] ds \quad (7)$$

Далее, пусть 1 не является характеристическим числом для оператора  $L[\varphi_1(x)]$ , порожденного линейным дифференциальным выражением

$$\frac{d^2 \varphi_1(x)}{dx^2} + a(x) \frac{d\varphi_1(x)}{dx} + b(x) \varphi_1(x)$$

и краевыми условиями  $\varphi_1(0) = \varphi_1(1) = 0$ .

Тогда оператор  $L[\varphi_1(x)]$  имеет обратный, который является интегральным оператором с ядром-функцией Грина оператора  $L[\varphi_1(x)]$ . Отсюда

$$\varphi_1(x) = \int_0^1 \int_0^1 \Gamma(x, t) R(t, s) f_1[\varphi_1(s)] ds + \int_0^1 \Gamma(x, s) f_1[\varphi_1(s)] ds \quad (8)$$

Разрешая уравнение (8) имеем окончательно:

$$\varphi_1(x) = f_{11}(x) + \int_0^1 R_1(x, s) f_{11}(s) ds \quad (9)$$

Проведя эти рассуждения для уравнения (6) имеем:

$$\varphi_n(x) = \frac{1}{n} \int_0^1 R_1(x, s) f_{nn}(s) ds + f_{nn}(x), \quad (10)$$

где  $R_1(x, s)$  — резольвента ядра  $P(x, s)$  интегрального уравнения

$$\varphi_n(x) = \frac{1}{n} \int_0^1 P(x, s) \varphi_n(s) ds + f_{nn}(x)$$

Очевидно, что не все значения  $\frac{1}{n}$  могут быть собственными значениями ядра  $P(x, s)$ , т. е. не все значения  $\frac{1}{n}$  могут быть нулями  $D(\lambda)$  (определитель Фредгольма). Действительно, если все  $\frac{1}{n}$  являлись бы нулями  $D(\lambda)$ , то на основании теоремы о единственности аналитических функций  $L(\lambda) \equiv 0$ , что невозможно. Следовательно остается только лишь конечная часть значений  $\frac{1}{n}$ . Теперь предположим, что конечная часть значений  $\frac{1}{n}$  не является характеристическим числом ядра  $P(x, s)$ , тогда, очевидно, что все  $\varphi_n(x)$  определяются однозначно.

Итак, рекуррентная система последовательно разрешается однозначно и мы построим ряд (2), при этом

$$\varphi_r(x) = \left( E - \frac{1}{r} B \right)^{-1} f_r, \quad r = 1, 2, \dots$$

где

$$B = \int_0^1 P(x, s) \varphi_n(s) ds$$

Рассмотрим вспомогательное уравнение:

$$L\left[\frac{\partial v}{\partial t}\right] = \int_0^1 K(x, s) A_1(s) \varphi_{-1}(s) L\left[\frac{\partial v}{\partial t}\right] ds - \quad (11)$$

$$- \frac{1}{t} \int_0^1 K(x, s) A_1(s) L[\varphi_{-1}(s)] V(s) ds +$$

$$+ t \int_0^1 K(x, s) A_2(s) L\left[\frac{\partial v}{\partial t}\right] ds + t \int_0^1 K(x, s) A_1(s) V(s) L\left[\frac{\partial v}{\partial t}\right] ds +$$

$$+ \int_0^1 Q(x, s) [B_0(s) + B_1(s) V(s) + B_2(s) V^2(s)] ds +$$

$$+ \frac{2}{t} \int_0^1 Q(x, s) B_2(s) \varphi_{-1}(s) V(s) ds +$$

$$+ \frac{1}{t} \int_0^1 K(x, s) A_1(s) \varphi_0(s) L[\varphi_{-1}(s)] ds - \frac{2}{t} \int_0^1 Q(x, s) B_2(s) \varphi_{-1}(s) \varphi_0(s) ds$$

Далее строим мажорантное уравнение и доказываем сходимость процесса.

Таким образом доказана

Теорема 1. В случае регулярного значения оператора  $B$  (1) имеет единственное особое решение в виде ряда (2).

В случае характеристического значения оператора  $B$ , для того, чтобы первое уравнение системы (6) имело решение необходимо и

достаточно, чтобы  $I_1 = \int_0^1 f_{11}(x)\beta(x)dx = 0$ , где  $\beta(x)$  — характеристическая

функция присоединенного оператора, оператора  $B$ . При этом для  $\varphi_1(x)$  имеем  $\varphi_1(x) = C_1\alpha(x) + P(f_{11})$ ,  $\alpha$  — характеристическая функция оператора  $B$ , а  $P(f_{11})$  его псевдорезольвента. Все остальные функции определяются континуум-значно. В результате доказана

Теорема 2. В случаях характеристического значения оператора  $B$  существует континуум особых решений уравнения (1) в виде ряда 2.

Если  $I_1 \neq 0$ , то очевидно уравнение (1) не может иметь особого решения вида (2). Производим замену  $t = \tau^2$ , тогда (1) принимает вид

$$\begin{aligned} L\left[\frac{\partial u}{\partial t}\right] = & \tau^{2p} \int_0^1 K(x, s) \left[ \sum_{k=0}^{m-1} A_k(s) U^k(s) L\left[\frac{\partial u}{\partial \tau}\right] + \right. \\ & \left. + 2p\tau \int_0^1 Q(x, s) \sum_{k=0}^m B_k(s) U^k(s) ds \right] \end{aligned} \quad (12)$$

Легко заметить, что это уравнение не имеет решения вида (2). Ищем решения его в виде мероморфной функции с полюсом порядка 2 в точке  $\tau = 0$ .

$$\frac{1}{\tau^2} \varphi_{-2}(x) + \frac{1}{\tau} \varphi_{-1}(x) + \sum_{k=0}^{\infty} \tau^k \varphi_k \quad (13)$$

После подстановки ряда (13) в уравнение (12) и сравнения коэффициентов, получаем:

$$\begin{aligned} L[\varphi_{-2}(x)] = & \int_0^1 K(x, s) A_1(s) \varphi_{-2}(s) L[\varphi_{-2}(s)] ds - \int_0^1 Q(x, s) B_2(s) \varphi_{-2}^2(s) ds \\ L[\varphi_{-1}(x)] = & \int_0^1 K(x, s) A_1(s) \varphi_{-2}(s) L[\varphi_{-1}(s)] ds + \\ & + \int_0^1 2K(x, s) A_1(s) L[\varphi_{-2}(s)] \varphi_{-1}(s) ds - \int_0^1 4Q(x, s) B_2(s) \varphi_{-2}(s) \varphi_{-1}(s) ds \\ 0 = & \int_0^1 2K(x, s) A_1(s) L[\varphi_{-2}(s)] \varphi_0(s) ds - \int_0^1 4Q(x, s) B_2(s) \varphi_{-2}(s) \varphi_0(s) ds + \\ & + \int_0^1 K(x, s) A_1(s) \varphi_{-1}(s) L[(\varphi_{-1}(s))] ds - \int_0^1 2Q(x, s) B_1(s) \varphi_2(s) ds - \\ & - \int_0^1 2Q(x, s) B_2(s) \varphi_{-1}^2(s) ds + \int_0^1 2K(x, s) A_0(s) L[\varphi_{-2}(s)] ds + \end{aligned}$$

$$\begin{aligned} + L[\varphi_1(x)] = & \int_0^1 K(x, s) A_1(s) \varphi_{-2}(s) L[\varphi_2(s)] ds + \int_0^1 Q(x, s) B_2(s) \varphi_{-2}(s) \varphi_2(s) ds - \\ & - \int_0^1 2K(x, s) A_1(s) L[\varphi_{-2}(s)] \varphi_1(s) ds + \int_0^1 4Q(x, s) B_2(s) \varphi_{-1}(s) \varphi_0(s) ds - \\ & - \int_0^1 K(x, s) A_1(s) L[\varphi_{-1}(s)] \varphi_0(s) ds + \int_0^1 2Q(x, s) B_1(s) \varphi_{-1}(s) ds - \\ & - \int_0^1 K(x, s) A_0(s) L[\varphi_{-1}(s)] ds \\ L[\varphi_n(x)] = & \frac{1}{n} \int_0^1 K(x, s) A_1(s) \varphi_{-2}(s) L[\varphi_n(s)] ds + \\ & + \frac{1}{n} \int_0^1 4Q(x, s) B_2(s) \varphi_{-2}(s) \varphi_n(s) ds - \frac{1}{n} \int_0^1 2K(x, s) A_1(s) L[\varphi_{-2}(s)] \varphi_n(s) ds + \\ & + F_n(x), \end{aligned}$$

где  $F_n(x)$  ( $n \geq 3$ ) функции, не зависящие от  $\varphi_n(x)$ .

Пользуясь этой системой мы можем доказать существование одного или континуума решений для уравнения (1) в виде ряда

$$\frac{t_0}{t} \varphi_{-2}(x) + \frac{1}{\sqrt{t}} \varphi_{-1}(x) + \sum_{k=0}^{\infty} t^{k/2} \varphi_k(x)$$

#### ЛИТЕРАТУРА

- Смирнов М. М. Вестник ЛГУ, № 11, 1954.
- Назаров Н. И. Труды САГУ, 5, серия матем., вып. 33, 1941.
- Ахмедов К. Т. Усп. матем. наук, 12, 4 (76), 1957.
- Азерб. Государственный университет

Поступило 6. X 1967

С. А. Һүсейнова

Мұхтәлиф синифли интегро-диференциал тәнликләрин  
сәрхәд мәсәләсінин мәхсуси һәлли һағында

#### ХҮЛАСӘ

Мәгаләдә (1) интегро-диференциал тәнлиjin мәхсуси һәлләри ве-  
рилмишdir. Тәнлиjә даҳил олан мә'lum функцијалар үзәринә мүәjjән  
шәртләр гојараг,  $t = t_0$ -ын регулjар вә мәхсуси гиjмәт олдуғу наллар  
өjрәнилмишdir.

К. М. МУСАЕВ

## О НЕКОТОРЫХ ГРАНИЧНЫХ СВОЙСТВАХ ОБОБЩЕННЫХ АНАЛИТИЧЕСКИХ ФУНКЦИЙ

(Представлено академиком АН Азербайджанской ССР З. И. Халиловым)

Настоящая работа посвящена исследованию граничного поведения обобщенных аналитических функций (в смысле И. Н. Векуа [1]). Обычное исследование такого поведения делается со значительными предположениями относительно гладкости рассматриваемых решений. Однако для ряда вопросов эти предположения излишне обременительны. Например, желая применить к обобщенным аналитическим функциям теорию двойственности экстремальных задач (см. [2]), мы сталкиваемся с необходимостью провести исследование граничных свойств в наиболее общих предположениях, как это делается в теории граничных свойств аналитических функций [3].

В настоящей заметке мы и излагаем ряд результатов, относящихся к перенесению некоторых важных теорем теории граничных значений аналитических функций.

Мы придерживаемся основных определений и обозначений книги [1]. В то же время за формулируемыми теоремами сохраняем те названия, которые носят аналоги этих теорем для обычных аналитических функций.

Мы будем рассматривать дифференциальное уравнение

$$\partial_z W(z) + A(z)W(z) + B(z)W(z) = 0, \quad (1)$$

где  $A(z), B(z) \in L_{p,2}(E)$ ,  $p > 2$ ,  $E$  — вся конечная плоскость,

$$\partial_z W = \frac{1}{2} \left( \frac{\partial W}{\partial x} + i \frac{\partial W}{\partial y} \right), \quad z = x + iy \quad (\text{см. [1] стр. 149})$$

Уравнение (1) с такими коэффициентами имеет регулярное решение. Класс таких решений в области  $G$  мы будем обозначать символом  $U_{p,2}(A, B, G)$

Уравнение

$$\partial_z W'(z) - A(z)W'(z) - \overline{B(z)}\overline{W'(z)} = 0 \quad (2)$$

называется сопряженным уравнением (1).

Пусть  $G$  — конечная область со спрямляемой границей  $\Gamma$  и  $\Omega_1(z, t)$ ,  $\Omega_2(z, t)$  — так называемые основные ядра для класса  $U_{p,2}(A, B, G)$  ([1] стр. 192). Зададим на  $\Gamma$  комплексноизначенную функцию  $F(t)$  с ограниченным изменением.  $F(t)$  можно рассматривать как функцию длины дуги  $s$  на контуре  $\Gamma$ , заданную на интервале  $[0, l]$ , где  $l$  — полная длина  $\Gamma$ . Будем называть интегралом типа Коши—Стилтьеса выражение

$$\frac{1}{2\pi i} \int_{\Gamma} \Omega_1(z, t) dF(t) - \Omega_2(z, t) d\overline{F(t)} \quad (3)$$

Этот интеграл дает регулярное решение уравнения (1) при  $z \notin \Gamma$ .

Пусть  $t_0$  — какая-нибудь точка линии  $\Gamma$ , определенная значением  $S_0$  ее дуги. Обозначим через  $\Gamma_\epsilon$  часть линии  $\Gamma$ , оставшуюся после удаления из  $\Gamma$  той дуги, концами которой служат точки  $t(s_0 - \epsilon)$ ,  $t(s_0 + \epsilon)$  и которая содержит  $t_0$ . Особым интегралом назовем конечный предел (если он существует) выражения

$$\lim_{\epsilon \rightarrow 0} \frac{1}{2\pi i} \int_{\Gamma_\epsilon} \Omega_1(t_0, t) dF(t) - \Omega_2(t_0, t) d\overline{F(t)},$$

записывая в этом случае

$$\begin{aligned} \frac{1}{2\pi i} \int_{\Gamma} \Omega_1(t_0, t) dF(t) - \Omega_2(t_0, t) d\overline{F(t)} = \\ = \lim_{\epsilon \rightarrow 0} \int_{\Gamma_\epsilon} \Omega_1(t_0, t) dF(t) - \Omega_2(t_0, t) d\overline{F(t)} \end{aligned} \quad (4)$$

Рассмотрим следующую разность

$$\begin{aligned} \frac{1}{2\pi i} \left[ \int_{\Gamma} \Omega_1(z, t) dF(t) - \Omega_2(z, t) d\overline{F(t)} - \right. \\ \left. - \int_{\Gamma_\epsilon} \Omega_1(t_0, t) dF(t) - \Omega_2(t_0, t) d\overline{F(t)} \right] \end{aligned} \quad (5)$$

Проведем нормаль к  $\Gamma$  в точке  $t_0$  и будем  $z$  брать на прямой  $zt_0$ , идущей под углом  $0 \leq \psi_0 < \frac{\pi}{2}$  к нормали. Точка  $z$  может находиться как внутри области  $G$ , так и вне ее. Расстояние  $zt_0$  будем брать равным  $\epsilon$ .

Теорема 1. (Основная лемма Привалова: Ср. [3] стр. 183).

Если в точке  $t_0$  существует конечная производная  $F'(t_0)$ , то выражение (5) стремится к пределу  $\pm \frac{1}{2} F'(t_0) \left( + \frac{1}{2} F'(t_0) \right)$ , если

$z \rightarrow t_0$  изнутри и  $- \frac{1}{2} F'(t_0)$ , если  $z \rightarrow t_0$  снаружи  $G$ ). Стремление к

пределу равномерно относительно  $\psi_0$ ,  $(\psi_0) < \frac{\pi}{2}$ ,  $0 < 1$ .

Поскольку  $F'(t_0)$  существует почти везде на  $\Gamma$ , утверждение о наличии у (5) предела  $\pm \frac{1}{2} F'(t_0)$  имеет место для почти всех точек  $\Gamma$ .

Доказательство получается с помощью основной леммы Привалова для обычных аналитических функций и оценок ядер  $\Omega_1(z, t)$  и  $\Omega_2(z, t)$ , даваемых формулами

$$\Omega_1(z, t) = \frac{1}{t-z} + O(|z-t|^{-\frac{2}{p}})$$

и

$$\Omega_2(z, t) = O(|z-t|^{-\frac{2}{p}})$$

на стр. 179 книги [1].

Отметим некоторые следствия.

**Следствие 1.** Если особый интеграл (4) существует почти везде на  $\Gamma$ , то интеграл типа Коши—Стилтьеса (3), имеет конечные условия граничные почти везде на  $\Gamma$ , когда  $z - t_0$ , равные

$$\frac{1}{2\pi i} \int_{\Gamma} \Omega_1(t_0, t) dF(t) - \Omega_2(t_0, t) d\bar{F}(t) \pm \frac{1}{2} F'(t_0) \quad (7)$$

обратно, если (3) имеет почти везде на  $\Gamma$  угловые граничные значения (изнутри  $\Gamma$  или извне  $\Gamma$ ), то существует особый интеграл (4) почти везде на  $\Gamma$ .

Пусть  $z$  и  $z^*$  две точки, лежащие на расстоянии  $\varepsilon$  от  $t_0$ , на одной и той же прямой, проходящей через  $t_0$  под углом  $\psi_0$ ,  $|\psi_0| < \frac{\pi}{2}$  к нормам и по разные стороны от  $\Gamma$ .

**Следствие 2.** Разность значений интеграла типа Коши—Стилтьеса внутри и вне  $\Gamma$

$$\frac{1}{2\pi i} \left[ \int_{\Gamma} \Omega_1(z, t) dF(t) - \Omega_2(z, t) d\bar{F}(t) - \int_{\Gamma} \Omega_1(z^*, t) dF(t) - \Omega_2(z^*, t) d\bar{F}(t) \right]$$

стремится к пределу  $F'(t_0)$ , когда  $\varepsilon$  стремится к нулю, для всех точек  $t_0$  линии  $\Gamma$ , кроме, быть может, точек множества меры нуль, не зависящего от  $\psi_0$ , равномерно относительно  $\psi_0$ ,  $|\psi_0| < \frac{\pi}{2}$ ,  $0 < 1$ .

Частным случаем теоремы 1 является случай интеграла типа Коши—Лебега, когда вместо  $dF(t)$  в (3) стоит  $\varphi(t)dt$ , где  $\varphi(t)$  суммируемая на  $\Gamma$  функция.

Приведем здесь лишь формулировку следствия 2 для этого случая. **Следствие 2<sup>1</sup>.** Разность значений интеграла типа Коши—Лебега внутри и вне  $\Gamma$

$$\frac{1}{2\pi i} \left[ \int_{\Gamma} \Omega_1(z, t) \varphi(t) dt - \Omega_2(z, t) \overline{\varphi(t)} dt - \int_{\Gamma} \Omega_1(z^*, t) \varphi(t) dt - \Omega_2(z^*, t) \overline{\varphi(t)} dt \right] \quad (8)$$

стремится к пределу  $\varphi(t)$ , когда  $\varepsilon$  стремится к нулю для всякой точки  $t_0$  линии  $\Gamma$ , кроме, быть может, точек множества меры нуль не зависящего от  $\psi_0$ , равномерно относительно  $\psi_0$ ,  $|\psi_0| < \frac{\pi}{2}$ ,  $0 < 1$ .

10

Если интеграл типа Коши—Стилтьеса (3) имеет почти везде на  $\Gamma$  угловые граничные значения  $F'(t)$  при  $z$ , стремящемся к точкам  $\Gamma$  изнутри  $G$ , то мы будем называть такой интеграл интегралом Коши—Стилтьеса. Аналогичным образом определяется интеграл Коши—Лебега.

**Теорема 2.** (Голубева—Привалова). Пусть  $\varphi(t)$  суммируемая на  $\Gamma$ . Условия

$$\frac{1}{2\pi i} \int_{\Gamma} \Omega_1(z^*, t) \varphi(t) dt - \Omega_2(z^*, t) \overline{\varphi(t)} d\bar{t} = 0, z^* \in G \quad (9)$$

необходимы и достаточны для того, чтобы существовала функция из класса  $U_{p,2}(A, B, G)$ , представляемая интегралом Коши, угловые граничные значения которой почти везде совпадают с  $\varphi(t)$ .

**Теорема 3.** Если функция из класса  $U_{p,2}(A, B, G)$ , представляемая интегралом Коши—Стилтьеса

$$W(z) = \frac{1}{2\pi i} \int_{\Gamma} \Omega_1(z, t) dF(t) - \Omega_2(z, t) d\bar{F}(t),$$

то она представима интегралом Коши—Лебега от функции  $F'(t)$ , т. е.

$$W(z) = \frac{1}{2\pi i} \int_{\Gamma} \Omega_1(z, t) F'(t) dt - \Omega_2(z, t) \overline{F'(t)} d\bar{t}$$

$\lim_{z \rightarrow t} W(z) = F'(t)$  почти везде (предел в смысле углового граничного значения).

**Теорема 4.** Пусть  $\varphi(t)$  суммируемая функция на  $\Gamma$  и

$$\operatorname{Re} \left[ \frac{1}{2i} \int_{\Gamma} W(t) \varphi(t) dt \right] = 0$$

для всех непрерывных в  $G$  решений уравнения (2). Тогда  $\varphi(t)$  есть угловые граничные значения некоторого решения уравнения (1).

Здесь ядра  $\Omega_1$  и  $\Omega_2$  предполагаются нормированными относительно области  $G$  (см. [1] стр. 193).

Далее имеет место теорема, являющаяся аналогом теоремы братьев Рисс.

**Теорема 5.** Пусть  $\Gamma$ —аналитический контур. Если

$$\operatorname{Re} \left[ \frac{1}{2i} \int_{\Gamma} W(t) d\mu(t) \right] \quad (11)$$

для всех непрерывных в  $G$  решений уравнения (2) где  $\mu(t)$  функция с ограниченным изменением на  $\Gamma$ , то а)  $\mu(t)$  абсолютно непрерывна на  $\Gamma$  и б)  $d\mu(t) = \mu'(t)dt = W_1(t)dt$ , где  $W_1(t)$  граничные значения некоторого решения уравнения (1).

Отметим, что при доказательстве теоремы 5 попутно получается следующий факт:

Множество функций

$$\{\Omega_1(z, t), \Omega_2(z, t)\}$$

11

при  $z$  меняющемся вне  $\Gamma$  плотно в пространстве  $C(\Gamma)$  — функций непрерывных на  $\Gamma$ .

В заключение отметим, что оказывается полезным рассмотрение классов решений уравнения (1), состоящих из функций с ограниченными средними модулями аналоги классов  $H_p$  и  $E_p$ , изучаемых в теории аналитических функций. Эти вопросы будут рассмотрены в другой заметке.

Выражаю благодарность С. Я. Хавинсону за консультации, а А. Н. Кочеткову за обсуждение работы.

#### ЛИТЕРАТУРА

1. Векуа И. Н. Обобщенные аналитические функции. Физматгиз, 1959.
2. Хавинсон С. Я. Экстремальные задачи для некоторых классов аналитических функций в конечно-связанных областях. Мат. сб., т. 36, вып. 2, 1955.
3. Привалов И. И. Границевые свойства аналитических функций. Гостехиздат, 1950.

Институт математики и механики

Поступило 20. IV 1967

К. М. Мусаев

Умумиләшмиш аналитик функцијаларын бә'зи сәрһәд  
хассәләри һагында

#### ХҮЛASE

Мәгаләдә үмумиләшмиш аналитик функцијаларын (И. Н. Векуа мә'нада) сәрһәд гијметләри һагында 5 теорем верилмишdir. Үмумиләшмиш аналитик функција  $d = W(z) + A(z)W'(z) + B(z)W''(z) = 0$  дифференциал тәилимнин үмумиләшмиш һәлли кими баҳылыр: Алынан, нәтичәләр екстремал мәсәләләрин һәллиндә тәтбиғ едиլә биләр.

Х. Б. ГЕЗАЛОВ, А. В. ИВАНОВА

#### СЕЧЕНИЯ ФОТОИОНИЗАЦИИ ОТРИЦАТЕЛЬНОГО ИОНА ЛИТИЯ

(Представлено академиком АН Азербайджанской ССР З. И. Халиловым)

В последнее время стали широко применяться атомы щелочных металлов в качестве присадок для повышения электропроводности в ряде плазменных установок. Для правильной оценки величин, характеризующих оптические свойства плазмы, помимо исследования вероятности фотоионизационного поглощения на атомах щелочных металлов необходимо также учитывать сечения фотоионизации отрицательных ионов этих атомов.

Несмотря на то, что существование отрицательных ионов щелочных элементов экспериментально установлено [1—3], теоретически эти ионы еще мало изучены. Теоретические исследования отрицательных ионов щелочных металлов ограничивались определением энергии электронного сродства и вычислением радиальных волновых функций. Только в работах [4—6] разными методами изучались сечения фотоионизации в небольшом интервале энергии электрона в свободном состоянии.

В настоящей работе методом самосогласованного поля вычисляются сечения фотоионизации отрицательного иона лития в широком диапазоне энергии свободного электрона (от 0,002 до 0,2 Ry). В вычислениях используется значение энергии электронного сродства, найденное этим же методом.

Одноэлектронная радиальная волновая функция оптического электрона в основном состоянии иона  $\text{Li}^-$  получена численным интегрированием уравнений Хартри—Фока:

$$\begin{cases} \left( -\frac{1}{2} \frac{d^2}{dr^2} - \frac{3}{r} + F_0^{10,10}(r) + 2F_0^{20,20}(r) - \lambda_{10,10} \right) f_{10}(r) - F_0^{10,20}(r) f_{20}(r) = 0, \\ \left( -\frac{1}{2} \frac{d^2}{dr^2} - \frac{3}{r} + 2F_0^{10,20}(r) + F_0^{20,20}(r) - \lambda_{20,20} \right) f_{20}(r) - F_0^{20,10}(r) f_{10}(r) = 0, \end{cases} \quad (1)$$

где

$$F_0^{nl,n'l'}(r) = \frac{1}{r} \int_0^r f_{nl}(s) f_{n'l'}(s) ds + \int_r^\infty \frac{1}{s} f_{nl}(s) f_{n'l'}(s) ds, \quad (2)$$

Здесь  $f_{nl}(r)$ —радиальная волновая функция и  $\lambda_{nl, nl}$  диагональные множители Лагранжа. Волновые функции оптического электрона в свободном состоянии найдены из уравнения вида:

$$\left( -\frac{1}{2} \frac{d^2}{dr^2} - \frac{3}{r} + \frac{l(l+1)}{2r^2} + 2F_0^{10,10} - k^2 \right) f_{kl}(r) - \frac{1}{2l+1} F_l^{k^2 l, 10}(r) \cdot f_{10}(r) = 0, \quad (3)$$

где  $k^2$ —энергия оптического электрона в свободном состоянии. Методика решения (1) и (3) изложена в [7].

Используя полученные волновые функции иона  $Li^+$  и волновые функции атома  $Li$  [8], легко вычислить энергию электронного сродства иона  $Li^+$ . Полученные здесь энергии электронного сродства иона  $Li^+$  в сравнении с данными других авторов [8—15] представлены в табл. 1.

Таблица 1

Литература	[9]	[10]	[11]	[12]	[13]	[14]	Наши ре- зультаты	[15]
Энергия электрон- ного средства, эВ	0,82	0,74	0,66	0,616	0,58	0,54	0,475	0,431

Как видно из этой таблицы, значения энергии электронного сродства, полученные различными теоретическими методами, сильно отличаются, однако из-за отсутствия экспериментальных данных нет возможности судить о надежности того или иного метода. Зная радиальные волновые функции оптического электрона в связанным и свободном состояниях (при известной энергии электронного сродства), можно вычислить сечения фотоионизации. Значения сечений фотоионизации, вычисленные в зависимости от энергии вибиваемого электрона, где в качестве исходных данных были использованы описанные результаты, приведены в табл. 2.

Таблица 2

$k^2$ (Ry)	$\sigma(k^2)$ ( $10^{-16} \text{ см}^2$ )	$k^2$ (Ry)	$\sigma(k^2)$ ( $10^{-16} \text{ см}^2$ )	$k^2$ (Ry)	$\sigma(k^2)$ ( $10^{-16} \text{ см}^2$ )
0,002	0,156	0,04	1,63	0,12	0,136
0,01	2,16	0,06	0,722	0,14	0,0898
0,02	3,48	0,08	0,376	0,16	0,059
0,03	2,38	0,10	0,219	0,20	0,026

Наши результаты отличаются от данных Москвина [6], однако положение максимума и порядок величины сечений один и тот же. Значения сечений фотоионизации  $Li^+$ , приведенные в [4, 5], сильно отличаются от наших данных. Поскольку метод самосогласованного поля является наиболее строгим, то полученные нами значения сечений фотоионизации можно считать более надежными.

В заключение авторы выражают благодарность проф. А. С. Компанику за обсуждение результатов.

#### ЛИТЕРАТУРА

- Дукельский В. М., Зандберг Э. Я., Ионов Н. И. ЖЭТФ, 20, 877. 1950.
- Berry R. S., Reimann C. W., Spokes C. N. J. Chem. Phys., 37, 2278. 1962.
- Berry R. S., Reimann C. W. J. Chem. Phys., 38, 1540, 1963.
- Gelt

тап, S. Phys. Rev., 104, 346, 1956.

- Жирнов В. А. ЖЭТФ, 42, 1097, 1962.
- Москвина. Теплофизика высоких темпер., 3, № 6, 821, 1965.
- Иванова А. В., Прихоженко А. И., Пятецкий-Шапиро И. И., Тарнопольский. Лит. физ. сб., 3, 129, 1963.
- Гезалов Х. Б., Иванова А. В. Одиноэлектронные радиальные волновые функции атомов Li, NV, OVI и KI, вычисленные методом Хартри-Фока. Рукопись депонирована в ВИНИТИ АН СССР, М., 1967.
- Roothan C. C., Sachs L. M., Weiss U. W. Rev. Mod. Phys., 32, 186, 1960.
- Moiselwitch B. L., Proc. Phys. Soc. A67, 25, 70, 1954.
- Agat T., Opicht T. J. Chem. Phys., 26, 70, 1957.
- Weiss A. W. Phys. Rev. 122, 1826. 1961.
- Clementi E., Mc Lean A. D. Phys. Rev., 133, 419, 1964.
- Строцкие Г. Д., Юдин А. П. Тр. АН Лит. ССР, Б1, 11, 1958.
- Szasz L. Acta Phys. Hungar., 6, 307, 1956.

Институт химической физики АН СССР  
ИНХФ им. Мамедалиева

Поступило 2. IX 1967

Х. Б. Кезэлов, А. В. Иванова

#### Мэнфи литиум ионунун фотоионлашмасынын ен кәсији ХУЛАСЭ

Эсас вә бүтөв спектрин бир сыра һаллары үчүн мэнфи литиум ионунун өз-өзүнә уйғулашмыш саһе үсулу илә һесабланмасы өзренилмишdir. Алымыш далға функцияларындан истифадә едәрәк, атомун электрона һәрислик енержиси вә сәрбәст электронун 0-дан 40,256 ев енержи диапазонунадәк фотоионлашмасынын ен кәсији һесабланмышды.

ФИЗИЧЕСКАЯ ХИМИЯ

Шамхал МАМЕДОВ, Д. Н. ХЫДЫРОВ, О. Б. ОСИПОВ,  
М. А. АВАНЕСЯН, Ф. С. ГАДЖИЗАДЕ, Э. Ш. МАМЕДОВ

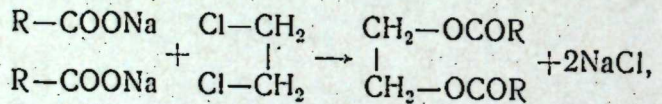
**СИНТЕЗ СМЕШАННЫХ СЛОЖНЫХ ГЛИКОЛЕВЫХ ЭФИРОВ**

(Представлено академиком АН Азербайджанской ССР Исмайловым)

В производстве синтетических материалов одним из важных компонентов являются пластификаторы. Большинство применяющихся в настоящее время пластификаторов представляет собой сложные эфиры кислот (фталевой, ортофосфорной, адипиновой, себациновой и др.) и спиртов, содержащих в молекуле 4—8 углеродных атомов.

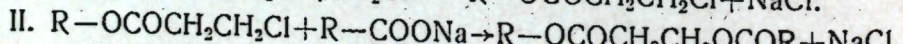
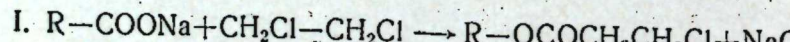
Известно, что симметричные сложные гликолевые эфиры, получаемые из дистиллированных нафтеновых кислот керосиновых и дизельных фракций, являются высококачественными пластификаторами [1—6] и под условными названиями АНАЗ и АНАЗ-20 прошли широкие испытания в производстве изделий из полимерных материалов.

Получение гликолевых эфиров нафтеновых кислот [1, 7] заключается в циркуляции паров дихлорэтана через расплавленную соль нафтеновых кислот при 170—180° по схеме:



где R—нафтеновый радикал.

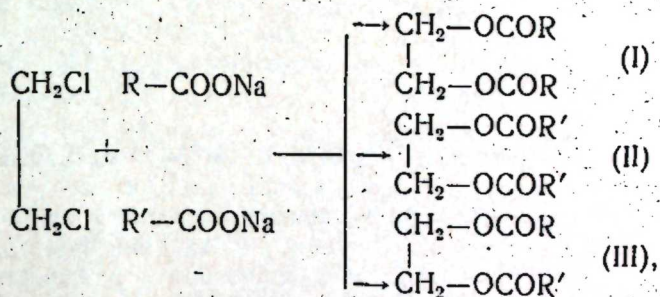
Реакция эта идет в две фазы:



Ввиду того, что скорость реакции (II) при равных условиях должна быть значительно больше, чем скорость реакции (I), действием дихлорэтана на соли нафтеновых кислот синтезировать смешанные гликолевые эфиры не удается. Следовательно, по существующему методу могут получаться только симметричные сложные эфиры гликолей.

Свойства смешанных сложных гликолевых эфиров нафтеновых и жирных кислот остались совершенно не изученными, ввиду отсутствия подходящего метода их синтеза. Поэтому большое практическое и теоретическое значение имеет разработка общего метода синтеза смешанных сложных эфиров гликолей.

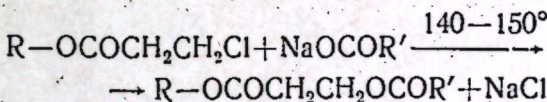
Попытка синтеза смешанных гликолевых эфиров из дистиллированных нафтеновых кислот и товарной фракции СЖК ( $C_5-C_6$ ) действием дихлорэтана на смесь их солей щелочных металлов не дает удовлетворительного результата, ибо при этом получается смесь симметричных гликолевых эфиров СЖК ( $C_5-C_6$ ) (I), симметричных гликолевых эфиров нафтеновых кислот (II) и смешанных гликолевых эфиров нафтеновых и СЖК ( $C_5-C_6$ ) (III), что делает данный метод не рентабельным. Указанные реакции можно выразить следующей схемой:



где R—радикал СЖК ( $C_5-C_6$ ); R'—нафтеновый радикал.

Смешанные сложные гликолевые эфиры нами были получены по методу, сущность которого заключается во взаимодействии  $\beta$ -хлорэтилового эфира одной кислоты с солью щелочных металлов другой кислоты.

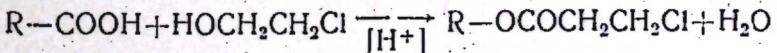
Например, для синтеза смешанных сложных эфиров дистиллированных нафтеновых кислот и товарной фракции СЖК ( $C_5-C_6$ ), согласно данному методу, целесообразно действовать  $\beta$ -хлорэтиловыми эфирами СЖК ( $C_5-C_6$ ) на натриевую соль дистиллированных нафтеновых кислот при нагревании 140—150°. Реакцию предлагаемого метода можно выразить следующим уравнением:



где R'—нафтеновый радикал, R—радикал товарной фракции СЖК ( $C_5-C_6$ ).

Что касается  $\beta$ -хлорэтилового эфира товарной фракции СЖК ( $C_5-C_6$ ), то он нами был получен этерификацией товарных фракций СЖК ( $C_5-C_6$ ) с этиленхлоридрином в присутствии каталитического количества серной кислоты с выходом 73%.

Реакция идет по схеме:



Аналогичным путем были синтезированы смешанные гликолевые эфиры высокомолекулярных нафтеновых кислот (выделенных из гудрона) и товарной фракции СЖК ( $C_5-C_6$ ).

Полученные таким образом смешанные гликолевые эфиры высокомолекулярных нафтеновых кислот (гудрона) и товарной фракции СЖК ( $C_5-C_6$ ) по своим физико-химическим константам отвечают всем требованиям, предъявляемым к современным пластификаторам.

п58734

Гудрон, получаемый в виде кубового остатка от дистилляции нафтеновых кислот, содержит 95—97% высокомолекулярных нафтеновых кислот. В настоящее время эти нафтеновые кислоты (гудрон) не находят себе квалифицированного применения.

### ЭКСПЕРИМЕНТАЛЬНАЯ ЧАСТЬ

**Синтез  $\beta$ -хлорэтиловых эфиров товарных фракций СЖК ( $C_5-C_6$ ).** Смесь 61,5 г (0,5 г.моль) товарной фракции СЖК ( $C_5-C_6$ ) [т. кип. 190—230°/760 мм рт. ст.,  $d_4^{20}$  0,9289,  $n_D^{20}$  1,4192, к. ч. 452, м. в. 123], 60 г (0,75 гмоль) этиленхлоргидрина, 200 мл бензола и 10 г конц.  $H_2SO_4$  (8% от общего веса СЖК и этиленхлоргидрина) нагревают 8 ч при 85—90°. При этом выделяется 11 мл воды. Реакционную смесь разлагают водой, экстрагируют бензолом (2 раза по 75 мл). Бензольный экстракт последовательно промывают 5%-ным водным раствором NaOH и водой. После сушки и отгонки растворителя вакуумной разгонкой было выделено 68 г (73%)  $\beta$ -хлорэтилового эфира товарной фракции СЖК ( $C_5-C_6$ )—светлая жидкость приятного запаха.

Т. кип. 80—120° (5 мм),  $d_4^{20}$  1,0091  $n_D^{20}$  1,4395, к. ч. 0,7.

**Синтез смешанных сложных гликолевых эфиров дистиллированных нафтеновых кислот и товарных фракций СЖК ( $C_5-C_6$ ).** К смеси расплавленной соли, приготовленной из 67 г (~0,32 гмоль) дистиллированных нафтеновых кислот [т. кип. 80—195° (5 мм),  $d_4^{20}$  0,9790,  $n_D^{20}$  1,4704, к. ч. 268, м. в. 209] и 12 г (0,3 гмоль) порошкообразного NaOH добавляют 56 г (0,30 гмоль)  $\beta$ -хлорэтилового эфира товарной фракции СЖК ( $C_5-C_6$ ) и нагревают (~140—150°) при постоянном перемешивании в течение 16 ч. Реакционную смесь охлаждают, разлагают водой и извлекают бензолом. Бензольный экстракт последовательно промывают 5%-ным водным раствором sodы и водой. После сушки и отгонки растворителя вакуумной разгонкой выделены следующие основные фракции:

I фр.—т. кип. 85—180° (2 мм)—45 г (42%);  $d_4^{20}$  0,9755,  $n_D^{20}$  1,4602, к. ч. 0,7, число омыл.—340.

II фр.—т. кип. 180—220° (2 мм)—19,5 г (18%)  $d_4^{20}$  0,9828,  $n_D^{20}$  1,4690, к. ч. 0,5, число омыл.—285.

**Синтез смешанных сложных гликолевых эфиров высокомолекулярных нафтеновых кислот (гудрона) и товарных фракций СЖК ( $C_5-C_6$ ).** В аналогичных условиях из расплавленной соли, приготовленной из 75 г (0,3 гмоль) высокомолекулярных нафтеновых кислот (выделенных из гудрона) [т. кип. 180—263 (13 мм),  $d_4^{20}$  0,9963,  $n_D^{20}$  1,4850, к. ч. 224, м. в. 250] и 12 г (0,3 гмоль) порошкообразного NaOH добавляют 47 г (~0,25 гмоль)  $\beta$ -хлорэтилового эфира товарной фракции СЖК ( $C_5-C_6$ ) и нагревают (140—150°) 16 ч. После обычного выделения разгонкой было получено 65 г (65%) гликолевого эфира—маслообразная жидкость светло-желтого цвета без запаха.

Т. кип. 180—250° (3 мм),  $d_4^{20}$  0,9797,  $n_D^{20}$  1,4708, к. ч. 0,8.

### Выводы

1. Установлено, что для синтеза смешанных сложных гликолевых эфиров жирных и нафтеновых кислот целесообразно действовать  $\beta$ -хлорэтиловым эфиром жирных кислот на натриевую соль нафтеновых кислот нагреванием при 140—150°.

2. Показано, что смешанные гликолевые эфиры СЖК ( $C_5-C_6$ ) и высокомолекулярные нафтеновые кислоты (выделенные из кубового остатка от дистилляции нафтеновых кислот) могут быть пластикаторами для полимерных изделий.

### ЛИТЕРАТУРА

1. Мамедов Шамхал, Паасев Р., Низкер И. Л., Рзаев А. С. Авт. свид. СССР, № 114337, 12.08, 1957.
2. Мамедов Шамхал, Низкер И. Л., Рзаев А. С. Авт. свид. СССР, № 124572 16.01 1959.
3. Мамедов Шамхал, Рзаев А. С., Низкер И. Л. Хим. промышленность, 18, № 7, 580, 1959.
4. Мамедов Шамхал, Низкер И. Л., Рзаев А. С. Авт. свид. СССР, № 124573, 17.01 1959.
5. Мамедов Шамхал, Новиков А. С., Дорохина Г. В. и др. Авт. свид. СССР, № 132803, 30.10 1959.
6. Мамедов Шамхал, Низкер И. Л., Рзаев А. С. Авт. свид. СССР, № 138606 24.04 1961; «ДАН Азерб. ССР», 1961, 17, № 9, 789.
7. Мамедов Шамхал и др. Сб. «10-летие Академии наук Азерб. ССР», 1957.

ИИХП им. Ю. Г. Мамедалиева

Поступило 26. IX 1967

Шамхал Маммадов, Д. Х. Хыдыров, О. Б. Осипов, М. А. Аванесян, Ф. С. Іа чызыдэ, Е. Ш. Маммадов

### Гликолларын гарышыг мүрәккәб ефирләrinин синтези

#### ХУЛАСЭ

Мәгаләдә јаф туршуларынын  $\beta$ -хлоретил ефирләри илә нафтен туршуларынын натриум дузларына 140—150°C температур шәраптиндә тә'сир етмәк иәтичәсиндә этиленгликолун гарышыг мүрәккәб ефирләrinин синтези верилмишdir.

Мүәjjән едилмишdir ки, этиленгликолун синтетик јаф туршулары ( $C_6-C_6$ ) вә јүксәк молекуллу нафтен туршулары (нафтен туршуларынын дистилләсіндән сонра галан куб галығындан чыхарылмыш) илә гарышыг мүрәккәб ефирләри полимер маддәләр үчүн пластификатор ола биләр.

ФИЗИЧЕСКАЯ ХИМИЯ

С. И. САДЫХ-ЗАДЕ, Н. Т. СУЛТАНОВ, Ш. Я. КОДЖАЕВА,  
Т. Г. ЭФЕНДИЕВА, Н. Н. ПРОКОФЬЕВ, И. В. ДОЛИНКИНА

СИНТЕЗ ХЛОРБУТИЛКАУЧУКА

(Представлено академиком АН Азербайджанской ССР М. Ф. Нагиевым)

Бутилкаучук, получаемый на основе сополимеризации изобутилена с изопреноем в присутствии катализаторов Фриделя-Крафтса, обладает повышенной газонпроницаемостью, устойчивостью к действию кислорода воздуха и к химическим реагентам, а также эластичен и стоек к истиранию. Благодаря этим ценным комплексным свойствам бутилкаучук находит широкое применение в различных отраслях народного хозяйства.

Таблица 1

№ пп	Соединения	Формула	Физические свойства			Кол.-во. изобутилена, мкг	изопрен, мкг	хлористого металлила, мкг	Дозировка катализаторного р-ра, мкг	Время по- лучения ка- учука, мин	Молеку- лярный вес	Ненасы- щенност, мол. %	Выход, г	Содержа- ние хлора, %		
			Тем. кип.	Уд. вес	Коэффиц. преломл.											
1	Изобутилен	$\text{CH}_2=\text{C}(\text{CH}_3)_2$	-6,9	При 0° 0,62		90,0	29,1	0,9	25	0,25	20	52 000	0,3	21,3	0,27	
2	Изопрен	$\text{CH}_2=\text{HC}(\text{CH}_3)=\text{CH}_2$	34,5°	При 20° 0,68	1,4194	45,0	14,55	0,45	25	0,12	18	88 000	0,09	9,8	—	
3	Хлористый метил	$\text{CH}_3\text{Cl}$	-24°	При 0° 0,99	—	Хлористый метил	90,0	29,1	0,9	20	0,25	15	80 000	0,21	0,21	0,58
4	Хлористый металлил	$\text{CH}_2=\text{C}(\text{CH}_3)\text{Cl}$	72,2°	При 20° 0,9268	1,4268	Хлористый метил	90,0	29,1	0,9	50	0,25	30	124 000	0,14	22,0	—
5	2-хлорметилбутадиен-1,3	$\text{CH}_2=\text{C}(\text{CH}_2\text{Cl})=\text{CH}_2$	99,5°	0,9517	1,4620	Хлористый метил	45,0	14,55	0,45	25	0,12	18	91 000	0,26	10,5	—
						Хлористый метил	90,0	29,1	0,9	35	0,17	25	91 000	0,10	18,1	—
						Хлористый метил	90,0	29,1	0,9	50	0,25	40	18 000	0,3	21,5	0,53

Однако следует отметить, что наряду с ценными свойствами он обладает и рядом недостатков. К этим недостаткам прежде всего следует отнести то, что он трудно поддается вулканизации, не обладает адгезионными свойствами и при совместном хранении с другими синтетическими и натуральными каучуками загрязняется [1].

Введение небольшого количества галоида  $\text{Cl}_2$  или  $\text{Br}_2$  в состав бутилкаучука в значительной степени устраняет вышеуказанные недостатки, одновременно улучшаются термостойкость, нерастворимость его в органических растворителях.

Следует заметить, что введение галоида в бутилкаучук представляет большую трудность и связано с сложным технологическим процессом [2—7].

Нами разработан новый способ синтеза хлорбутилкаучука путем сополимеризации изобутилена с 2-хлорметилбутадиеном-1,3 или сополимеризация изобутилена, изопрена с хлористым металлилом в условиях синтеза бутилкаучука. Показано, что при сополимеризации изобутилена с хлористым металлилом в зависимости от процентного содержания последнего в шихте молекулярный вес каучука резко меняется (см. табл. 2). Исследования показали, что увеличение содержания хлористого металлила в шихте приводит к снижению молекулярного веса сополимера. При сополимеризации изобутилена, хлористого металлила и изопрена в различных соотношениях, были получены

Таблица 2

Результаты сополимеризации хлористого металлила с изобутиленом в среде хлористого метила. Катализатор  $\text{AlCl}_3 + \text{CH}_3\text{Cl}$  концентрации 0,05—0,1% при темпер. 98—108°C

Состав шихты	Кол.-во. изобутилена, мкг	Кол.-во. катализатор- ного р-ра, мкг	Дозировка катализаторного р-ра, мкг	Время по- лучения ка- учука, мин	Молеку- лярный вес	Ненасы- щенност, мол. %	Выход, г	Содержа- ние хлора, %
Хлористый метил	90,0							
Изобутилен	29,1							
Хлористый металлил	0,9							
Хлористый метил	45,0							
Изобутилен	14,55							
Хлористый металлил	0,45							
Хлористый метил	90,0							
Изобутилен	29,1							
Хлористый металлил	0,9							
Хлористый метил	90,0							
Изобутилен	29,1							
Хлористый металлил	0,9							
Хлористый метил	90,0							
Изобутилен	29,1							
Хлористый металлил	0,9							
Хлористый метил	45,0							
Изобутилен	14,55							
Хлористый металлил	0,45							
Хлористый метил	90,0							
Изобутилен	29,1							
Хлористый металлил	0,9							
Хлористый метил	45,0							
Изобутилен	14,55							
Хлористый металлил	0,45							
Хлористый метил	90,0							
Изобутилен	29,1							
Хлористый металлил	0,9							
Хлористый метил	90,0							
Изобутилен	29,1							
Хлористый металлил	0,9							
Хлористый метил	90,0							
Изобутилен	29,1							
Хлористый металлил	0,9							
Хлористый метил	90,0							
Изобутилен	29,1							
Хлористый металлил	0,9							
Хлористый метил	90,0							
Изобутилен	29,1							
Хлористый металлил	0,9							
Хлористый метил	90,0							
Изобутилен	29,1							
Хлористый металлил	0,9							

сополимеры, молекулярные веса которых колеблются от 19000 до 43000 с непредельностью от 0,9 до 1,5 мол. %, содержание хлора же в этих сополимерах не превышало 0,9 % (см. табл. 3).

Таблица 3  
Результаты сополимеризации хлористого металлила с изобутиленом  
и изопреном в среде к-ра  $\text{AlCl}_3 + \text{CH}_2\text{Cl}$  концентрация  
0,05 при тем. 92–104°C

Состав шихты	Кол-во, мл	Кол-во ка- тализатора- ного р-ра, мл	Дозировка катализатора- ного р-ра, мл	Время по- дачи ката- лизатора, мин	Молеку- лярн. вес	Ненасыщ. в мол. %	Выход, г	Содерж. Cl, %
Хлористый метил	45,0							
Изобутилен	14,3	25	0,12	30	39 000	1,09	7,5	—
Хлористый металлил	0,45							
Изопрен	0,3							
Хлористый метил	45,0							
Изобутилен	14,25	25	0,12	37	43 000	1,08	9,9	0,5
Изопрен	0,3							
Хлористый металлил	0,45							
Хлористый метил	90,0							
Изобутилен	29,15	50	0,25	24	29 000	1,49	22,0	0,89
Изопрен	0,6							
Хлористый металлил	0,9							
Хлористый метил	45,0							
Изобутилен	14,45	12,5	0,06	13	37 000	1,08	7,0	—
Изопрен	0,2							
Хлористый металлил	0,35							
Хлористый метил	90,0							
Изобутилен	29,0	25	0,25	20	19 000	0,88	22,0	0,44
Изопрен	0,4							
Хлористый металлил	0,7							

Интересные результаты были получены при сополимеризации изобутилена с 2-хлорметилбутадиеном-1,3 и изопреном. Содержание хлора в полученном сополимере увеличивалось от 1,33 до 2,04 % (см. табл. 4).

Таблица 4  
Сополимеризация изобутилена с 2-хлорметилбутадиеном-1,3 и изопреном

Дозировка изопрена и хлорпропионового продукта в шихте. Объемный процент на изобутилен	Результаты полимеризации				
	Изопрен, % к изобутилену	2-хлор метилбутадиен 1,3, % к изобутилену	Выход сополимера, вес. %	Молекулярный вес	Ненасыщенность
—	3	100	2 600	0,62	1,45
—	3	100	29 000	0,52	1,35
—	2	100	29 000	0,58	1,44
—	3	90	36 000	0,88	Не опр.
3	3	100	21 000	1,67	2,04
3	3	100	21 000	1,75	1,53
2	3	100	22 000	1,14	1,85
2	3	100	18 000	0,83	1,76
2	3	100	29 000	2,12	Не опр.

Примечание. Сополимеризация при т-ре  $-100^{\circ}\text{C}$  на стеклянном приборе периодического действия. Состав шихты следующий: 115 мл хлористого метила +15 мл изобутилена. Концентрация раствора хлористого алюминия 0,09–0,11 % вес. Дозировка катализатора—0,25 % вес.

Все это указывает на то, что хлорбутилкаучук может быть получен в одну стадию, без изменения технологии процесса получения бутилкаучука.

## ЭКСПЕРИМЕНТАЛЬНАЯ ЧАСТЬ

Сополимеризация изобутилена с хлорсодержащими мономерами проводилась в установках синтеза бутилкаучука.

Реактор, в котором проводилась сополимеризация, снабжен механической мешалкой, сосудом для подачи катализатора, трубкой для ввода шихты, растворителя и рубашкой для термопары.

Реактор помещают в терmostат, заполненный бензин-«калошем», температура которого поддерживается при помощи жидкого азота.

Перед загрузкой шихты и растворителя систему-реактор охлаждают, тщательно высушивают и продувают сухим азотом. Все компоненты полимеризации и растворитель также подвергают очистке и сушке, физические свойства которых приведены в табл. 1.

В предварительно охлажденный реактор помещают шихту, состоящую из следующих компонентов:

- I. Изобутилен, хлористый металлил, хлористый метил;
- II. Изобутилен, хлористый металлил, изопрен, хлористый, метил;
- III. Изобутилен, 2-хлорметилбутадиен-1,3, хлористый метил.

Содержимое реактора охлаждают до  $-98$ – $100^{\circ}\text{C}$ , затем при интенсивном и непрерывном перемешивании медленно добавляют раствор катализатора ( $\text{AlCl}_3$  в хлористом метиле). После завершения подачи катализатора в реакционную зону подают в небольшом количестве этиловый спирт для обрыва реакции полимеризации. Полученные сополимеры подвергают обработке, характерной для бутилкаучука.

Содержание хлора, молекулярные веса, ненасыщенность полученных сополимеров определялись описанными в литературе методами [8].

## Выводы

1. Разработан одностадийный метод получения хлорбутилкаучука путем сополимеризации изобутилена с хлорсодержащими мономерами, такими, как хлористый металлил, 2-хлорметилбутадиен-1,3 и др.

2. Показано, что в случае сополимеризации изобутилена с 2-хлорметилбутадиеном-1,3 образуется хлорбутилкаучук с содержанием хлора до 2 %.

## ЛИТЕРАТУРА

1. Morrissey R. Ind Eng. chem., 48, 8, 1562, 1955. 2. Crawford R., Morrissey R. Am. pat. 2 631 984, 1952. 3. Franchi patens 1 047 694 1 100 340, 1956. 4. Crawford R., Morrissey R. Am. pat. 2 181 899, 1954. 5. Thelman Meynard, Revue de Caoutchouc 35, 5, 620–24, 1958. 6. Cummins and Asbell 9,594, 1959. 7. Murray R. Chem. Eng., News, 26, 3369, 3646, 1918.

Сумгайский филиал ИНХП

Поступило 22. VII 1967

ФИЗИЧЕСКАЯ ХИМИЯ

М. М. ГУСЕЙНОВ, Д. Е. МИШИЕВ, А. А. МЕХРАЛИЕВ

АЛКЕНИЛИРОВАНИЕ АЛКИЛФЕНИЛОВЫХ ЭФИРОВ  
ПИПЕРИЛЕНОМ

(Представлено академиком АН Азербайджанской ССР М. А. Дашиным)

В предыдущих исследованиях [1—4] нами изучено алкенилирование алкилфениловых эфиров (анизола, фенетола, н. пропил-, изопропил-, н. бутил-, изобутил-, н. амил- и изоамилфениловых эфиров) бутадиеном и изопреном в присутствии серной кислоты.

Что касается алкенилирования указанных соединений пипериленом, то эта область мало изучена. Имеется работа Е. А. Вдовцова и С. В. Завгороднего [5] по алкенилированию анизола пипериленом в присутствии  $\text{BF}_3 \cdot \text{O}(\text{C}_2\text{H}_5)_2$ ,  $\text{BF}_3 \cdot \text{H}_3\text{PO}_4$ ,  $\text{H}_3\text{PO}_4 \cdot \text{AlCl}_2 \cdot \text{HSO}_4$  и  $\text{AlCl}_2 \cdot \text{H}_2\text{PO}_4$ . Авторами показано, что выход монопентениланизолов составляет 56—92% от теоретического и доказано, что основным продуктом реакции является 4-(п-оксифенил)-пентен-2, что говорит о присоединении ароматического ядра к пиперилену в положении 1,2 и 1,4, так как оба соединения имеют одно и то же строение, т. е. присоединение пиперилена происходит по правилу Марковникова, фенильный радикал находится при вторичном углеродном атоме, что объясняется распределением электронной плотности в молекуле [6]. Ахе, Смит и другие авторы [7, 8] установили, что присоединение пиперилена к бензольному кольцу происходит в положении 1,4, вопреки правилу Марковникова, т. е. фенильный радикал находится в первичном углеродном атоме.

Цель нашей работы—систематическое исследование реакции алкенилирования алкилфениловых эфиров пипериленом в присутствии серной кислоты, установление ряда закономерностей по влиянию длины и строения алкильного эфира на скорость протекания реакции, а также выяснение вопроса присоединения пиперилена к бензольному ядру.

ЭКСПЕРИМЕНТАЛЬНАЯ ЧАСТЬ

В качестве исходного сырья использовались анизол, фенетол, н. пропил-, изопропил-, н. бутил-, изобутил-, н. амил- и изоамилфениловые эфиры синтезированные по методу Н. И. Шуйкина, Л. А. Эри-

ванской и др. [9]. Алкенилирующим агентом служил свежеперегнанный пиперилен, полученный из Сумгайитского завода „СК“. Катализатор—различной концентрации серная кислота.

Для установления оптимальных условий реакции по алкенилированию алкилфениловых эфиров пипериленом первая серия опытов проведена с анизолом. При этом было изучено влияние различных параметров на степень алкенилирования, результаты которых сведены в табл. 1. Как видно из данных табл. 1, максимальный выход пентениланизола наблюдается при температуре 90—95°C, молярном соотношении анизола к пиперилену и серной кислоте 4 : 1:0,25, концентрации серной кислоты 60% и продолжительности опыта 2 ч. При этом полученный катализат состоит из 68,7% непрореагированного анизола, 27,6% пентениланизола (что соответствует 79,5% по пиперилену), около 1% промежуточной фракции, состоящей из анизола и пентениланизола и 1,4% остатка. Изменение указанных параметров процесса, т. е. температуры, количества и концентрации серной кислоты в ту или иную сторону способствует образованию побочных продуктов реакции—сульфированию исходного анизола и продуктов реакции, полимеризации пиперилена и алкениланизола, а также увеличению количества полиалкенилзамещенных анизола.

С целью выяснения влияния длины и строения алкильного эфира на протекание процесса алкенилирования следующая серия опытов была проведена с фенетолом, н. пропил-, изопропил-, н. бутил-, изобутил-, н. амил-, и изоамиловым эфиром фенола пипериленом. Эти опыты проводились в идентичных условиях по алкенилированию анизола пипериленом. Результаты характерных опытов по алкенилированию вышеуказанных эфиров пипериленом помещены в табл. 2. Анализ табличных данных показывает, что с увеличением длины алкильного эфира нормальное строение выход целевого продукта снижается от фенетола до н. амилового эфира фенола соответственно от 37,9 до 8,6% на взятый пиперилен.

Аналогичная закономерность наблюдается и в случае алкенилирования алкилфениловых эфиров изостроения (изопропил-, изобутил- и изоамиловых эфиров фенола). С увеличением молекулярного веса алкильного эфира соответственно уменьшается выход пентенилзамещенных указанных эфиров от 25,6 до 5,7% на исходный пиперилен. Также из данной таблицы видно, что нормальное строение алкилфениловых эфиров сравнительно легче алкенилируется, чем изостроения.

В табл. 3 приводятся физико-химические константы синтезированных соединений.

Как известно, при алкенилировании алкилфениловых эфиров пипериленом возможно получение шести изомеров пентенилзамещенных соединений.

В связи с этим интерес представляло выяснение механизма протекания реакции алкенилирования алcoxисзамещенных ароматических соединений пипериленом в присутствии серной кислоты. Поэтому для фракций 235—240°, соответствующей пентениланизолу снимали инфракрасные спектры на спектрофотометре ИК-10 на призмах  $\text{LiF}$  и  $\text{NaCl}$  (см. рисунок). Местонахождение двойной связи однозначно можно определить по поглощению в области  $975 \text{ см}^{-1}$ , которая характеризует двойную связь внутри цепи транс-расположением заместителей.

Таблица 1

Характеристика	Влияние факторов				Температура				Количество H <sub>2</sub> SO <sub>4</sub>				Концентрация H <sub>2</sub> SO <sub>4</sub>				
	28	29	30	31	29	31	32	33	29	31	32	33	29	31	32	33	
Взята в реакцию, г:																	
серная кислота	24,5	24,5	24,5	24,5	24,5	24,5	24,5	24,5	24,5	24,5	24,5	24,5	24,5	24,5	24,5	24,5	
Условия опыта:	70—75	90—95	120—125	90—95	90—95	90—95	90—95	90—95	90—95	90—95	90—95	90—95	90—95	90—95	90—95	90—95	
температура, °С																	
мол. соотн. реаг. компонентов (анизол : пи- перилен : серная кислота)	4:1:0,25	4:1:0,25	4:1:0,25	4:1:0,12	4:1:0,25	4:1:0,25	4:1:0,25	4:1:0,25	4:1:0,25	4:1:0,25	4:1:0,25	4:1:0,25	4:1:0,25	4:1:0,25	4:1:0,25	4:1:0,25	
Концентрация серной кислоты	60	60	60	60	60	60	60	60	60	60	60	60	60	60	60	60	
Фракционный состав, %	0,6	0,6	0,4	0,7	0,6	0,6	0,6	0,3	2,1	0,6	0,6	0,6	0,8	0,8	0,8	0,8	
исх. { пиперилен	73,3	68,7	77,7	81,2	68,7	77,2	82,4	68,7	75,3	75,3	75,3	75,3	75,3	75,3	75,3	75,3	
анизол	0,4	0,4	0,3	0,4	0,3	0,4	0,5	0,5	0,8	0,4	0,4	0,4	0,3	0,3	0,3	0,3	
промежуточное	23,1	27,6	17,9	12,8	27,6	18	11,8	27,6	27,6	27,6	27,6	27,6	27,6	27,6	27,6	27,6	
Фр. 238—240 (щелевая)																	
<i>n</i> <sub>D</sub> <sup>20</sup>	1,5174	1,5178	1,5170	1,5178	1,5178	1,5174	1,5174	1,5180	1,5178	1,5178	1,5178	1,5178	1,5178	1,5178	1,5178	1,5178	
<i>d</i> <sub>D</sub> <sup>20</sup>	0,9539	0,9558	0,9523	0,9537	0,9558	0,9540	0,9540	0,9546	0,9558	0,9558	0,9558	0,9558	0,9558	0,9558	0,9558	0,9558	
M. B.	174	170	171	166	170	177	174	174	174	174	174	174	174	174	174	174	
И. Ч.	140	142	142	144	142	142	142	142	142	142	142	142	142	142	142	142	
% непредельности	95,9	95,0	96,0	95,0	95,0	97,0	96,0	95,0	95,0	95,0	95,0	95,0	95,0	95,0	95,0	95,0	
Остаток	1,4	1,4	3,2	2,5	1,4	1,4	2,8	2,8	2,8	2,8	2,8	2,8	2,8	2,8	2,8	2,8	
Потери	1,2	1,3	0,5	1,9	1,3	1,9	1,3	1,2	1,2	1,2	1,2	1,2	1,2	1,2	1,2	1,2	
Выход монопентениланизол от теор. 1%	70	79,5	49	34,5	79,5	48,2	32,0	32,0	32,0	32,0	32,0	32,0	32,0	32,0	32,0	32,0	

Приложение. Во всех опытах взято в реакцию, 2: анизол—432, пипериден—68, продолжит. опыта—2 ч.

Таблица 2

Характеристика	Исходные эфиры				Фенетол				Н. пропилен- фир фенола				Изопропил- эфир фенола				Изобутил- эфир фенола				Н. амил- эфир фенола				Изоамил- эфир фенола			
	Получено, г:	до промывки	после промывки																									
Анализ алкенилата																												
<i>n</i> <sub>D</sub> <sup>20</sup>	1,5035	1,4993	1,4952		318	318	346	346	320	320	321,4	321,4	346	346	346	346	346	346	346	346	346	346	346	346	346	346		
<i>d</i> <sub>D</sub> <sup>20</sup>	0,9417	0,9473	0,9442		298	298	291	291																				
Мол. вес	144	150	152																									
И. Ч.	41,2	35,8	27,4																									
% непредельности	23,4	21	16,3																									
Фракционный состав, %																												
пирореаги- ровавшие	2,1	2,9	1,4																									
алкилфеноловые эфиры промежуточн.	79,9	76,5	84,1																									
2,1	3,7	2,1	1,8																									
Моно-алкенилзамещен. алкилфениловые эфиры	13,4	10,9	9,0																									
Остаток	1,8	3,8	1,8																									
Потери	0,9	2,2	1,6																									
Выход монопентенилфенолфеноловые эфиры от теор. в % %	37,9	30,2	25,6																									

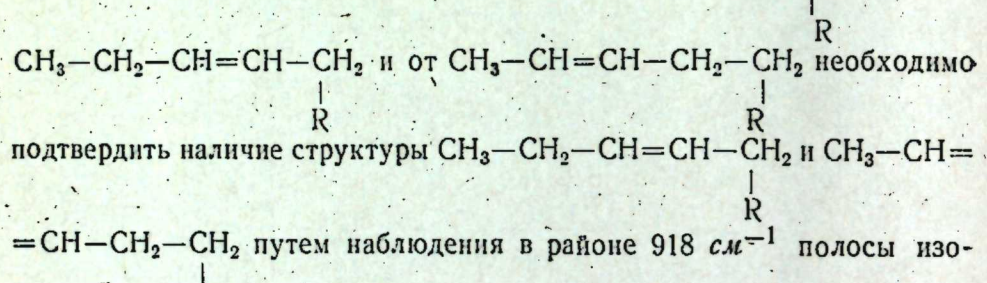
Примечание. Мол. соотн. алкилфеноловых эфиров к пирореагенту и серной кислоте—2:0,5; 0,125.

Таблица 3

Физико-химические константы синтезированных пентенилзамещенных аллоксиароматических соединений

Синтезированное вещество	Т. К.	$n_D^{20}$	$D_4^{20}$	М. В.	И. Ч.	% не-пред-найд.	$MR_D$	
							% пред-вычисл.	найд.
1. 1-анизил-2-пентенил	235—240	1,5172	0,9558	174	142	96,0	55,11	55,19
2. 1-фенетил-2-пентенил	130—132/5	1,5110	0,9383	187	124	92,0	59,75	59,81
3. 1-(изопропиляэфир. фенола-2-пентенил)	127—133/15	1,5084	0,9287	201	121	95,8	64,54	64,43
4. 1-( <i>n</i> -пропиляэфир. фенола-2-пентенил)	135—140/15	1,5082	0,9339	203	120	96,0	64,45	64,43
5. 1-(изобутиляэфир. фенола-2-пентенил)	137—143/15	1,5007	0,9276	217	112	95,5	68,83	69,05
6. 1-( <i>n</i> -бутиляэфир. фенола-2-пентенил)	138—143,15	1,5062	0,9288	215	115	97,0	68,95	69,05
7. 1-(изоамилаэфир. фенола)-2-бутена	140—145/15	1,5030	0,9356	233	99	90,9	73,65	73,67
8. 1-( <i>n</i> -амилаэфир. фенола)-2-бутена	145—150/15	1,5073	0,9364	227	106	94,6	73,92	73,67

Для того, чтобы отличить структуры  $\text{CH}_3-\text{CH}=\text{CH}-\text{CH}-\text{CH}_3$  от



лированной метиленовой группы [10]. Так как таковое не наблюдается, то приходится отказаться от этих структур и принять структуру  $\text{CH}_3-\underset{\substack{| \\ R}}{\text{CH}}=\text{CH}-\text{CH}-\text{CH}_3$ . В спектре наблюдаются полосы  $760$  и  $838 \text{ см}^{-1}$ ,

которые характеризуют замещение в положении 1,2 и 1,4 соответственно. Соотношение интенсивности этих полос дает возможность количественно оценить их содержание. При этом нетрудно видеть, что изомер 1,2 содержит в количестве 40%, а изомер 1,4 в 60%.

Таким образом установлено, что пиперилен присоединяется к бензольному ядру в положении 1,4 по правилу Марковникова.

Вопреки Акс и Смиту, которые указывают, что фенильный радикал находится в первичном углеродном атоме,

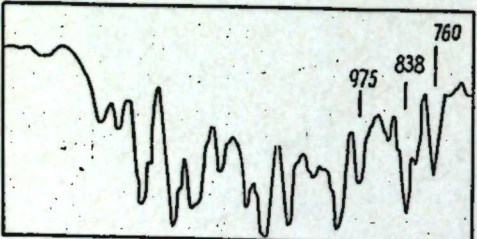


Рис.

## Выводы

1. Проведено систематическое исследование по алкенилированию анизола, фенетола, *n*-пропил-, изопропил-, *n*-бутил-, изобутил-, *n*-амил- и изоамилафениловых эфиров фенола пипериленом в присутствии серной кислоты.

2. Установлено, что максимальный выход целевых продуктов получается при следующих условиях: температура реакции  $90-95^\circ\text{C}$ , молярное соотношение алкилфенилового эфира к пиперилену и серной кислоте  $4:1:0,25$ , концентрации серной кислоты 60% и продолжительности опыта 2 ч.

3. Увеличение длины и разветвленности алкильного эфира фенола приводит к уменьшению содержания целевого продукта, что может быть объяснено увеличением стерического взаимодействия между указанными радикалами.

4. Установлено, что присоединение ароматического ядра к пиперилену происходит по правилу Марковникова, и фенильный радикал находится при вторичном углеродном атоме.

## ЛИТЕРАТУРА

- Мамедалиев Ю. Г., Гусейнов М. М., Мишиев Д. Е., Мехралиев А. А., Петросян П. А. ДАН Азерб. ССР\*, 1963, 19, 8, 27. 2: Гусейнов М. М., Мишиев Д. Е., Мехралиев А. А. АЗИНТИ 77. 1965. Химия и нефтепереработка.
- Мишиев Д. Е., Гусейнов М. М., Мехралиев А. А. Труды ИНХП АН Азерб. ССР, 214, 1967. 4. Мишиев Д. Е., Гусейнов М. М., Мехралиев А. А. и Мусаева Н. Ф. Уч. зап. АГУ, З. 1968. 5. Вдовцова Е. А. Завгородний С. В. ДАН СССР\*, 113, 3, 590, 1957. 6. Петров А. А. Успехи химии\* 24, 220, 1955. 7. Axe W. N. Американский патент-2564077, 1951, Сп. abstr. 46, 9124, 1952.
- Smith J., Ungarde K. E. и др. J. Am. chem. Soc. 61, 2615, 1939. 9. Шуйкин Н. И., Эриванская Л. А., Кузнецова Р. Е. Вестн. МГУ, 3, 135, 1957. 10. Салимов М. А., Эриванская Л. А., Шуйкин Н. И. Азерб. хим. ж.\* 4, 93, 1951. ИНХП

Поступило 24. V 1967

М. М. Гусейнов, Д. Я. Мишиев, А. А. Мехралиев

Алкилфенилефирлэринин пипериленлэ  
алкениллэшдирилмэси

## ХУЛАСЭ

Эввэлки тэдгигатларымыэда фенолун алкилфенилефирлэринин бутадиен вэ изопренлэ алкениллэшмэсими, онларын диолефинэ көрө реаксијајакирмэ габилијэтини вэ бэ'зи ганунаујгуулугларыны өјрэнмишик.

Бурда мэгсэд фенолун алкилфенилефирлэринин (анизолу, фенетолу, изопропил-, *n*-пропил-, *n*-бутил-изобутил-, *n*-амил-вэ изоамилафенилефирлэринин) пипериленлэ сүлфат, туршусунун иштиракы илэ алкинлэшдирилмэси үчүн оптималь шәрайт тапмаг вэ пипериленин реаксија заманы бензол һәлгәсендә һансы вэзийјэтдэ бирләшмәсими айланышдырагдыр.

Апардығымыз тэдгигатлар көстәрмишдир ки, фенолун алкилфенилефирлэринин пипериленлэ алкениллэшдирилмэс үчүн оптималь шәрайт беләдир: реаксијанын температуру  $90-95^\circ\text{C}$ , фенолун алкилфенилефирлэринин пипериленэ молјар нисбәти  $4:1$ , сүлфат туршусунун гатылығы 60% вэ туршусунун мигдары исә 0,25 мол-дур.

Нәмчинин мүәјжән едилмишдир ки, фенолун алкилфенилефирлэринин узуулугу вэ шахәләнмәсими алынан маддәләрин чыхымыны азалдыр. ИГ-спектрин иәгичәсими көстәрмишдир ки, пиперилен ароматик һәлгәје Марковников гајдасы илэ, јәни фенил радикалы икинчи карбон атомуна бирләшир вэ пентенил радикалында икигат рабитә  $\beta$ -вэзийјэтдэ олур.

ФИЗИЧЕСКАЯ ХИМИЯ

С. Д. МЕХТИЕВ, М. Р. МУСАЕВ, Е. Б. САХНОВСКАЯ

СИНТЕЗ ЭТИЛЦИЛОГЕКСАДИЕНА-1,3

Циклические диеновые углеводороды с сопряженной двойной связью, подобно бутадиену и изопрену, обладающие большой реакционноспособностью, могут служить исходным продуктом для синтеза многочисленных органических соединений с различными функциональными группами в молекуле. Они легко полимеризуются и сополимеризуются, а также вступают в диеновый синтез с различными диенофилами по реакции Дильтса и Альдера.

Но в связи с тем, что существующие способы синтеза циклодиеновых углеводородов, в частности циклогексадиенов, являются многостадийными и осуществляются на основе дорогостоящих соединений, их применение в больших масштабах ограничивается.

Имеющиеся в литературе методы синтеза циклогексадиена-1,3 и метилциклогексадиена-1,3 [1—12] не могут быть осуществлены в больших масштабах из-за их сложности и дороговизны используемых при этом исходных продуктов.

Правда, в последние годы в печати появилось несколько работ по синтезу циклодиенов 1,3, в которых исходными являются соответствующие циклени, не являющиеся также достаточно доступными [13—16].

Отмеченное служит причиной того, что многие представители ряда алкилциклоциленовых углеводородов, в том числе и этилциклогексадиен-1,3, не были синтезированы и фактически остались не изученными.

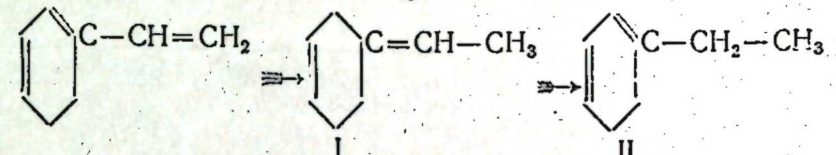
Предложенный нами способ получения этилциклогексадиена-1,3 основан на изомеризации винилциклогексена-3 [19] над активной окисью алюминия.

Получение алкилциклогексадиенов термической димеризацией алкадиенов-1,3, в частности винилциклогексена-3 из дивинила [17,18], делает перспективным получение алкилциклогексадиенов-1,3, в частности винилциклогексадиенов-1,3 по предлагаемому способу.

Установлено, что винилциклогексен-3 над активной окисью алюминия (промышленной,  $\gamma$ -формы марки Al) выше  $350^\circ\text{C}$  легко изомеризуется в этилциклогексадиен-1,3. При  $450^\circ\text{C}$  и объемной скорости  $0,5 \text{ ч}^{-1}$  выход целевого продукта составляет около 60—65% вес.

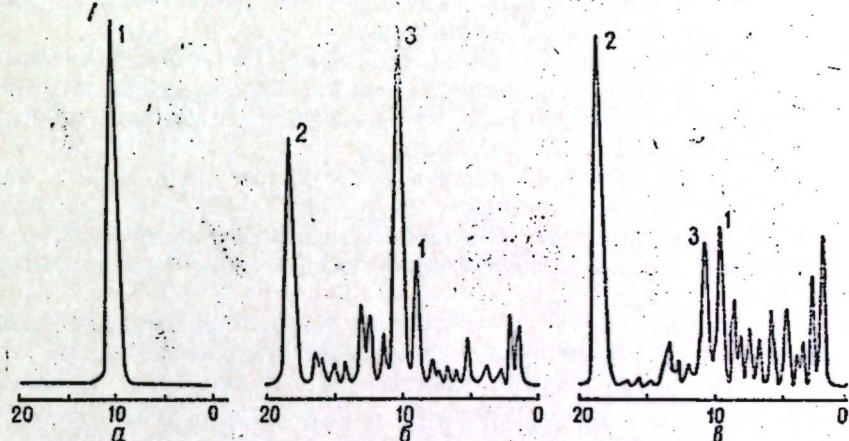
Легкость миграции двойной связи из боковой цепи в циклогексановое кольцо над  $\text{Al}_2\text{O}_3$  дает основание полагать, что в отмеченных условиях и другие алкенилциклогексены будут изомеризоваться в соответствующие алкилциклогексадиены.

Изомеризация винилциклогексена-3 приводит к образованию двух новых углеводородов—этилиденциклогексена-3 (I) и этилциклогексадиена-1,3 (II), как видно из следующей схемы:



В этой реакции углеводород (I) является промежуточным продуктом. Образование этилциклогексадиена-1,4 маловероятно ввиду изомеризации его в диен с сопряженной двойной связью.

Рассмотрение хроматограммы исходного винилциклогексена и продуктов изомеризации (см. рисунок) показывает, что в действительности кроме пика винилциклогексена-3 появляется еще два новых основных пика, выходящих один после исходного, а другой почтли в два раза позже.



Хроматограмма винилциклогексена и продуктов его изомеризации (a) при  $400^\circ\text{C}$  (b) и при  $450^\circ\text{C}$  (c); 1—винилциклогексен; 2—этилциклогекс-1,3; 3—этилиденциклогексен-3

Основываясь на тех фактах, что с увеличением температуры реакции один из этих вновь образованных углеводородов изомеризуется в другой, а аддуктообразование с калеиновым ангидридом и акрилонитрилом по Дильтсу и Альдеру согласуется с количеством последнего, установлено, что один из этих пиков принадлежит углеводороду (I), а другой углеводороду (II). При изомеризации винилциклогексена-3 образуются в малых количествах неидентифицированные нами углеводороды, являющиеся продуктами распада исходного сопровождающегося коксообразованием на катализаторе.

ЭКСПЕРИМЕНТАЛЬНАЯ ЧАСТЬ

Исходный винилциклогексен-3 имел: температуру кипения  $124,5—126^\circ\text{C}$ ,  $n_D^{20} = 1,4626$ ;  $d_4^{20} = 0,8323$ ,  $MR_{D\text{ нал.}} = 35,3$ ,  $MR_{D\text{ выч.}} = 36,01$ . Литературные данные [17]: температура кипения  $63—67^\circ\text{C}/100 \text{ мм}$ ,  $n_D^{20} = 1,4627$ ;  $d_4^{20} = 0,8303$ ,  $MR_{D\text{ нал.}} = 35,88$ ,  $MR_{D\text{ выч.}} = 36,01$ .

Реакция изомеризации винилциклогексена-3 осуществлялась в проточной системе в реакторе из стекла "пирекс" с внутренним диаметром 15–18 мм, помещенном в трубчатую печь. Температура опыта измерялась термопарой с точностью  $\pm 5^\circ\text{C}$ .

Для каждого опыта брались 30 мл активной окиси алюминия (размер гранул 2–3 мм) и 12 мл винилциклогексена-3. Опыты проводились с объемной скоростью 0,2; 0,5 и 1  $\text{ч}^{-1}$ , продолжительность опытов 1 ч.

№ опыта	Количество исходного винилциклогексена-3, г	Температура изомеризации, $^\circ\text{C}$	Объемная скорость, $\text{ч}^{-1}$	Полученный изомеризат, г	Свойства изомеризата	
					$n_D^{20}$	$d_4^{20}$
1	13,8	200	0,5	10,6	1,4626	0,8323
2	13,8	300	0,5	10,4	1,4640	0,8376
3	13,8	350	0,5	10,4	1,4719	0,8402
4	13,8	400	0,5	10,3	1,4785	0,8451
5	13,8	450	1,0	11,0	1,4733	0,8410
6	13,8	450	0,5	10,0	1,4804	0,8466
7	13,8	450	0,2	9,2	1,4816	0,8476

Содержание этилциклогексадиена-1,3 в изомеризате определялось методом газожидкостной хроматографии.

В качестве неподвижной фазы был взят сукционат диэтиленгликоля в количестве 8% на кирпич. Длина колонки 12 м, диаметр—6 мм. Анализ проводился при 100% С, газ—вытеснитель—водород, пропускаемый со скоростью 150 мл в 1 мин.

Хроматограммы исходного продукта и опытов 4 и 6 даются на рисунке.

В опыте 4 содержание этилциклогексадиена-1,3 по результатам хроматографического анализа составляет 29,5%, а в опыте 6 соответственно 64%.

Было взято 100 г винилциклогексадиена-3, проведена изомеризация аналогично опыту 6 и получен изомеризат в количестве 96,7 г. При разгонке выделено 61,8 г фракции 134–138°C, которая имела следующие константы:  $n_D^{20}=1,4797$ ;  $d_4^{20}=84,64$   $MR_{D, \text{ найд.}}=35,9$   $MR_{D, \text{ выч.}}=-36,01$ , для этилциклогексадиена. Полученный аддукт этой фракции с малениновым ангидрилом является кристаллическим и плавится при 135–138°C.

Был получен аддукт этой фракции с акрилонитрилом при 200–220°C в автоклаве в растворе ксиола (время опыта 10 часов).

Образованное соединение, по-видимому, кипит при 114°C/5 мм Н<sub>2</sub>.  $n_D^{20}=1,4851$   $d_4^{20}=0,9474$

$MR_{D, \text{ найд.}}=47,5$   $MR_{D, \text{ выч.}}=-47,95$

$MR_{\text{ найд.}}=158,6$   $MR_{\text{ выч.}}=-161$

Количество азота: найд. 8,2%, выч. 8,7%.

### Выводы

1. Получен этилциклогексадиен-1,3 изомеризацией винилциклогексена-3 над активной окисью алюминия при оптимальных условиях: температура—450°C, объемная скорость—0,5  $\text{ч}^{-1}$ .

2. Образование этилциклогексадиена-1,3, кроме газожидкостного хроматографического анализа, установлено и характеризовано аддуктообразованием его с малениновым ангидрилом и акрилонитрилом.

### ЛИТЕРАТУРА

1. Вацуэг В. 25, 1840, 1892.
2. Марковников В. В. ЖРХО, 30, 175, 1898.
3. Forty, E. C. J. Chem. Soc. 73, 945, 1898.
4. Harries, W. Antoni Lieb. Ann. 328, 93, 105, 1903.
5. Зелинский Н. Д., Горский А. И. ЖРХО, 40, 1388–1397, 1908.
6. Зелинский Н. Д., Эвентова М. С. ДАН СССР, 1935, т. 1, 5, 313.
7. Зелинский Н. Д., Горский А. И. ЖРХО, 40, 1397, 1908.
8. Арбузов, Ю. А., Зелинский Н. Д., Шуйкин Н. И. Изв. АН СССР. ОХН, №2, 163, 1945.
9. Мельников Н. Н., Рокицкая М. С. ЖОХ, 7, 2738, 1937.
10. Гильемопат.—С. г., 205, 67, 1937.
11. Гильемопат. App. Chem, 11, 147, 1939.
12. R. Griffeece Lieb. Ann. 481, 263, 1930.
13. Ерофеев Б. В., Наумова С. Ф., Емельянов Н. П. Авт. свид. СССР, №110, 964, 1958; ЖОХ, 28, 1284, 1958.
14. Клемент М. Г., Баласеану Ж. Г. Сб. "5-й Межд. нефт. конгресс", т. 3, 272–282, 1962.
15. Мехтиев С. Д., Мусаев М. Р. Авт. свид. по заявке №850, 302 23–4 с приоритетом от 14/V 1963 г.
16. Мехтиев С. Д., Мусаев М. Р. Авт. свид. по заявке №850 300/23–4 с приоритетом от 31/VII 1963.
17. Лебедев С. В. "Жизнь и труды", ОНТИ, Химтеор. Л., 149, 1938.
18. Лебедев С. В. ЖОХ, 5, 1839, 1935.
19. Мехтиев С. Д., Мусаев М. Р., Сахновская Е. Б. Авт. свид. по заявке №1090994 (23–4) с приоритетом от 9/VII 1966 г. Решение о выдаче авт. свид. от 6/III 1967 г.

Поступило 26. VI 1967

С. Ч. Меңдиев, М. Р. Мусаев, Ж. Б. Сахновскаја

### Етилциклохексадиен-1,3-үн синтези

### ХУЛАСӘ

Тиклик дијенләрин бутадијен вә изопрен кими јүксәк реаксија-јакирмә габилијјэтинә малик олмасына баҳмајараг, истифадәләри мәһдуддур. Буна әсас сәбәб онларын синтез үсулларының чәтин олмасыды.

Мәгаләдә етилциклохексадиен-1,3-үн асан јолла синтези верилмишdir. Көстәрилән карбоидрокен бу вахта гәдәр синтез олунмады-бынан апарылмыш тәдгигатын бөյүк әһәмијәти варды.

Етилциклохексадиен-1,3-үн алымасы винилциклохексен-3-үн Al<sub>2</sub>O<sub>3</sub> үзәрindә изомерләшмә реаксијасына әсасланыр. Тәчүрбәнин әлверишلى шәранти 450°C, башланғыч маддәсинин бурахылма сүр’-әти 0,5  $\text{caat}^{-1}$ -дир.

Гејд олунмуш параметрләрдә етилциклохексадиен-1,3-үн чыхымы 60–65%-ә чатыр.

## ИНЖЕНЕРНАЯ ГЕОЛОГИЯ

Ф. С. АЛИЕВ, А. А. ГУСЕЙНОВА

## ИНЖЕНЕРНО-ГЕОЛОГИЧЕСКИЕ ОСОБЕННОСТИ ПЕСКОВ БАНКИ ДАРВИНА

(Представлено академиком АН Азербайджанской ССР Ш. Ф. Мехтиевым)

Северо-западное побережье Апшеронского полуострова представляет значительный интерес в отношении промышленной газонефтносности. В настоящее время складка банки Дарвина уже эксплуатируется [3], дальнейшее строительство эстакад обусловило проведение инженерно-геологических исследований грунтов дна.

Банка Дарвина расположена в 6 км к ССЗ от о. Артема. Глубины моря здесь небольшие, в придонной части выступают пески и песчаники верхнего отдела продуктивной толщи. Исследованию была подвергнута 1,5 м. толща песков. Это серые, буровато-серые увлажненные рыхлые образования мелковзернистого и среднезернистого состава. Преобладающий размер зерен изменяется в интервале 0,5–0,05 мм, при этом полностью отсутствует глинистая фракция. Пески отличаются наличием карбоната кальция со средним 10,6%. В алевритовой фракции песков преобладают кварц и обломки пород, им несколько уступают полевые шпаты. По всему разрезу, но в малых количествах отмечены устойчивые минералы. В несколько большем количестве встречаются рудные минералы—лимонит и пирит, последний в придонном слое, окисляясь, переходит в бурый железняк. Хорошо прослеживаются единичные зерна дистена [4]. Пески верхнего отдела продуктивной толщи представлены терригенной, слабокарбонатной фацией геосинклинальных осадков [5]. Область сноса терригенного материала идентична с таковой северо-западного Апшерона [4], что говорит о едином источнике их питания.

Величины pH, изменяющиеся в интервале 7,5–7,8, указывают, что, физико-химическая обстановка среди залегания песков находится на грани нейтральных условий со слабощелочными. Это подтверждается также изменением содержания рудных минералов с глубиной. Если в низах разреза преобладает пирит, то в придонном слое он переходит в лимонит.

В условиях естественного залегания пески отличаются рыхлым сложением. Удельный вес их колеблется в интервале 2,66–2,72. Основным компонентом в них является кварц с удельным весом 2,65. До величины 2,72 удельный вес песков возрастает за счет пирита

Таблица 1

№ скв. и обр.	Глубина взятия, м	Гранулометрический состав (м.м.), %						
		>2,0	2–1	1–0,5	0,5–0,25	0,25–0,1	0,1–0,05	0,05–0,01
93–1	0–1,5	7,67	8,16	13,65	30,21	11,75	24,71	3,85
93–2	4,5–6	0,36	2,46	19,01	43,27	11,50	19,30	4,10
93–3	6–9	3,02	7,95	23,18	30,74	10,90	20,20	3,98
93–4	9–10,5	3,02	5,56	12,53	13,10	12,51	45,49	7,80
93–5	12–13,5	0,95	2,34	5,13	26,02	22,11	32,05	7,40
94–1	2–3	0,54	3,95	26,00	30,30	12,53	21,55	5,13
94–2	3–4,5	0,89	4,99	11,45	30,42	16,82	28,04	7,39
94–3	4,5–9	0,65	3,40	16,07	41,15	12,70	21,18	4,85

Таблица 2

№ скв. и обр.	Уд. вес	Объемный вес		Пористость, %		Коэф. пористости		Коэф. уплотненности
		в рыхлом сост.	в уплотненном сост.	в рыхлом сост.	в уплотненном сост.	в рыхлом сост.	в уплотненном сост.	
93–1	2,70	1,47	1,79	45,6	34,8	0,856	0,534	0,60
93–2	2,66	1,39	1,73	48,5	35,9	0,942	0,560	0,70
93–3	2,71	1,41	1,71	48,0	36,9	0,924	0,585	0,58
93–4	2,70	1,29	1,64	52,2	39,2	1,100	0,645	0,71
93–5	2,72	1,29	1,76	52,6	35,3	1,100	0,546	1,01
94–1	2,70	1,39	1,79	43,5	32,7	0,942	0,508	0,85
94–2	2,71	1,29	1,70	52,4	37,0	1,107	0,588	0,87
94–3	2,67	1,32	1,82	48,7	31,8	0,949	0,466	1,04

(4,9–5,1), лимонита (3,3–4,0), мусковита (2,8–3,1) и других минералов тяжелой фракции. Объемный вес и пористость песков определялась для двух состояний: рыхлого и уплотненного (табл. 2).

Объемный вес песков в рыхлом состоянии варьирует от 1,29 до 1,47, в уплотненном — от 1,64 до 1,82. Пески в рыхлом состоянии отличаются высокой пористостью, изменяющейся от 45,6 до 52,6%, в уплотненном состоянии же она уменьшается, изменяясь от 31,8 до 39,2%. Высокая пористость песков обуславливает их значительную фильтрационную способность, ухудшающуюся с увеличением глубины их залегания. Коэффициент уплотняемости песков при этом изменяется от 0,6 до 1,4, доказывая их постепенное гравитационное уплотнение [2].

Компрессионные испытания песков показали их слабую сжимаемость, коэффициенты сжимаемости их изменяются в пределах 0,002–0,008 см<sup>2</sup>/кг. Отсутствие сцепления между зернами песков обуславливает проявление только лишь сил внутреннего трения. По мере увеличения глубины залегания песков значения углов внутреннего трения уменьшаются.

Приуроченность структуры банки Дарвина к юго-восточному окончанию Большого Кавказа обусловлена в основном ее постепенным воздыманием, начиная с посттилоцена. А это вместе с гидрологическими факторами вызвало отрицательный характер седиментации [1]. Таким образом, в придонной части банки Дарвина в настоящее время почти отсутствует этап седиментогенеза и ранний этап диагенетических изменений первой стадии формирования морских осадков.

## ЛИТЕРАТУРА

1. Алиев Ф. С. О формировании свойств глинистых пород Апшеронского архипелага в связи с их литификацией. "ДАН СССР", 1964, т. 157, № 1. 2. Алиев Ф. С., Башинджаев И. С., Сулейманов Д. М. Литология и физико-механическая

характеристика песчаных разностей донных осадков Бакинского архипелага. ДАН Азерб. ССР, 1956, т. XII, № 11. З. Мелик-Пашаев В. С. Геология морских нефтяных месторождений Апшеронского архипелага. Гостоптехиздат, 1959. 4. Султанов А. Д. Литология продуктивной толщи Апшеронского полуострова. Изд. АН СССР, 1958. 5. Страхов Н. М. Основы теории литогенеза, т. I. Изд. АН СССР, 1960.

Институт геологии

Поступило 15. IV 1966

Ф. С. Элиев, А. А. Гусейнова

Дарвин суалты тәпәси гумларынын мүнәндиси-хеоложи хүсусијәтләри

ХУЛАСЭ

Дарвин суалты тәпәси гумларынын тәркибиндә 0,5—0,05 мм-лик һиссәчикләр чохлуг тәкшил едир ки, бу да кил фраксијасынын тамамилә олмамасы илә элагадардыр.  $\text{CaCO}_3$  орга несабла 10,6%-э чатыр. Гумларын алеврит фраксијасында кварс вә сүхур гырынтылары вә бир гәдәр аз мигдарда чөл шпатлары үстүнлүк тәшкил едир. Тәдгиг олунан кәсилиш бою аз мигдарда давамлы минераллар (лимонит вә пирит) үстүн јер тутур. Дистен минералына тәсадүф олунмасы гумларын әсас хүсусијәтләриндән биридир.

Гумларын хүсуси чәкиси 2,66—2,72 арасында дәжишир, һәм чәкиләри тәбии налда 1,29—1,47, сыхлашмадан соңра исә 1,64—1,82 арасында тәрәддүд едир. Гумларын сыхлашма әмсалы дәринлик артдыгча 0,6—1,04 арасында дәжишир ки, бу да онларын гравитасија сыхлашмасына мә'рүз галдығыны сүбүт едир. Гумларын јатым дәринлиги артдыгча онларын дахили сүртүнмә бучагы азалыр.

Плиосендән соңракы дөврдә галхма вә һидродинамик амилләр Дарвин суалты тәпәсисин мәнфи характеристики седиментасија кечирдијини көстәрир.

АЭРБАЙЧАН ССР ЕЛМЛӘР АКАДЕМИЯСЫНЫН МӘ'РҮЗӘЛӘРИ  
ДОКЛАДЫ АКАДЕМИИ НАУК АЗЕРБАЙДЖАНСКОЙ ССР

ТОМ XXIV

№ 6

1968

ГЕОХИМИЯ

Д. М. СУЛЕЙМАНОВ, Э. А. МКРТЧЯН

МАЛЫЕ ЭЛЕМЕНТЫ В СОВРЕМЕННЫХ ДОННЫХ  
ОСАДКАХ ДЖЕЙРАНБАТАНСКОГО ВОДОХРАНИЛИЩА

(Представлено академиком АН Азербайджанской ССР А. Д. Султановым)

Современные донные осадки Джейранбатанского водохранилища, расположенного в северо-западной части Апшеронского полуострова и являющегося одним из главных источников водоснабжения последнего (включая города Баку и Сумгаит), образовались как из взвешенных и влекомых наносов, поступающих из Самур-Апшеронского канала, так и с берегов вследствие их переработки.

Основная масса поступающего в канал через водные артерии (реки Самур, Кусарчай, Кудиалчай, Вельвелчай и др.) материала представляет собой продукт размыва третичных, меловых и отчасти юрских отложений.

Изучение характера распределения малых элементов в рассматриваемых осадках позволяет судить о физико-географической обстановке на водосборах и об условиях их накопления.

Спектроскопическому анализу было подвергнуто 22 образца грунта, в которых обнаружено 7 микроэлементов—V, Cr, Cu, Zn, Mn, Sr и Ti, не считая элементов, констатированных в виде следов Co, Ni и Ba.

Переходим к рассмотрению малых элементов с точки зрения распределения их по типам пород и площади водохранилища.

Марганец, содержание которого в донных осадках колеблется в пределах от 0,003 до 0,01%, а в среднем составляет  $1,1 \cdot 10^{-2}\%$  от веса грунта, тяготеет к наиболее тонким илам. Среднее содержание марганца почти в 5 раз меньше его кларка в глинах. Марганец довольно хорошо задерживается в растворах в виде коллоидальных частиц (1959), причем органические коллоиды являются стабилизирующими фактором. Масса растворенного Mn представлена как в виде взвеси  $\text{MnO}$ , так и коллоидальных растворов.

Распределение марганца (рис. 1) происходит упорядоченно, т. е. его содержание возрастает с увеличением глинистого материала. Кроме того, содержание его в глинах можно объяснить связью этого элемента с карбонатными минералами, которых в глинистом материале значительно больше, чем в песчаном (рис. 2).

Количество ванадия в донных осадках колеблется в пределах  $1 \cdot 10^{-3} - 15 \cdot 10^{-2}\%$ .

В проанализированных образцах грунта содержание ванадия меньше кларка  $-8 \cdot 10^{-3}\%$ , а в трех пробах грунта, отобранных вблизи устья Самур-Апшеронского канала, отмечается десятикратное его увеличение  $-15 \cdot 10^{-2}\%$ , что можно объяснить биологическими процессами, происходящими в водоеме. Указанный элемент имеет широкое распространение на исследованной площади и тесно связан с наличием органического углерода в глинистых и алевритово-глинистых илах. Переменность его валентности и следовательно окислительно-восстановительный потенциал среды влияет на геохимию ванадия.

Содержание хрома колеблется в пределах от  $6 \cdot 10^{-4}\%$  до  $1 \cdot 10^{-3}\%$ , что составляет в среднем  $8 \cdot 10^{-4}\%$ . Это количество в 18 раз меньше кларка. Распространен он в северо-западной части водохранилища и связан с алевритово-глинистым материалом. Основная часть находящегося в донных осадках хрома поступает в результате разрушения берегов водохранилища. Повышенное содержание Cr в песках и супесях объясняется тем, что в момент осаждения более грубозернистого материала

поступало большее количество пресных вод, которые и несли хром. С. М. Катченков (1959) считает, что «осадки континентальных областей (озера, болота и т. п.) а также мелководных прибрежно-морских бассейнов при наличии в них органического вещества способны к фиксации хрома, поскольку здесь имеется низкий окислительный потенциал».

Медь распространена по всей площади водоема. Содержание Cu в донных осадках рассматриваемого водоема незначительно и варьирует в пределах от 0,0002 до 0,0008%, составляя в среднем  $5 \cdot 10^{-4}\%$  от веса грунта. Малое содержание меди в исследованных грунтах объясняется щелочной реакцией воды, pH которой колеблется от 7 до 8,84. Выпадению меди способствовала восстановительная обстановка, при которой обычно медь переходит в сульфиды осадок. Cu присутствует в песчано-алевритовом материале, что свидетельствует об интенсивности механического выветривания и плохой дифференциации осадка.

Цинк встречается по всей площади водохранилища и содержание его в осадках колеблется в пределах от 0,001 до 0,006%, составляя в среднем  $1,3 \cdot 10^{-3}\%$ , т. е. в 6 раз меньше кларка, причем наибольшее его количество приурочивается к юго-восточной части водохранилища. Цинк присутствует главным образом в песчано-алевритовом материале.

Стронций связан в основном с карбонатной частью осадка. Из составленной карты (рис. 2) видно, что наибольшая концентрация стронция наблюдается в центральной части впадины, где отмечается повышенное содержание  $\text{CaCO}_3$ . Содержание Sr колеблется в пределах от 0,001 до 0,03%, составляя в среднем  $1,7 \cdot 10^{-3}\%$ , т. е. в 27 раз

Рис. 1. Распределение малых элементов по типам пород в донных осадках водохранилища.

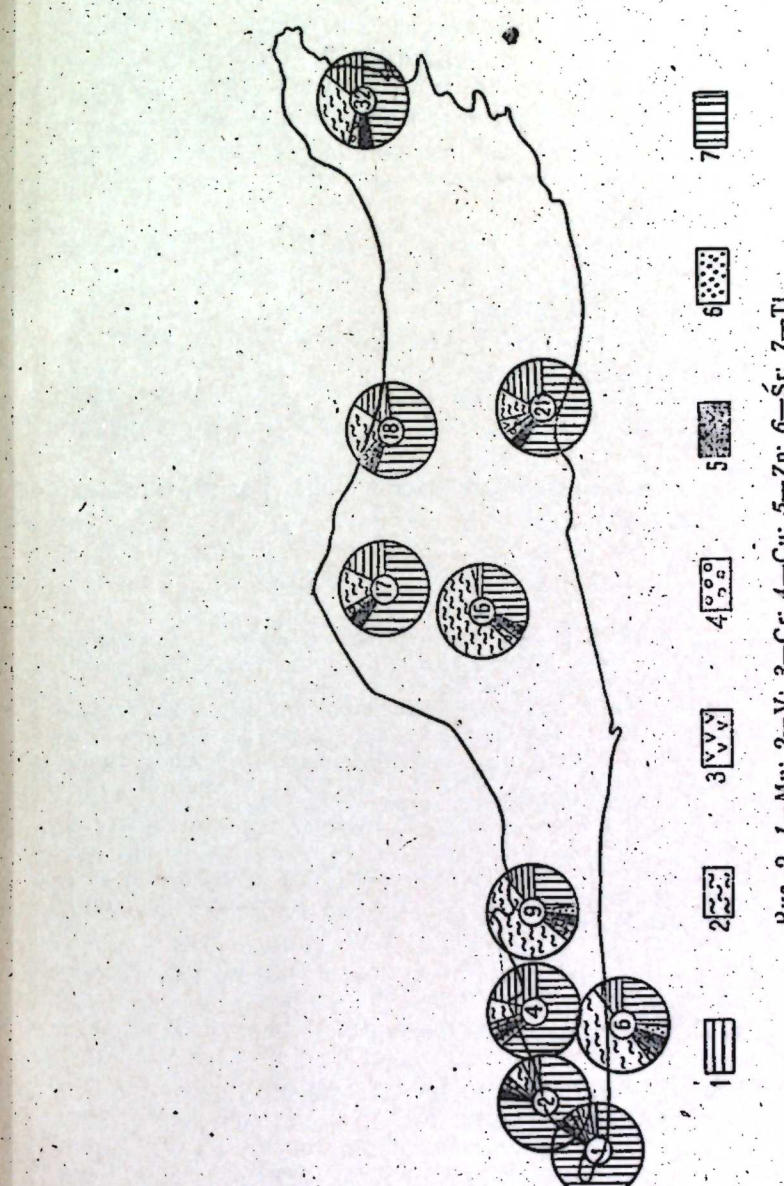
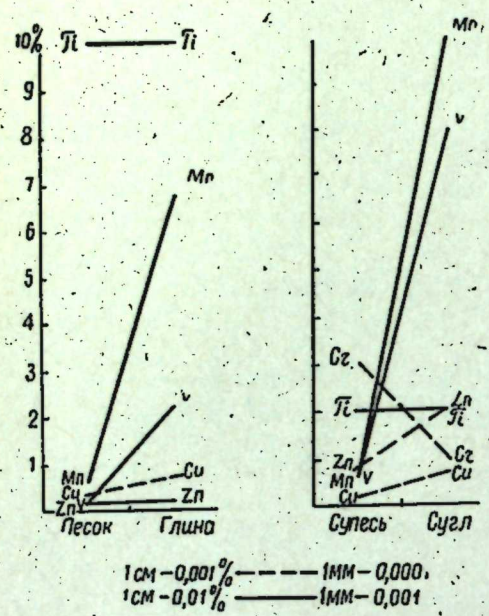


Рис. 2. 1—Mn; 2—V; 3—Cr; 4—Cu; 5—Zn; 6—Sr; 7—Tl.

меньше кларка, при этом наблюдается тяготение его к глинистым и алевритово-глинистым илам.

Титан встречается в осадках всего водохранилища и в количестве 0,1—0,3%, в 5 раз меньше его кларка. Титан накапливается главным образом в алевритовых илах и вносится в водохранилище не только водами Самур-Ашеронского канала, но и за счет разрушения берегов, сложенных главным образом породами продуктивной толщи.

Следует отметить, что процесс распределения малых элементов в донных осадках водохранилища представляет собой дифференциацию элементов, приносимых в водоем не только водами Самур-Ашеронского канала, но и в результате переработки берегов водохранилища.

Некоторая пестрота в распределении указанных элементов во времени говорит о дифференциации, обусловленной изменением состава поступающего в водоем материала.

В заключение следует отметить, что проведенные исследования, основанные на данных спектрального анализа современных донных осадков Джейранбатанского водохранилища, позволили на их примере доказать тесную связь в распределении малых элементов с гидродинамическим режимом, рельефом дна, физико-химическими и химико-биологическими процессами, происходившими в пределах водоема, а также зависимость от состава материнских пород и характера их разложения.

Распределение малых элементов по типам пород и по площади водохранилища дается на рис. 1 и 2.

#### ЛИТЕРАТУРА

1. Виноградов А. П. Закономерности распределения химических элементов в земной коре. «Геохимия», № 1, 1956.
2. Катченков С. М. Малые химические элементы в осадочных породах и нефтях. Труды ВНИГРИ, вып. 143, 1959.
3. Пашалы Н. В. Литология и условия образования четвертичных отложений восточного Азербайджана. Изд. АН Азерб. ССР, 1963.
4. Пашалы Н. В., Сандлер Г. А. Литология и условия образования четвертичных отложений западного Азербайджана. Отчет. Фонд Ин-та геологии АН Азерб. ССР, 1964.
5. Сулейманов Д. М. Грунты дна и условия занятия Джейранбатанского водохранилища. Отчет. Фонд Ин-та геологии АН Азерб. ССР, 1963.
6. Султанов А. Д., Али-Заде З. М. Геохимическая характеристика акчагыльских отложений северного борта Прикуриńskiej низменности. «Изв. АН Азерб. ССР, серия геол.-географ. наук», № 2, 1964.
7. Яночкина З. А. Малые химические элементы-индикаторы условий седиментации. Литология и полезные ископаемые, № 2, 1964.

Институт геологии

Поступило 28. IV 1966

Ч. М. Сулејманов, Е. А. Мкртчян

Чејранбатан су һөвзәсинин диг чөкүнтуләриндә аз  
јајылмыш елементләр

#### ХУЛАСӘ

Мәгаләдә Чејранбатан су һөвзәсинин диг чөкүнтуләриндә аз јајылмыш елементләrin өјрәнилмәси мәсәләсindән бәһс едилir. Бу, хүсусилә һәмин саһәnin физики-чографи шәraiti вә чөкүнтуләrin әмәлә кәлмәси илә изаһ олунур,

Спектроскопик тәдгигата әсасән грунт нүмүнәләrinдән 7 микроеlement мүэjjән едилмишdir. Эн чох јајылмыш елементләr Ti, V вә Mp-дыр.

Титан эн чох алеврит лилләриндә топланыр. Титанын бурада топланмасы Самур-Ашерон каналынын кәтириди чөкүнтуләrin вә саһилин јујулмасы һесабына баш верир.

Һөвзәни тәшкىл едән грунтун тәркибиндә үзви карбон галыглары ичәрсисиндә ванадиум кениш јајылмышдыр.

Марганc һөвзәjе MnO вә наллоид мәһлүлу шәклиндә кәтирилir. Cr, Cu вә Zn-ин мигдары 0,01—0,008% арасында тәрәддүд едир. Саһилин дағылмасы һесабына чөкүнтуләрдә хром вә синк топланыр, бәрпаедиши шәрайтдә исә чөкүнтуләрдә мис мис-сулфидә кечир.

Стронсиум һөвзәни мәркәзиндә јығылыр ки, бу да чөкүнтуләrin нарын дисперс мүһити илә әлагәдардыр. Һөвзәдә топланан елементләrin мұхтәлифији һөвзәjе кәтирилән мәһлүлларын дифференсиациясынан асылыдыр.

КРИСТАЛЛОХИМИЯ

А. Д. КЕРИМОВ, Э. М. ДЖАФАРОВ

О ДОЮРСКИХ КРИСТАЛЛИЧЕСКИХ СЛАНЦАХ  
И МЕТАМОРФИЗОВАННЫХ ГРАНИТОИДАХ  
В АЗЕРБАЙДЖАНСКОЙ ЧАСТИ ЮЖНОГО СКЛОНА  
БОЛЬШОГО КАВКАЗА

(Представлено академиком АН Азербайджанской ССР Ш. А. Азизбековым)

Геологическими исследованиями, производившимися за последние годы по р. Катехчай (Закатальский район) в районе Катехского колчеданно-полиметаллического месторождения (Б. А. Исаев, В. И. Нагиев), отмечен слой базального конгломерата с галькой древних кристаллических пород в разрезе флишевидно-сланцевой толщи средней юры.

Описываемый слой приурочивается к основанию хинаулусской свиты байоса, составляя ее базальный конгломерат, ниже которого залегает верхнесидеритовая песчано-глинистая свита верхнего аалена (рис. 1). Stratigraphически выше располагается ленточно-сланцевая свита батского яруса, в которой гальки древних пород не встречены.

Весь комплекс среднеюрских отложений сложно дислоцирован и располагается на южном крыле Тфанско-горст-антеклиниория в зоне Малкамудского надвига первого порядка. От последнего на северо-восток песчано-глинистые отложения средней юры образуют пологую синклиналь, сменяющуюся в пределах Катехского месторождения крупной антиклинальной складкой, в ядре которой выступают рудовмещающие песчано-глинистые сланцы с сидеритовыми конкрециями.

Кроме мусковита присутствует биотит, полностью и частично замещенный хлоритом (пенинитом) и гидроокислами железа, иногда тур-

Слой базального конгломерата выступает на юго-западном опрокинутом крыле указанной синклинали (см. рис. 1) и прослеживается по руч. Кабиздара (левый приток Катехчая), имея мощность 30–35 м. Он сложен в нижней части грубообломочными конгломератами, переходящими кверху в мелкообломочные их разности и далее в гравеллиты и грубозернистые песчаники с пропластками глинистых песчаников (рис. 2). Гальки окатанные, местами полуокатанные, размерами от 2–3 до 7–8, реже 14–15 см по максимальному измерению.



Рис. 2. Трансгрессивное залегание слоя базального конгломерата на песчано-глинистых сланцах верхнесидеритовой свиты по руч. Кабиздара.

Произведенное нами петрографическое изучение собранного материала из различных частей слоя базального конгломерата позволило установить в составе исследованных галек: гнейсы, гранито-гнейсы, гранодиорито-гнейсы, гнейсо-сланцы, кварцево-слюдяные и кварцево-хлоритовые сланцы, в различной степени метаморфизованные гранодиориты, граниты, пегматиты, различные эфузивные породы, вторичные кварциты и в меньшей степени песчаники и песчанистые сланцы.

Гнейсы, гранито-гнейсы, гранодиорито-гнейсы и гнейсо-сланцы, характеризуются грано- и гетеробластической, бластогранитовой структурой. Кварц образует различной величины неправильные зерна, часто ориентированные по сланцеватости. Крупные зерна кварца часто раздроблены и имеют мозаичное погасание; при этом мелкие его зерна располагаются цепочками вокруг более крупных зерен кварца и полевого шпата, нередко вместе с мелкочешуйчатой слюдой зажаты между ними (рис. 3). Количественные соотношения калиевого полевого шпата и плагиоклаза варьируют в широких пределах. В ряде случаев решетчатый микроклин и ортоклаз заметно преобладают над кислым плагиоклазом альбит-олигоклазового ряда (гранито-гнейсы), а в других — фиксируется преимущественное развитие плагиоклаза ряда олигоклаз-андезина по сравнению с калиевым полевым шпатом (гранодиорито-гнейсы). Наблюдаются также случаи небольшого развития полевого шпата при преобладающем значении кварца и светлой слюды (гнейсо-сланцы), образующих хорошо выраженную лепидобластическую структуру (рис. 4).

Кроме мусковита присутствует биотит, полностью и частично замещенный хлоритом (пенинитом) и гидроокислами железа, иногда тур-

малином. Апатит в меньшей степени циркон и магнетит, часто включены в биотит.

Кварцево-слюдистые и кварцево-хлористые сланцы, кварциты, отличаются лепидобластической структурой,

состоят из пластинчатой формы индивидов кварца и листочков мусковита, реже биотита, расположенных по сланцеватости (кварцево-слюдистые сланцы), в других случаях из чешуек хлорита, заполняющих промежутки между зернами кварца (кварцево-хлоритовые сланцы). Нередко встречаются слабо рассланцованные породы, состоящие главным образом из неправильных зерен кварца, в подчиненном количестве мелкочешуйчатого серицита-мусковита (кварциты).

Граниты, гранодиориты и пегматиты.

Наряду с нормальными гранитами, гранодиоритами и их порфировидными разностями (гранит-порфиры, гранодиорит-порфиры), иногда встречаются аадамеллиты, грано-сиениты и кварцевые сиенит-диориты. Все они, включая и пегматиты, испытывали воздействие одностороннего давления, вследствие чего отдельные минералы, слагающие породу, носят явные следы катаклаза. Полевые шпаты и кварц часто разбиты трещинами и обнаруживают сильное волнистое погасание, нередко раздроблены на остроугольные куски, скементированные тонко-зернистой массой; листочки слюды изогнуты. Наряду с катаклазом происходила частичная перекристаллизация породы с образованием мелкозернистого кварца вокруг более крупных зерен раннего кварца или на стыках их с полевым шпатом.

Главной составной частью гранитов является решетчатый микроклин и ортоклаз, подчиненное значение имеет плагиоклаз альбит-олигоклазового ряда. Кварц около 30–35% заполняет промежутки между полевошпатовыми индивидами, часто лишенными кристаллографических очертаний. В адамеллитах и граносиенитах нередко можно обна-

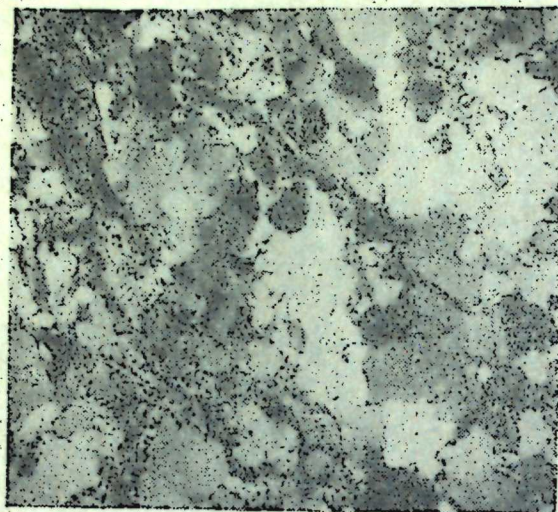


Рис. 3. Гнейсо-гранит, ув. 70Х, ник.+



Рис. 4. Гнейсо-сланец, ув. 60Х, ник. +

ружить явление калиевого метасоматоза, выраженное в микроклинизации плагиоклаза по двойниковым полоскам его индивидов (рис. 5).

По сравнению с гранитами в составе описываемых галек часто встречаются гранодиориты, характеризующиеся значительным преобладанием плагиоклаза андезинового ряда над калиевым полевым шпатом и содержанием кварца не более 22–25%.

В обеих разновидностях этих пород цветной минерал представлен биотитом, местами совместно с ним присутствует мусковит. Аксессориями являются апатит, циркон и магнетит.

Пегматиты в исследованных гальках не имеют большого распространения. Чаще всего для них характерно реликтово-пегматитовое строение, а пегматиты с типичной пегматитовой структурой наблюдаются гораздо реже. По минералогическому составу пегматиты часто соответствуют гранитам, сравнительно реже гранодиоритам, при полном отсутствии или незначительном развитии биотита и мусковита. В катаклизованных разностях, наряду с кварцем находящимся в пегматитовом срастании с полевым шпатом, наблюдаются новообразования кварца в виде отдельных мелких зерен и прожилков, включенных в полевой шпат и ранний кварц.

Эффузивные породы представлены в различной степени метаморфизованными пироксеновыми, роговообманковыми, кварцевыми и диабазовыми порфиритами, кварцевыми порфирами, кварцевыми плагиопорфирами и туфами. В одном случае была встречена более раскристаллизованная порода, приближающаяся по структурно-минеральному составу к габбро-диабазу.

На Южном склоне Большого Кавказа аналогичные вышеописанным гальки древних кристаллических пород были встречены Э. Ш. Шихалибейли [7] в верховых р. Кайнарчай и в междуречье Филифличай и Шинчай на северном крыле Дуруджинского антиклиниория, намного юго-восточнее от пунктов наших исследований. Они представлены здесь гранулитами, гнейсо-сланцами, двуслюдянymi гнейсами и включены в базальный конгломерат лузитана, кимериджа и трангрессивной серии валанжина.

Кристаллические сланцы из окрестности сел. Филифли еще раньше были описаны В. В. Вебером [2], по мнению которого включение сланцев в туфогенную свиту альб-сеномана (кимериджа по Э. Ш. Шихалибейли) произошло в результате многократного переотложения продуктов размыва коренных выходов этих сланцев.

Э. Ш. Шихалибейли полагает, что источником сноса указанных галек в междуречье Филифличай и Шинчай явились существовавшие до титонской, возможно и после, отдельные выступы эопалеозойско-докембрийских пород, которые размываясь давали материал для образования конгломератов в основании лузитана, кимериджа и трангрессивной серии валанжина.

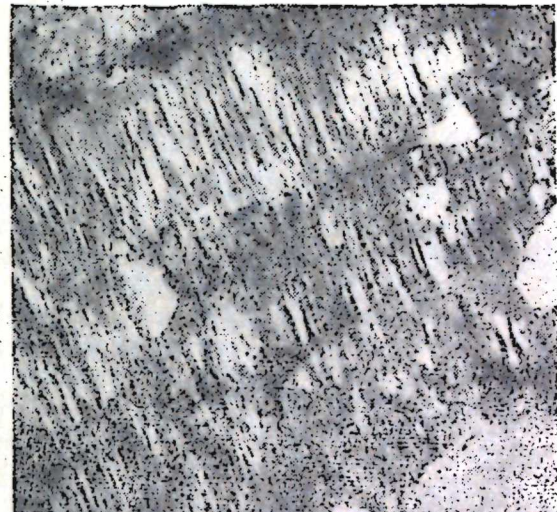


Рис. 5. Микроклинизация плагиоклаза, ув. 500Х, ник.+

В зоне Южного склона Большого Кавказа на территории Грузии выходы древнего субстрата протягиваются крупной прерывистой полосой, начиная от истоков р. Агадхара на западе до Мамисонского перевала на востоке.

Наиболее древними породами кристаллического субстрата являются докембрийские кристаллические сланцы (мусковитовые, биотитовые, двуслюдянные, серицитовые, хлоритовые и др.) и амфиболиты. Нижнепалеозойские метаморфические породы представлены главным образом филлитами, кварцитами, мраморами и сланцами (хлоритовыми, эпидот-хлоритовыми и др.).

Ряд исследователей считает докембрийские и нижнепалеозойские породы указанного кристаллического массива одновозрастными и разную степень метаморфизма объясняет либо контактовым воздействием гранитоидов (Р. Г. Чхотуа, 1941), либо региональным метаморфизмом, проявившимся более интенсивно в нижней части метаморфизованной толщи (С. С. Чихелидзе, 1948).

Среди палеозойских гранитоидов различают равномернозернистые, порфировидные и гнейсовидные разности. В ряде пунктов (Марухский, Клухорский перевалы и др.) гранитоиды образуют непрерывный ряд от кварцевых диоритов до гранитов. В массивах этих пород отмечены также останцы докембрийских и эзопалеозойских пород (ущелье р. Лашипсе, перевал Санчар и др.).

Помимо гранитоидов в составе кристаллического субстрата небольшое развитие имеют основные и ультраосновные породы (габбро, габбро-амфиболиты, перидотиты и др.). Они отмечены в Абхазии (ущелье рек Хецквара, Чхалта, Гвандра, Птыш и др.), где эти породы прорываются гранитоидами и их пегматоидами.

Выходы древнего кристаллического субстрата известны также к востоку от Мамисонского перевала, в Кахетии в ущелье р. Лопота. Здесь среди юрских отложений субстрат сложен сильно смятыми альбит-хлоритовыми и кварцевыми сланцами, частью мILONИТИЗИРОВАННЫМИ гранитоидами.

Кристаллические сланцы кембрия-докембрая отмечены также в ряде пунктов северо-восточных склонов Малого Кавказа (по рекам Асрикчай, Ахинджачай, Джагирчай, Тертер), в составе которых Ш. А. Азизбековым [1] выделены слюдисто-хлоритовые, глинисто-серicitовые, кремнисто-хлоритовые сланцы и гнейсо-сланцы.

Все вышеупомянутые данные показывают, что, несмотря на значительную удаленность друг от друга пунктов нахождения, исследованные нами гальки из окрестности Катехского месторождения по р. Катехчай по петрографическому составу обнаруживают полное сходство с таковыми из района Кайнарчай, Филифличай и Шинчай, а также с породами кристаллического субстрата докембрая-палеозоя соседних областей Грузии. Это обстоятельство дает основание предположить наличие под юрскими образованиями азербайджанской части Южного склона Большого Кавказа, древнего (докембрейско-эзопалеозойского) кристаллического субстрата по аналогии с территорией Грузии и северо-восточных склонов Малого Кавказа (в пределах Азербайджана).

В истории геологического развития описываемой области выходы кристаллического субстрата на дневную поверхность имелись неоднократно, при этом не только перед титонской трансгрессией, как это утверждают некоторые исследователи, но и гораздо ранее, во всяком случае, перед средней юрой. Доказательством служит нахождение галек древних кристаллических пород в базальном конгломерате байоса по р. Катехчай.

Высказанное нами предположение о доюрском кристаллическом фундаменте полностью согласуется с данными геофизических исследований, проведенных в последние годы в пределах описываемой территории Южного склона Большого Кавказа.

## ЛИТЕРАТУРА

1. Азизбеков Ш. А. Кембрий-докембрый Азербайджана (кристаллические сланцы). Геология Азербайджана, т. IV, Петрография. Изд. АН Азерб. ССР, 1952.
2. Вебер В. В. Зона Южного склона в Нагорном Азербайджане. Труды НГРИ, нов. серия, вып. 1, 1939.
3. Заридзе Г. М. Петрография магматических и метаморфических пород Грузии. Госгеолтехиздат, 1961.
4. Заридзе Г. М. и Татришвили Н. Ф. Магматизм Грузии и связанные с ним рудообразования. Госгеолтехиздат, 1959.
5. Чихелидзе С. С. Геологические наблюдения в юго-восточной части Дзириульского массива. Труды Геол. ин-та Груз. ССР, серия геол., т. 4/9, 1948.
6. Чхотуа Г. Р. Интрузивы Абхазии. Сб. «Интрузивы Закавказья». Труды Зак. ГРУ, 1941.
7. Шихалибейли Э. Ш. Геологическое строение и развитие азербайджанской части Южного склона Большого Кавказа. Изд. АН Азерб. ССР, 1956.

Институт геологии

Поступило 26.VI 1967

Э. Д. Кәримов, Э. М. Чәфәров

Бөյүк Гафгазын Азәрбајҹан һиссәсіндәки чәнуб Ѝамачында  
Јурадан габаг јашлы кристаллик шистләр  
вә гранитоидләр һағында

## ХÜLASÄ

Бөйүк Гафгазын чәнуб Ѝамачында Кембридән габаг вә Алт Палеозој јашлы кристаллик сүхурларын чыхышлары гәрбдә Агадхара чаындан башлајараг шәргдә Мамисон кечидинә гәдәр золагвары узаныр. Бу сүхурларын әсас һиссәсини мұхтәлиф гнејсләр, кристаллик шистләр вә гранитоидләр тәшкүл едир.

Бөйүк Гафгазын чәнуб Ѝамачынын Азәрбајҹан һиссәсіндә бу вахта гәдәр гәдим кристаллик сүхурларын чыхышлары гејд едилеммешдир. Лакин бу нөв сүхурларын Јура чөкүнтуләринин алт һиссәсіндә Јерләшмәсінни бир сыра рајонларда тапылмыш галкалар илә сүбүт етмәк олар. Бу чур галкалар Э. Ш. Шыхәлибәјли вә В. В. Вебер тәрәфиндән Кајнарчай, Шинчај вә Филифај һөвзәләринде лузитан, кимерич вә валанжин чөкүнтуләринин базал конгломератларында гејд едилемшидир.

Сон заманлар апардығымыз қеоложи тәдгигатлара әсасен һәмин галкалар даңа гәдим чөкүнтуләрдә мөвчуд олунмушшур. Бу галкалар Катехчай һөвзәсіндә (Загатала рајону) Бајос јашлы хиналагатынын базал конгломератыны тәшкүл едәрәк, әсас етибарилә гнејсләр, гранит-гнејсләр, гранодиорит-гнејсләр, кварс-мусковитли шистләр, кварцитләр, гранитләр, гранодиоритләр вә с. бу кими сүхурлардан ибәрәттәр.

Әлдә едилемиш Іени мә'лумата әсасен, Бөйүк Гафгазын Азәрбајҹан һиссәсіндә Јура чөкүнтуләринин Кембридән габаг—Палеозој јашлы кристаллик субстрат үзәринде Јерләшмәсі һеч дә шуббә ојатмыр.

Гејд едилемләр сон заманлар апарылмыш қеофизики ишләрин нәтиҗәләринә тамамилә уғундур.

## ПАЛЕОНТОЛОГИЯ И СТРАТИГРАФИЯ

Ак. А. АЛИ-ЗАДЕ

## К ЭКОЛОГИИ ПОЗДНЕМЕЛОВЫХ БЕЛЕМНИТОВ АЗЕРБАЙДЖАНА

(Представлено академиком АН Азербайджанской ССР К. А. Ализаде)

Отложения верхнего мела в Азербайджане (Юго-Восточный и Малый Кавказ) чрезвычайно богаты остатками различной фауны. Среди них существенную роль играют белемниты. Последние, хотя и несколько неравномерно распространены как по площади, так и по разрезу, все же очень часто позволяют положительно решать вопросы детальной стратиграфии и межзональной корреляции стратиграфических схем верхнего мела.

Остатки ростров белемнитов как на Малом, так и на Юго-Восточном Кавказе приурочены в основном к одним и тем же стратиграфическим уровням, но встречаются, в породах различных по своему литологическому составу. В то время как на Юго-Восточном Кавказе значительная часть находок их приурочена главным образом к глинистым отложениям верхнего сантонса, кампана и маастрихта, на Малом Кавказе белемнителлы и белемнеллы встречаются в песчанистых, песчано-гравелистистых известняках и сильно известковистых песчаниках тех же возрастов.

В отложениях нижнего сеномана на Юго-Восточном Кавказе белемниты приурочены к карбонатно-терригенным породам—глинам и мергелям. На Малом Кавказе нижнесеноманские белемниты обнаружены в глинах, аргиллитах, реже—в туфопесчаниках, мергелях и известниках.

По составу позднемеловая белемнитовая фауна Азербайджана гораздо более разнообразна и многочисленна, чем это представлялось ранее. К настоящему времени в пределах Азербайджана в отложениях верхнего мела выявлено 20 видов и подвидов белемнитов, принадлежащих к 4 родам (см. таблицу).

Наиболее часто встречаются и полнее представлены виды и подвиды рода *Belemnitella*. В кампанских отложениях отдельных пунктов ростры белемнителл образуют большие скопления (г. Агдаг-Малый Кавказ и г. Чульгязыдаг—Юго-Восточный Кавказ). Представители рода *Parahibolites* [*Parahibolites tourthiae* (Weign.)] и *Belemnella* (*Belemnella arkhangelskii* Naid., Bel. *sumensis occidentalis* Birk.) немногочисленны и выявлены в редких случаях.

и многочисленны и выявлены в верхнем мелу Азербайджана впервые. Интересно отметить, что позднесенонская белемнитовая фауна Юго-Восточного Кавказа при сохранении неизменными почти всех

**а**—распространение вида или подвида в Азербайджане и в других областях, **б**—распространение вида или подвида в Азербайджане.

основных таксономических признаков внешнего (коэффициент удлинения, сжатость, притупленность заднего конца и др.) и внутреннего (длина первого видимого ростра, индекс Шатского, щелевой индекс, щелевой угол и др.) строения, заметно отличаются от таковых не только северных акваторий Европейского моря, но Крыма, Малого Кавказа и Закаспия, относительно малыми размерами как самих ростров, так и полости их альвеолы.

На Юго-Восточном Кавказе белемнителлиды вообще представлены, как правило, коренастыми рострами небольших размеров с прекрасной поверхностной скульптурой, состоящей в основном из глубоко-вдавленных отпечатков крупных и мелких кровеносных сосудов. Такая особенность белемнителл указывает на наличие специфических условий режима позднесенонского бассейна в пределах Юго-Восточного Кавказа. Д. П. Найдин ([5], стр. 112) указывает, что наиболее вероятной причиной малых размеров закавказских ростров белемнителл является, по-видимому, "приспособленность к обитанию в несовсем благоприятных для вида условиях более теплого климата". Безусловно, температура среды обитания является важным экологическим фактором и ее воздействие на органический мир весьма существенно. Однако в данном случае, на наш взгляд, наряду с температурным фактором немалую роль сыграли также и некоторые другие абиотические взаимоотношения. Такое мнение возникло у автора после детального и монографического изучения позднемеловых белемнитов Азербайджана в целом.

Ведь, как показывает анализ, температура бассейнов обитания белемнитов и в акватории Малого Кавказа была достаточно высокой. Свидетельством тому является осаждение здесь в кампанском и маастрихтском веках мощных толщ карбонатных пород. Между тем, малокавказская белемнитовая фауна обнаруживает достаточно близкое сходство с таковой из пределов Русской платформы и сопредельных с ней областей. В таком случае, естественно, напрашивается вывод о возможном влиянии на характер белемнитов Юго-Восточного Кавказа каких-то других причин.

Наличие у белемнитов "чернильного мешка", а также хорошо развитых (как у всех головоногих) глаз показывает, что они населяли главным образом верхнюю прозрачную (эвфотическую) толщу морского бассейна. При этом, ведя пелагический образ жизни, они, по всей вероятности, предпочитали обитание в прибрежных богатых пищей и кислородом участках моря.

Глубоководный характер (мощные толщи глинистых пород, переслаивающихся иногда с мергелями) морских бассейнов в кампане и маастрихте на Юго-Восточном Кавказе и связанное с этим отсутствие достаточного количества кислорода и пищи явились, по-видимому, теми дополнительными факторами, которые обусловили в процессе адаптации белемнитов, появление указанных качественных изменений на их рострах. Примечательно, что адаптивным изменениям (сокращение размеров ростра и фрагмокона) в связи с глубоководным образом жизни подверглись не только формы, эндемичные для Крымско-Кавказской провинции, но и все космополитичные виды и подвиды белемнителл — *Belemnitella langei* Jel., *Bel. mucronata* Link., *Bel. mucronata minor* Jel., *Bel. mucronata senior* Now., *Bel. mucronata postrema* Najd. и др.), проникшие в акваторию Юго-Восточного Кавказа. Следует, по-видимому, предполагать, что возникновение в это время здесь ярко выраженного географического подвида *Belemnitella mucronata parva* Najd. было также в значительной мере

обусловлено влиянием указанных специфических условий кампанского бассейна.

Большинство видов и подвидов в настоящее время известных в составе позднемеловых белемнитов Азербайджана, свидетельствуют о принадлежности их к числу широко распространенных в пределах Среднеевропейской палеозоогеографической области.

Изучение позднемеловых белемнитов Азербайджана показывает, что четыре яруса верхнего мела из семи (сеноман, сanton, кампан и маастрихт) охарактеризованы зональными и руководящими видами или же руководящими ассоциациями различных форм белемнитов. Кроме того, установлено также, что белемниты могут быть использованы в комплексе с представителями других групп фауны для характеристики отдельных стратиграфических единиц верхнего мела Азербайджана (Али-заде [3]).

## ЛИТЕРАТУРА

1. Али-заде Ак. А., Ахвердиев Н. Т., Халилов Э. А. "ДАН Азерб. ССР", 1964, 20, № 2, 33.
2. Али-заде Ак. А. "ДАН СССР", 171, № 1, 2, 3, 663, 1966.
3. Али-заде Ак. А. Позднемеловые белемниты Азербайджана. Азеригеш. 1967.
4. Найдин Д. П. "ДАН Азерб. ССР", 11, № 2, 111, 1955.
5. Найдин Д. П. Бюлл. МОИП, отд. геол., 39, № 4, 85, 1964.

Поступило 3. XI 1967

Институт геологии

Ак. А. Элизадэ

Азэрбајҹаның белемнитләrinin өкөнүсүсүнүү даир

## ХУЛАСЭ

Азэрбајҹан Уст. Тәбашир чекүнүтүләри ичәрисиндә башга фауна груплары илә Яанаши белемнитләр дә кениш јер тутур. Һазырда бу чекүнүтүләр ичәрисиндә 4 чинсә аид олан 20 белемнит нөвү вә јарым-нөвү ашкар едилмишdir.

Чэнуби-шәрги Гафгазын Сенон белемнитләри харичи вә дахили гурулушун әсас ھүсүсүйәтләрини сахламагла Яанаши, нәинки Авропа дәниздәриндә јашамыш, һәтта Крым, Кичик Гафгаз вә Закаспий һәм-чинсләрindә ространын кичикилиji вә алвеоланын дајазлыгы илә фәргләнирләр.

Мүәллифә көрә, бунун сәбәби нәинки температур режими, набелә башга абиотик амилләрлә (дәринлик, јем, оксикенин мигдары вә с.) изаһ олуумалыдыр.

ФИЗИОЛОГИЯ РАСТЕНИЙ

Д. И. МУГАНЛИНСКАЯ

**СОДЕРЖАНИЕ КАРОТИНА В ТКАНЯХ РАЗЛИЧНЫХ РАСТЕНИЙ ПРИ РАЗНЫХ УСЛОВИЯХ АГРОТЕХНИКИ**

(Представлено академиком АН Азербайджанской ССР Д. М. Гусейновым)

На основании трехлетних опытов на Апшероне можно отметить, что положительное влияние на накопление каротина в растениях оказывает уборка осенью, а в отношении срока в основном озимый сев.

Дальнейшие наши исследования показали, что накопление каротина в тканях растений может быть обосновано специфическими почвенно-климатическими особенностями этой зоны, значительно отличающимися от других зон республики.

До постановки опыта было проведено тщательное обследование территории полуострова, пересажено на опытный поливной участок 454 куста, состоящих из 54 злаковых, 24 бобовых (диких сородичей культурных бобовых и злаковых трав), перезимовавших и перенесших засуху предыдущего года.

Под пересаженные растения вносили минеральные (суперфосфат) и органические (навоз) удобрения.

В опытах были учтены основные требования агротехники (поливы, нормы внесения удобрений, разрушение корки и пр.).

При озимом и летнем севе семян пересаженных культур предшественницей была пшеница.

За растениями велись фенологические наблюдения, определялся вес кустов и содержание каротина. Из собранных семян этих культур диких сородичей бобово-злаковых в последующий год был проведен летний и зимний посев.

Было изучено влияние сроков сева на развитие кормовых культур, выращенных на поливном участке сероземной щелочной почвы.

Из-за ограниченности посевных семян, земли и поливной воды все опытные посевы проводили на делянках при двух повторностях.

Использованные свежеубранные семена для летнего сева дали хорошие всходы. В следующем году растения быстро отрастали и образовывали мощную зеленую массу, но корневая система их плохо развивалась и находилась на незначительной глубине.

При озимом севе люцерна округлая своим высоким ростом, хорошим состоянием всходов и размножением, резко отличалась от других люцерн.

По сравнению с летним севом при озимом севе *Medicago coeruleae* имела лучшие всходы и большую способность к развитию. В озимом севе по росту, длине корневой системы отличались *Medicago coeruleae* округлая и арабийская. Все растения клевера — низкорослые. Более высоким ростом отличался клевер опрокинутый.

Пробы на анализ каротина брались по инструкции отдела кормления ВИЖ. Каротин определялся в час взятия проб в целом растении без корней.

Содержание каротина определялось по методике П. Х. Попандопуло в навеске 10 г натурального вещества.

Результаты исследований приведены в табл. 1, 2, 3, 4.

Таблица 1

**Содержание каротина в тканях бобовых и злаковых растений летнего сева**

Растения	Состояние посева	Фаза вегетации	Дата анализа	Содержание каротина, мг/кг (среднее по двум повторностям)
<b>I. Бобовые</b>				
Вика пепельно-серая ( <i>Vicia cinerea</i> )	Хорошее	Бутонизация	13 апреля	23,41
Вика узколистная ( <i>Vicia angustifolia</i> )			8 апреля	23,41
Вика гибридная ( <i>Vicia hybrida</i> )			8 апреля	31,90
Вика наброанская ( <i>Vicia narbonensis</i> L.)			9 апреля	31,61
Люцерна арабийская ( <i>Medicago arabica</i> )			3 мая	16,20
Люцерна зубчатая ( <i>Medicago denticulata</i> )		Цветение		11,64
Люцерна хмелевидная ( <i>Melicago lupulina</i> )		Созревание	15 мая	16,67
Клевер ползучий, белый ( <i>Trifolium striatum</i> )		Бутонизация	12 мая	11,62
Чина шершавая ( <i>Lathyrus hirsutus</i> )		Побегообразование	17 мая	22,66
Донник индийский ( <i>Melilotus indicus</i> (L.) A. N.)		Бутонизация	12 мая	12,19
<b>II. Злаки</b>				
Костер японский ( <i>Bromus japonicus</i> )		Кущение	12 апреля	23,66
Костер краснеющий ( <i>Lernaria rubens</i> )				10,48

Ряд авторов (П. Д. Пшеничный, А. Л. Virtanen, Г. Е. Moon, В. Р. Гарнер, Р. Н. Робенс, Т. Гудвин, В. М. Троицкий; А. Д. Егоров, Л. С. Владимира, К. В. Маркова, М. А. Байтурин, С. В. Африкян, В. А. Карапетян, Г. Г. Елкина и П. Д. Дорошенко и другие) сообщает о снижении и даже отсутствии каротина в тканях зеленых растений.

В условиях нашего опыта максимальная скорость ветра с большой частотой 24 и 28 м/сек в период разгаря вегетации падала на летний сев и меньшая частота на озимый сев, что оказало влияние на перестройку обмена веществ. Отсутствие осадков в летний период приводило к тому, что запасы влаги, накопленные в почве зимой и весной, постепенно расходовались.

Таблица 2

Содержание каротина в тканях бобовых и злаковых трав озимого сева

Растения	Состояние посева	Фаза вегетации	Дата анализа	Содержание каротина, мг/кг (среднее по двум повторностям)
<b>I. Бобовые</b>				
Вика узколистная ( <i>Vicia angustifolia</i> )	Отличное	Цветение—созревание	10 мая	11,53
Вика наброцкая ( <i>Vicia narbonis</i> L.)			19 мая	12,95
Вика пепельно-серая ( <i>Vicia cinerrea</i> )				28,11
Вика гибридная ( <i>Vicia hybrida</i> )				16,25
Люцерна гибридная ( <i>Medicago hybrida</i> )	Хорошее	Цветение	21 июня	16,19
Люцерна хмелевидная ( <i>Medicago lupulina</i> )			21 июня	22,17
Люцерна арабийская ( <i>Medicago arabica</i> )		Бутонизация	19 мая	21,55
Люцерна зубчатая ( <i>Medicago denticulata</i> )		Цветение—созревание	21 мая	14,78
Донник индийский ( <i>Melilotus indicus</i> (L.) A. N.)	Удовлетворительное	Цветение	19 мая	17,35
<b>II. Злаки</b>				
Костер японский ( <i>Bromus japonicus</i> )		Кущение	21 мая	11,94

Таблица 3

Содержание каротина в тканях бобовых и злаковых растений летнего и озимого сева

Растения	Сроки сева					
	Летний сев			Озимый сев		
	Фаза вегетации	Дата исследования	Содержание каротина, мг/кг	Фаза вегетации	Дата исследования	Содержание каротина, мг/кг
Клевер иглистый ( <i>Trifolium echinatum</i> M. B.)	Побегообразование	15 мая	2,16	Побегообразование	19 мая	11,40
Люцерна округлая ( <i>Medicago orbicularis</i> )	Созревание Побегообразование	12 мая	0,0	Цветение Побегообразование		28,11
<i>Medicago coeruleae</i>		9 июня	0,0			10,41
<i>Medicago coeruleae</i>						
Астрагал крючконосый ( <i>Astragalus brachyceras</i> L. d. b.)				14 июня		12,47
<i>Trifolium bonanni</i>		7 мая	3,6	Цветение	19 мая	12,79
Лисохвост мышелистиковый		12 мая	0,0			2,02
	Кущение	12 мая	0,0	Кущение	12 мая	Следы

С усилением засухи рост водоудерживающих сил обеспечивался за счет перестройки обмена веществ. В процессе перестройки обмена веществ в метеорологических условиях данного опыта и происходило снижение содержания каротина в растениях изученных видов.

Таблица 4

Содержание каротина в тканях бобовых и злаковых растений летнего и озимого сева

Растения	Сроки сева					
	Летний сев			Озимый сев		
	Фаза вегетации	Дата исследования	Содержание каротина, мг/кг	Фаза вегетации	Дата исследования	Содержание каротина, мг/кг
<i>Medicago coeruleae</i>	Цветение	12 мая	0,0	Цветение	14 июня	12,47
<i>Medicago coeruleae</i>	Побегообразование		0,0	Побегообразование		10,41
Люцерна арабийская ( <i>Medicago arabica</i> )	Бутонизация	3 мая	16,20	Бутонизация	19 мая	25,11
Клевер иглистый ( <i>Trifolium echinatum</i> M. B.)	Побегообразование	16 мая	2,16	Побегообразование		11,40
Клевер опрокинутый ( <i>Trifolium resupinatum</i> )	Цветение	12 мая	0,0	Цветение		5,54
Астрагал крючконосый ( <i>Astragalus brachyceras</i> L. d. b.)	Цветение—созревание	7 мая	3,60	Цветение—созревание		12,79

В описанных условиях опыта результаты наших анализов, по содержанию каротина в различные сроки сева, у ряда растений оказались различными (табл. 1 и 2).

У ряда растений летнего сева каротин отсутствовал, у некоторых содержание каротина по сравнению с озимым севом было снижено (табл. 3 и 4).

Наиболее устойчивыми к накоплению каротина оказались (табл. 4): люцерна арабийская (*Medicago arabica*), клевер иглистый (*Trifolium echinatum* M. B.), астрагал крючконосый (*Astragalus brachyceras* L. d. b.), что является особенностью вида разно реагировать на условия среды при существующей агротехнике.

При сопоставлении одних и тех же растений по совпадающим фазам вегетации при озимом севе (в отличие от летнего) содержание каротина оказалось выше.

Таким образом, при подборе кормовых культур для отдельных зон, наряду с агротехникой, следует учесть видовые особенности растений к накоплению каротина.

Институт физиологии

Поступило 21. IV 1967

Д. Муганлынская

Мұхтәлиф агротехники шәртләрдән асылы оларға жашыл биткиләрдә каротинин мигдары

ХУЛАСӘ

Абшеронун иглим-торпаг шәраити Республикасының бир чох зоналарынан фәргләнір. Бу зонаның шәраиттән дән асылы оларға каротинин мигдарына көрә биткиләрдин сечилмәсінин бөյүк әһәмијәті варды.

Һәлә тәчрүбә апарылмаздан габаг Абшеронун тәбии јем саһәләрнин өјрәндик. Гышда тахыл фәсиләсінә айд өлан 54 (чинс вә нөв) вә пахлалылар фәсиләсінә айд 24 адда (чинс вә нөв), чәми 454 колу

көкүндән чыхарыб суварылан тәчрүбә саһесинә тәзәдән әкдик. Бу биткиләр әввәлки Јериндән чыхарылмаздан габаг гышы кечирмиш вә әввәлки илин гураглыг шәраитидә олмушдур. Тәзәдән әкилмиш биткиләрә минерал (суперфосфат) вә үзви күбрәләр (пейин) верилмишdir. Тәчрүбәдә әсас агротехники тәләбатлары көзләјәрәк, биткиләр үзәриндә феноложи мүшәнидәләрдән башга, онларын чәкисини вә биткиләрдә олан каротинин мигдарыны мүәյҗән етдик. Бу биткиләрдән йығылан тохумлары сонракы илин яңында вә пајызында әкдик.

Тәчрүбәләр көстәрди ки, яң әкининә нисбәтән пајызда әкилән биткиләрдә каротинин мигдары дәфәләрлә чох олур. Бундан башга, бир чох битки нөвләри (*Medicago arabica*, *Trifolium echinatum* M. B., *Astragalus brachyceras* L. d. b.) каротинин чохлу мигдарда топланылmasына көрә башга биткиләрдән фәргләнир. Биз бу һалы нөвә мәхсус олан әламәти хүсусијәти илә әлагәләндирририк. Буна көрә дә айрыајры зоналар учун әкин биткиләри сечиләркән агротехники шәраитдән башга онларын нөвләри дә нәзәрә алынмалыдыр.

ПАЛЕОБОТАНИКА

Р. А. ФАТАЛИЕВ

**ПАПОРОТНИК *CYCLOSORUS STIRIACUS* (UNGER)  
R. CHING ET TAKHT. В ТРЕТИЧНЫХ ФЛОРАХ КАВКАЗА**

(Представлено академиком АН Азербайджанской ССР Г. А. Алиевым)

Нахождение на Кавказе в ископаемом состоянии отпечатков листьев растения, принадлежащего к роду, отсутствующему в его современной флоре, имеет большое палеоботаническое значение, расширяя наше представление о путях развития лесной растительности этой своеобразной ботанико-географической области в геологическом прошлом.

К числу редких видов кавказской третичной флоры относится *Cyclosorus stiriacus*, который на территории Советского Союза известен только в Закавказье, а в Западной Европе довольно часто встречается в олигоценовых и миоценовых флорах. Несмотря на это, систематическое положение рассматриваемого папоротника долгое время оставалось неясным, о чем свидетельствует приводимая синонимика по первоисточникам.

1847. *Polypodites stiriacus* Unger, p. 121, t. XXXVI, fig. 1—5 (14).  
1852. *Goniopteris stiriaca* (Ung.) A. Braun, p. 556 (7).  
1855. *Lastraea* (*Goniopteris*) *stiriaca* (Ung.) Heeg, p. 31, t. VII—VIII (13).  
1865. *Phegopteris stiriaca* (Ung.) Ettingshausen, p. 195 (10).  
1937. *Dryopteris stiriaca* (Ung.) Palibin, Палибин, стр. 39, табл. 1, фиг. 1. (2).  
1960. *Cyclosorus stiriacus* (Ung.) R. Ching et Takht., Фаталиев, стр. 1217, табл. 1, фиг. 1, 1а; рис. 3 (5).

Первую находку *C. stiriacus* в третичной флоре СССР описал И. В. Палибин [2] под названием *Dryopteris stiriaca* из неогеновых отложений Годердзского перевала и, таким образом, правильно определил его место в *Dryopteroidees*. В этой обширной и сборной группе "гониоптеронид" типом жилкования обладают представители современного древнего рода *Cyclosorus*, который этим характерным признаком резко отличается от *Dryopteris* и других близких родов [8, 9].

Принадлежность *Polypodites stiriacus* Unger к роду *Cyclosorus* установлена в 1957—1958 гг. член-корреспондентом АН СССР А. Л. Тахтаджяном совместно с китайским птеридологом проф. Р. Чином. А. Л. Тахтаджян любезно предоставил в распоряжение автора часть:

рукописи монографии „Неогеновая флора Годердзского перевала“ и эта комбинация была впервые опубликована нами в 1960 г. (затем и в 1961 г.) по материалам сборов „листовой“ флоры из верхнесарматских отложений северо-западной части междуречья Куры и Иори [5, 6]. Поэтому, согласно номенклатурным правилам, она должна цитироваться следующим образом: *Cyclosorus stiriacus* (Unger) R. Ching et Takht. in Fataliev, 1960, так как вышеуказанная работа А. Л. Тахтаджяна вышла в свет только в 1963 г. В связи с этим аналогичную комбинацию французского палеоботаника Л. Грамба [12], опубликованную в 1962 г. и позднее заимствованную Р. Живулеску [11], следует считать недействительной.

Большой род *Cyclosorus* (сем. *Aspidiaceae*), насчитывающий около 300 видов в тропических и субтропических странах обоих полушарий, имеет много представителей в Восточной Азии. Один вид этого рода, а именно *C. stiriacus*, с очень специфическим анастомозирующим жилкованием (позволяющим определять его даже по незначительным остаткам) в третичное время произрастал в нескольких районах Закавказья (Годердзский перевал, юго-западная Грузия, гора Катар, западный Азербайджан).

Палеоботанический интерес вызывает нахождение *C. stiriacus* в катарской и годердзской флорах. Первая из них, фаунистически датированная (херсонский горизонт верхнего сармата), а геохронологическое положение второй флоры определяется в пределах неогена. Обсуждая геологические данные последних лет, А. Л. Тахтаджян [4] указывает на возможность верхнесарматского возраста нижних горизонтов мощной годердзской свиты. А пока этот вопрос остается открытым и решение его, видимо, облегчится после обработки всего ископаемого материала как по годердзской, так и по катарской флорам. Здесь же отметим, что рассматриваемые комплексы, кроме *C. stiriacus*, связывают еще *Woodwardia roessneriana* (Ung.) Heeg, *Persia princeps* (Heeg) Schimper и *Cinnamomum lanceolatum* (Ung.) Heeg, причем последние два вида встречаются и в составе раннеолигоценовой флоры Дарыдага в Нахичеванской АССР. Новые сборы Г. М. Касумовой [1] из этого местонахождения в 1957 г. позволили ей повторить определения И. В. Палибина [3] и обнаружить отпечатки листьев *Gleditsia*, *Dalbergia*, *Quercus* и других, среди которых наибольший интерес представляет форма, приведенная под названием *Lastraea cf. stiriaca* Heeg. Отсутствие изображения и описания не позволяет судить о достоверности данной находки в юго-западной части Кавказа, хотя весьма возможно, что дарыдагские фрагменты принадлежат *C. stiriacus*.

Большое количество отпечатков листьев *C. stiriacus* во флоре горы Катар указывает на заметную роль, которую он играл в травяном покрове позднесарматского леса в сообществе с другими папоротниками, и на наличие достаточно влажных местообитаний. В морфологическом отношении ископаемый европейско-кавказский *C. stiriacus* стоит ближе всего к современному *C. acuminatus* (Houitt). Nakai. Ареал этого вида охватывает все провинции Китая южнее реки Хуанхэ, остров Тайвань, а также Японию, Корею и юго-восточное побережье полуострова Индокитай.

#### ЛИТЕРАТУРА

1. Касумова Г. М. О флоре нижнего олигоцена района Дарыдага. Нахичеванская АССР. ДАН Азерб. ССР, т. XVII, № 8, 1961.
2. Палибин И. В. Ископаемая флора Годердзского перевала. Труды БИН АН СССР, серия I, вып. 4, 1937.
3. Палибин И. В. Нижнеолигоценовая флора Дарыдага в бассейне р. Аракса (За-

кавказье). Труды БИН АН СССР, серия I, вып. 6, 1947. 4. Тахтаджян А. Л. Неогеновая флора Годердзского перевала, ч. I. Труды БИН АН СССР, серия VIII, вып. IV, 1963. 5. Фаталiev R. A. Ископаемые папоротники из сарматских отложений междуречья Куры и Иори в Закавказье. „Бот. журн. АН СССР“, № 8, 1960. 6. Фаталiev R. A. Сарматские папоротники из междуречья Куры и Иори. „Бот. журн. АН СССР“, № 9, 1961. 7. Вагил А. Über fossile Goniopteris-Arten. „Deutsch. Geol. Gesell. Zeitschr.“, IV, 1852. 8. Ching R. C. A. Revision of the Chinese and Sikkim-Himalayan Dryopterids with Reference to some species from Neighbouring Regions. „Bull. Fan Mem. Inst. of Biology, Bot. ser., Peiping (Peking)“, VIII, 4, 1939. 9. Copeland E. B. Genera Filicum, the Genera of Ferns. Waltham, 1947. 10. Etinghausen C. Die Farnkräuter der Jetztwelt. Wien, 1865. 11. Givulescu R. Die fossile Flora der „Valea Jiului“ (Schiltal, Bez. Hunedoara, Rumänen). „N. Jb. Geol. Paläont. Mh.“, 4, 1964. 12. Grambast L. Flora de l’Oligocène supérieur du Bassin de Paris. „Ann. de Paleont.“, XLVIII, 1962. 13. Heeg O. Flora Tertiaria Helveticae, v. I. Winterthur, 1855. 14. Unger F. Chloris protogaea. Leipzig, 1847.

Поступило 23. II 1967

Институт ботаники

Р. А. Фаталиев

*Cyclosorus stiriacus* (Unger) R. Ching et Takht.  
тыжысы Гафгазыны Үчүнчү дөвр флорасында

#### ХУЛАСЭ

Гәрби Авропанын Олигосен вә Миоцен флорасынын характер нұма-жәндәләріндән олан вә әдебијатда *Polypodites*, *Goniopteris*, *Lastraea*, *Phragopteris*, *Dryopteris* чиңсләринә дахил едилән *Cyclosorus stiriacus* нөвү ССРИ әразисинде ики јердән мә'лумдур: Годердзи ашырымы (Неокен, Күрчүстанын чәнуб-гәрб үйссәси) вә Гатар дағы (Уст Сармат, Гәрби Азәрбајҹан). Нахчыван МССР-дәки Дарыдагын Алт Олигосен чөкүнүләріндән тапталмыш *Lastraea cf. stiriaca* Неег талыгларынын *C. stiriacus* нөвүнә мәнсублуғу күман едилir.

Үчүнчү дөврдә кениш ареалда яйымасына бақмајараг, бу мараглы-тыжынын систематик вәзијәти узун мүддәт айдын дејилди (илк мән-бәләрә әсасын синонимика верилир). 1957—1958-чи илләрдә Чин ботаникни Р. Чин вә ССРИ ЕА мүхбир үзүү А. Л. Тахтачан *Polypodites stiriacus* Unger нөвүнүн мүасир *Cyclosorus* чиңсине (*Aspidiaceae* фәсиләси) аид олдуғуны мүәжжән етдиләр. Лакин *C. stiriacus* (Unger) R. Ching et Takht. комбинасијасы 1960-чы илдә илк дәфә Р. А. Фаталиев тәрәфиндән дәрч едилмишdir.

## ГЕНЕТИКА

Л. В. КОВДЫШЕВА, Ф. А. АХМЕД-ЗАДЕ

К ВОПРОСУ О ЧИСЛЕ ХРОМОСОМ У АЗЕРБАЙДЖАНСКИХ ПРЕДСТАВИТЕЛЕЙ РОДА *TEUCRIUM* L.

(Представлено академиком АН Азербайджанской ССР И. Д. Мустафаевым)

Род Дубровник—*Teucrium* L. относится к подсемейству *Ajugoidea* Benth., одному из наиболее распространенных и полиморфных в сем. *Labiateae* Juss.

Дубровники имеют обширный ареал и очень большое количество видов, входящих в состав многих секций. Кавказские виды р. *Teucrium* L. относятся к пяти секциям: *Teucris* Benth., *Stachiobotrys* Benth., *Scordium* Rchb., *Chamaedrys* Schreb., *Polium* Schreb. Литературных данных о числе хромосом у представителей рода существует мало. В сводке [3] приводятся данные по следующим видам: *Teucrium botrys*  $2n=10$ ; *Teucrium arduinii*  $2n=32$ ; *Teucrium flavidum*  $2n=32$ ; *Teucrium scorodonia*....., по данным разных авторов,  $2n=32,34$  и  $64$ , *Teucrium chamaedrys* L.  $2n=64$ ; *Teucrium polium* L.  $2n=26$ . Кроме того, число хромосом у р. *Teucrium* L. приводится в работе [2] и у некоторых других авторов.

Отечественных работ по этому вопросу мы не имеем.

Нами установлено число хромосом у четырех видов р. *Teucrium* L., принадлежащих различным секциям: *Teucrium orientale* L. (секц. *Teucris* Benth.), *T. hircanicum* L. (секц. *Stachiobotrys* Benth.), *T. nuchense* Koch. (секц. *Chamaedrys* Schreb.), *T. polium* L. (секц. *Polium* Schreb.).

К секции *Chamaedrys* Schreb. относится также широко распространенный в Азербайджане *Teucrium Chamaedrys* L.

Работа была проведена в Институте генетики и селекции МСХ Азербайджанской ССР на материале Института ботаники АН Азербайджанской ССР.

Препараты готовились из только что раскрывшихся листовых почек. Молодые листики фиксировались в фиксаторе Навашина; окрашивание хромосом производилось железным ацетокармином по общепринятой методике. Нужно отметить, что из-за очень маленькой величины клеток и большого числа хромосом наблюдения и подсчет хромосом были весьма затруднительными.

Подсчеты хромосом проводились на микроскопе МБИ-6; зарисовки на микроскопе МБР-1 с рисовальным аппаратом Аббе; для большей наглядности рисунок при помощи пантографа увеличивался еще примерно в полтора раза.

У *Teucrium chamaedrys* L., хотя нами было изготовлено большое число препаратов, точно установить число хромосом не удалось; по нашему мнению, оно может быть равно 60 или 64, что подтверждается и литературными данными [2, 4].

У *Teucrium orientale* L., относящегося к наиболее примитивной секции *Teucris* Benth., число хромосом ( $2n$ ) равно 18 (см. рис. 1).



Рис. 1. *Teucrium orientale* L. ( $2n=18$ )

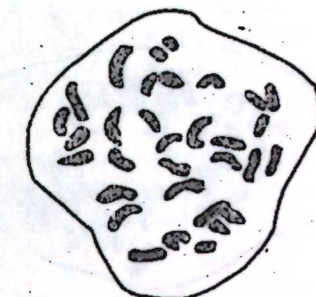


Рис. 2. *Teucrium hircanicum* L. ( $2n=32$ )

Во многих клетках *Teucrium orientale* L. в метафазе сохраняется ядрышко и наблюдается наличие крахмальных зерен.

Следующей ступенью в эволюции рода *Teucrium* L. считается секция *Stachiobotrys* Benth. Хромосомное число определено нами у *Teucrium hircanicum* L., относящегося к этой секции. Оно равно ( $2n$ ) 32. Хромосомы значительно мельче, чем у *Teucrium orientale* L.

Секция *Chamaedrys* Schreb. является еще более высокой ступенью в эволюции р. *Teucrium* L. Из этой секции число хромосом нами определено у *Teucrium nuchense* Koch. Оно равно 48. Хромосомы очень мелкие. В метафазе клетки часто наблюдается ядрышко (см. рис. 3). К этой же секции относится и *Teucrium chamaedrys* L., число хромосом у которого по литературным данным, равно 60 или 64. Нужно сказать, что *Teucrium nuchense* Koch долгое время считался разновидностью *Teucrium chamaedrys* L. и морфологических различий счи-талось недостаточно для выделения его в самостоятельный вид. Однако различное число хромосом указывает на то, что *Teucrium nuchense* Koch вполне может считаться обособленным видом.

Наиболее высокоорганизованной считается секция *Polium* Schreb. Представителем этой секции является *Teucrium polium* L. Число хромосом ( $2n$ ) у *Teucrium polium* L. равно 26. Хромосомы мелкие. Тамосом ( $2n$ ) у различных видов р. *Teucrium* L., относящихся к различным образом, к различных видов *T. orientale* L. X=9, у *T. hircanicum* L. X=8; у *T. nuchense* Koch, X=8.

Можно предполагать, что если  $2n$  у *T. chamaedrys* L. равно 64, то и здесь X=8; у *T. polium* L. X=13.

Литературные данные также подтверждают наличие разных геномных чисел у видов рода *Teucrium* L.

Поскольку количество исследованных нами видов невелико и каждый из них относится к разным секциям, нам кажется преждевременным делать какие-либо выводы о положении исследованных нами видов в системе рода *Teucrium* L.

Однако существует общепринятое мнение о том, что у видов, расположенных на высших ступенях эволюции (в пределах мелких таксономических единиц—рода, например), число хромосом бывает большим, нежели у более примитивных первичных видов. В этом отношении *Teucrium polium* L. является отступлением от правила—у него число хромосом меньше, чем у всех остальных видов.

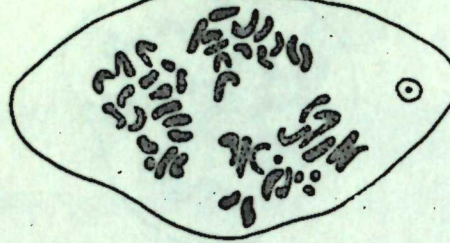


Рис. 3. *Teucrium nuchense* Koch.  
( $2n=48$ )

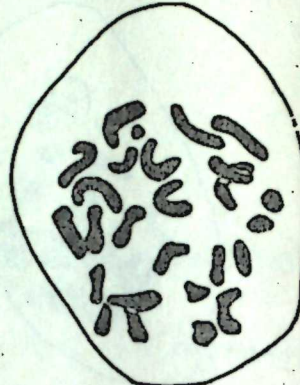


Рис. 4. *Teucrium polium* L.  
( $2n=26$ )

Но при этом геномное число *Teucrium polium* L. равно 13, т. е. больше, чем у всех остальных видов. Можно предполагать, что эволюция *Teucrium polium* L., возможно, и всей секции *Polium* Schreb. (данными по другим представителям этой секции мы не располагаем) пошла иным путем, при котором усложнялся геном, а не увеличивалась полидность организмов, что наблюдается у *Teucrium hircanicum* L., *Teucrium nuchense* Koch, *Teucrium chamaedrys* L. (*Teucrium hircanicum* L.—тетраплоид, *Teucrium nuchense* Koch.—секстаплоид, *Teucrium chamaedrys* L.—октаплоид).

На основании проведенных нами исследований можно сделать следующие выводы.

1. У исследованных видов рода *Teucrium* L., относящихся к различным секциям, наблюдается следующее число хромосом: у *Teucrium orientale* L.—18, у *Teucrium hircanicum* L.—32, у *Teucrium nuchense* Koch—48, у *Teucrium polium* L.—26, у *Teucrium chamaedrys* L.—60 или 64.

2. Геномное число у представителей различных секций рода *Teucrium* L. различно и равно 9,8 и 13.

3. Можно предполагать, что эволюция различных видов и секций рода *Teucrium* L. шла различными путями: у одних—по пути увеличения полидности организмов, у других—усложнения и увеличения геномного числа.

#### ЛИТЕРАТУРА

- Марджанишвили Ю. В., Кобахидзе Л. А. Материалы к кариосистематическому изучению кавказских видов *Onobrychis* Adams. Заметки по систематике и географии растений АН Груз. ССР, 1965, вып. 24, 65—72.
- Baksay L. The chromosome numbers of Ponto-Mediterranean plant species—Ann. Hist.—Nat. Mus. Natl. Hung. 50 N. S. 9, 1958.
- Darlington C. D., Wyllie A. P. Chromosome Atlas of Flowering Plants. London, 1950.
- Reese G. Hochgradige Dysploidie bei

*Caltha palustris* L. (vol. Mitt.)—Planta 41, 1952. 5. Tarnavschini I. T. Karyologische Untersuchungen an Halophyten aus Rumänen im Lichte zyto-ökologischer und zyto-geozono-geographischer Forschung.-Bul. Fac., Stint. Cernauii 12, 1938.

Институт ботаники

Поступило 3. III 1967

Л. В. Ковдышева, Ф. А. Эймэдзадэ

Азэрбајҹанда олан мәрјемнохуду (*Teucrium L.*) чинси нөвләри хромосомларының өјрәнилмәсинә даир

#### ХУЛАСЭ

Мәгаләдә мәрјемнохуду нөвләринин хромосомларының өјрәнилмәси һаггында мә’лumat верилмишdir. Аյдын олмушdur ki, Шәрг мәрјемнохудунда (*Teucrium orientale* L.) 18, һирканда (*T. hircanicum* L.) 32, Шәкининкиндә (*T. nuchense* Koch) 48, ағда, (*T. polium* L.) 26, ади мәрјемнохудунда (*T. chamaedrys* L.) 60, яхуд 64 хромосом варды. Булларда кеном сајында (9, 8 və 13) мүхтәлифлик ашкара чыхарылышырып.

Апардыгымыз тәдгигата әсасән демәк олар ki, мәрјемнохуду нөвләри və селексијаларының тәкамүлү мүхтәлиф јолла кедир: бә’зиләриндә плоидий чохалма јолу, дикәрләриндә исә кеномун сајының мүрәккәбләшмә vә чохалмасы илә.

БИТКИ АНАТОМИЯСЫ

В. Г. ГЭЗЭНФЭРОВА

ЛАНСЕТЛИ БАГАЯРПАГЫНЫН ЧИЧЭК ҮНССЭЛЭРИНИН  
МОРФОЛОЖИ ДЭЖИШКЭНЛИЖИ (*PLANTAGO LANCEOLATA*)

(Азэрбајчан ССР ЕА академики И. К. Абдуллајев төгдим етмишдир)

Багајарпағы мүхтэлиф екологи-чографи шәраитдэ յајылараг чохлу мигдарда полиморф нөвө маликдир. Буилардан өсас е'тибарилэ *P. major* L., *P. lanceolata* L., *P. coronopus* L. вэ с. көстәрмәк олар.

Азэрбајчанды յајылан багајарпағы нөвлөриний систематик-морфоложи тәдгиги заманы даһа чох полиморф нөв олан лансетли багајарпағы хүсусилэ динггэти чөлб етмишдир. Белэ ки, бу нөвүн фәрдләрийн нәинки тәкчэ векетатив, һәмчинин кенератив органлары да морфоложи гурулушча олдугча дәжишкән вэ чичәйинин үнссэләри мүхтэлифдир. Нөв дахилиндэ белэ мүхтэлифлийн нэ илә әлагәдар мејдана чыхдығыны ажыналашдырмачын систематиканын мүасир тәләбатына ўғун олдуғуну нэээрэ алараг, бу фактлары гејд етмәжи мәгәдә мұвағиғ һесаб едирик.

Азэрбајчанын рајонларында мүхтэлиф екологи шәраитдэн յығылан биткиләр вэ һербари материалларынын нээрдән кечирдикдэ аждын олмушдур ки, лансетли багајарпағынын чичэк охунун һүндүрлүү, түклүү вэ тиллилийн мүхтэлифдир. Ајры-ајры фәрдләрийн чичэк охлары нәинки 5, 6, 7, 8, 9 вэ надир һалларда чохтиллидир, һәтта бир фәрдин өзүндэ мүхтэлиф тилли чичэк охларына раст кәлмәк олур. Бу тиллийн систематик эхәмијјәти вардыр. Белэ ки, К. Линнеј [5] чохтиллилук, чичәйин үнссэләриндән бири олан каса ярпагларынын кәнарынын түклүү вэ с. хүсусијјэтләрә көрэ *P. lanceolata*-я յаҳын олан *P. altissima*-ны айрыча нөв кими вермишдир вэ назырда да Гәрби Авропа үчүн характеристикдир. А. А. Гроссчејм *P. altissima*-нын յајылма ареалынын кенишләндирәрәк, бу нөвү Гаффаза аид етмишдир. (Гаффаз флорасы, 1934). Һалбуки, нәинки Гаффаз шәраитиндә, үмумијјэтлә ССРИ әразисинде белэ *P. altissima* L. юхдур. Лакин *P. altissima*-ны *P. lanceolata*-дан айырмаг үчүн өсас көтүрүлән чохтиллилук вэ каса ярпагларынын кәнарынын түклүү вэ полиморф нөв олан *P. lanceolata*-да Гаффаз шәраитиндә тез-тез раст кәлир. Ола биләр Гәрби Авропада *P. altissima* L. вар, анчаг бу ики хүсусијјэт *P. altissima*-ны *P. lanceolata*-дан айырмаг үчүн өсас көтүрмәк олмаз, чүнки бу хүсусијјэтләр *P. lanceolata*-да вардыр.

Үмумијјэтлә, *P. lanceolata* башга хүсусијјэтләрлә дә полиморфдур. Белэ ки, *P. lanceolata*-нын ярпағынын ајасы форма вэ бөյүлүк, түкләнмә, дамарланма, кәнарынын дишилиji е'тибарилә олдугча дәжишкәндир. Гејд етмәк лазымдыр ки, ярпаг ајасынын дәжишкәнлижи нәинки ајры-ајры фәрдләрдә, һәтта ејни биткидә мүхтэлифдир. Адәтән, бу бағајарпағы нөвүндә дар, енил вэ хәтвары лансетшәкилли, елипсвари ярпаглара тәсадүф олунур. Ярпаг ајасынын формасынын мүхтэлифлиji, бөйүлүү, түкләнмә дәрәчәси јәгин ки, биткиниң битдижи һәјат шәраити-ону әнатә едән мүһитлә әлагәдардыр. Белэ ки, пајызыда вэ јаңда чүчәрән бә'зи биткиләрин ярпаглары экәр енил вэ чыллагырыса, һәмин биткидә јаңда инкишаф едән ярпаглар нисбәтән назик, узун вэ сых, бә'зән кечә кими түклү олур. Һәмчинин көлкәли вэ рүтубәтли јердә биткин фәрдләрин ярпаглары нисбәтән чыллаг вэ ири олурса, гураглыг шәраитиндә биринчиләрлә ејни вахтда-յаңда чүчәрән биткиләрин ярпаглары хырда вэ сых түклү олур.

Полиморфизм тәкчэ векетатив органларда дејил, кенератив органларда даһа чох нэээрэ чарпыр. Апарылан тәдгигатлар нәтижесинде аждыналашмышдыр ки, чичэк группунун-сүнбүлүнүн формалары олдугча мүхтэлифдир: силиндршәкилли, гыса силиндршәкилли, јумуртавары, узунсов јумурташәкилли, башчыг, узунсов вэ с.

Мә'лум олдуғу кими, чичәйин гурулушу бағајарпағы чинси учүн мүһүм вэ тә'жинеди чәләмәтләрдән сајылыр. Бағајарпағы чинсинин башга нөвлөриндән фәргли олараг, лансетли бағајарпағынын өзүнә-мәхсүс чичәйинин гурулушу вардыр. Белэ ки, бу нөвдә 4 сәрбәст каса ярпағынын әвәзиндә 2 каса ярпағы сәрбәст вэ 2-си бирләшмишдир. Бу ахырынчы һалда каса ярпағынын յалныз уч үнссәси ојуг вэ ортасындан 2 дамар кечир. Мәһіз бу хүсусијјэтлә буны дикәр нөвлөрдән айырмаг асан олур. Лакин гејд етмәк лазымдыр ки, башга нөвлөрдән фәргләнән лансетли бағајарпағынын ајры-ајры фәрдләриндә чичәйинин үнссәләри олдугча мүхтэлифдир. Белэ ки, чичәйин чичэк алтығы лансетли бағајарпағыда форма, бөйүлүк, рәнк, түкләнмә е'тибарилә мүхтэлифдир. Экәр бә'зи битки фәрдләриндә чичэк алтығы 2—2,5 мм-дирсә, дикәрләриндә 3—6, бә'зән 7 мм-дир. Чичæk алтығлары յалныз боюна көрә дејил, ејни заманда формача да фәрглидир (шәкил, а). Шәкилдән көрүндүү кими, ашағыдакы чичæk алтығларыны: јумуртавары учу күт, үчкүнч јумуртавары, узунсов єлипшәкилли алтығлары гејд етмәк олар. Бу чичæk алтығларынын орта үнссәсендән бир յашыл дамар кечир вэ чичæk алтығынын учунча чатмыр. Үмумијјэтлә, чичæk алтығлары да сивриуучлу, јаҳуд күт вэ ја азачыг сиври олур.

Анализ учүн 100 чичæk көтүрүлмүшдүр. 1-чи мә'луматдан көрүнүр ки, 100 чичækдән даһа чох раст кәлән чичæk алтығы 2,5; 3; 3,5; 4 мм-дир. 2-чи мә'лумата көрә 100 чичækдән јумуртавары учу күт, үчкүнч јумуртавары, узунсов јумурташәкилли чичæk алтығларынын даһа тез-тез тәсадүф олунур. Каса ярпаглары да бој вэ форма е'тибарилә мүхтэлифдир. Каса ярпагларынын боју 2—3,5 мм арасында дәжишиллир. Јухарыда гејд едилиди кими, каса ярпагларынын икиси сәрбәстdir вэ бу пәрдәвары каса ярпағынын ортасы бирдамарлы, формача оғадәр дә мүхтэлиф дејилдир (шәкил, а). Аңчаг бирләшән каса ярпағы исә форма вэ хүсусен уч үнссәдә дишикләринә көрә ләжишкәндир. Шәкилдән көрүндүү кими (шәкил, б), адәтән бирләшән каса ярпағынын учунда бир ојуг олан (2 дишичик) каса ярпағынан башга, неч ојуг олмајан вэ ја 3 ојуг олан (4 дишичик) каса ярпагла башга, һеч ојуг олмајан вэ ја дишичикләри дәжири, јаҳуд рина тәсадүф олунур ки, буилары да дишичикләри дәжири, јаҳуд

Үчкүңч вә жа бир каса жарпағында інші ики дишчик формасы растау көлир. Қох нағдир налда бирләшсөн каса жарпағының ортасында бир

	1-ч и м ә л у м а т					
	100 чичәк					
Чичәк алтлыгының сајы	3	20	33	18	12	2
Узунлугу, м.м-лә	2	2,5	3	3,5	4	1—1,5
	2-ч и м ә л у м а т					
	100 чичәк					
Чичәк алтлыгының сајы	39		22	22		12
Формасы	јумуртава- ры учу күт	јумуртава- ры шәкилли	үчкүнч јумуртава- шәкилли	узунсов	дәјирми јумуртава- шәкилли	узунсов ел- липс шәкилли
	3-ч у м ә л у м а т					
	100 чичәк					
Каса јарнагларының сајы	56		28		9	7
Каса јарнагларының түкәнмәсі	каса јар- нагларының учу	каса јар- нагларының учу ёз орта дамары	бирләшеш ка- са јарнагла- рының учу ёз ортадамары	бирләшеш ка- са јарнагла- рының учу ёз ортадамары,		

ојуг вә онунла әлагәдар олараг бир дамар олур. Анализ едилән 100 каса йарлағындан көрүнүр ки, түккләмә дәрәчәсі мұхтәлифdir. Адәтән каса йарпагларының учу чылпаг вә бә'зән түккүл олур. Бә'зи чичәкләрдә исә каса йарпагларының учу түккүл вә орта дамар бою кирпикли, яхуд каса йарпагларының орта һиссәсі дағыныг түккүлдүр. Бундан башга, бу формалар арасында кечид формалара да тәсадүф едилir. Белә ки, әкәр сәrbәст каса йарпагларының жалныз учу түккүлдүрсә, бирләшән каса йарпагларының учу вә орта дамары кирпиклидир, яхуд әксинә, сәrbәст каса йарпагларының учу вә орта дамары кирпикликлидирсә, бирләшән каса йарпагларының жалныз учу түккүл олур. З-чүмә'луматдан көрүндүү кими, анализ нәтижәсиндә мә'лум олмушшурки, 100 чичәйин каса йарпагларындан 56-сынын учу, 28-нин учу вә орта дамары, 9-нүн бирләшәнин учу, тәкләрин учу вә сртә дамары; 7-сиинин бирләшәнин учу вә орта дамары, тәкләрин жалныз учу түккүлдүр. Чичәйин тачы да нисбәтән дәjiшкәндир (шәкил, 2). Тачын борусу 1,5; 2; 2,5; 3 мм, пајлары 1,5; 1,8; 2; 2; 2,5; 3 мм арасында дәjiшиләрәк мұхтәлиф формалыдыр: узунсов јумуртшәкилли, јумуртшәкилли, еллипсвары, узунсов еллипсшәкилли, јумуртавары лансетшәкилли. Еркәкчијинин (шәкил, 6) вә дишичијинин (шәкил, e) гурулушунда хүсуси нәзәрә чарпан дәjiшиклијә тәсадүф олунмамышдырылар бир чичәйин 4 еркәкчији вә 1 дишичији вардыр. Дишичијин јумурталығы 2 јувалы—2 тохумлудур.

Жэгин ки, кэскин иглим, торлаг, релјефэ малик олан Азэрбајчаны мүхтәлиф екологи-чоғрафи раёнларында ябылан лансетли бағајарпағыда мүхтәлиф биологи комплексләри тә'сири алтында, ейни замайды, һәмни мүхтәлиф екологи шәрәйтдән олан айры-айры мүхтәлиф фәрдләр арасында топланма кетмәси вә һибрид формаларын әмәлә кәлмәси нәтижәсендә морфологи фәргләр мејдана чыха биләр. Белә мүхтәлифлијин һәм һәмли, һәм дә гуру јерләрдә раст кәлмәси субудаир ки, лап эввәлләр вә һазырда формалашма кедир. Ола билсии ки бу әlamәтләр мөһкәмләниб ирси әlamәт дашияраг нөв дахилинидаһа ири нөв дахили мүхтәлифлик әмәлә кәтирир.

Жұхарыда гејд олунанлардан ашагыдақы нәтичелері көлмәк олар: 1. Гәрби Авропада ола биләр *P. altissima* L. вардыр. Аңчаг чичәк охунын чохтиллилиji вә каса йарпагларынын кәнарынын түккүлүк хүсусијәтини *P. altissima*-ны *P. lanceolata*-дан айырмай, үчүн әсас көтүрмәк олмаз, чүнки бу хүсусијәтләр *P. lanceolata*-да да вардыр.

ДИШИНЧИК	ЕРҚАҚЧИКЛӘР	ТАЧ	КАСА ЖАРПЛАГЛАРЫ			ЧИЧЭК АЛТЫЛЫҒЫ
			ТЭК	БИРЛӘШӘН		
6	6	6	6	6	6	6
7	7	7	7	7	7	7
8	8	8	8	8	8	8
9	9	9	9	9	9	9
10	10	10	10	10	10	10
11	11	11	11	11	11	11
12	12	12	12	12	12	12
13	13	13	13	13	13	13
14	14	14	14	14	14	14
15	15	15	15	15	15	15
16	16	16	16	16	16	16
17	17	17	17	17	17	17
18	18	18	18	18	18	18
19	19	19	19	19	19	19
20	20	20	20	20	20	20
21	21	21	21	21	21	21
22	22	22	22	22	22	22
23	23	23	23	23	23	23
24	24	24	24	24	24	24
25	25	25	25	25	25	25
26	26	26	26	26	26	26
27	27	27	27	27	27	27
28	28	28	28	28	28	28
29	29	29	29	29	29	29
30	30	30	30	30	30	30
31	31	31	31	31	31	31
32	32	32	32	32	32	32
33	33	33	33	33	33	33
34	34	34	34	34	34	34
35	35	35	35	35	35	35
36	36	36	36	36	36	36
37	37	37	37	37	37	37
38	38	38	38	38	38	38
39	39	39	39	39	39	39
40	40	40	40	40	40	40
41	41	41	41	41	41	41
42	42	42	42	42	42	42
43	43	43	43	43	43	43
44	44	44	44	44	44	44
45	45	45	45	45	45	45
46	46	46	46	46	46	46
47	47	47	47	47	47	47
48	48	48	48	48	48	48
49	49	49	49	49	49	49
50	50	50	50	50	50	50
51	51	51	51	51	51	51
52	52	52	52	52	52	52
53	53	53	53	53	53	53
54	54	54	54	54	54	54
55	55	55	55	55	55	55
56	56	56	56	56	56	56
57	57	57	57	57	57	57
58	58	58	58	58	58	58
59	59	59	59	59	59	59
60	60	60	60	60	60	60
61	61	61	61	61	61	61
62	62	62	62	62	62	62
63	63	63	63	63	63	63
64	64	64	64	64	64	64
65	65	65	65	65	65	65
66	66	66	66	66	66	66
67	67	67	67	67	67	67
68	68	68	68	68	68	68
69	69	69	69	69	69	69
70	70	70	70	70	70	70
71	71	71	71	71	71	71
72	72	72	72	72	72	72
73	73	73	73	73	73	73
74	74	74	74	74	74	74
75	75	75	75	75	75	75
76	76	76	76	76	76	76
77	77	77	77	77	77	77
78	78	78	78	78	78	78
79	79	79	79	79	79	79
80	80	80	80	80	80	80
81	81	81	81	81	81	81
82	82	82	82	82	82	82
83	83	83	83	83	83	83
84	84	84	84	84	84	84
85	85	85	85	85	85	85
86	86	86	86	86	86	86
87	87	87	87	87	87	87
88	88	88	88	88	88	88
89	89	89	89	89	89	89
90	90	90	90	90	90	90
91	91	91	91	91	91	91
92	92	92	92	92	92	92
93	93	93	93	93	93	93
94	94	94	94	94	94	94
95	95	95	95	95	95	95
96	96	96	96	96	96	96
97	97	97	97	97	97	97
98	98	98	98	98	98	98
99	99	99	99	99	99	99
100	100	100	100	100	100	100

Шәкил: *Plantago lanceolata*—да чиңек үзвләричүү дәјишкөилиji.

2. Лансетли бағајарпағының чичәйиниң һиссәләри олдугча дәјишиң кәндир. Беләки, чичәйин чичәк алтлығы вә каса јарпаглары форма, бөյүклүк, рәнк, түкләмә вә с., һәмчинин тачын боју вә пајларының форма, бој вә рәнки мұхтәлифdir.
3. Лансетли бағајарпағының чичәйиниң чичәк алтлығы, каса јарпаглары вә тачында бу гәдәр дәјишикәнилек мүшәнидә едилмәснә бахмајараг, еркәкчик вә дишичијин гурулушунда хүсуси нәзәрә чарпан дәјишикәнилә тәсадүф олуммамышдыр.

Ботаника институту

Алынмышдыр 30 XII 1967

### ЭДӘБИЙЛАТ

1. Гроссгейм А. А. Флора Кавказа т. IV. Издание, Аз. Отд. Зак. фил. АН, 1934. 2. Гроссгейм А. А. Определитель растений Кавказа. Изд-во „Советская наука“, 1949. 3. Флора Азербайджана, т. VII, 1957. Изд-во АН Азерб. ССР. 4. Флора СССР, т. XXIII, 1958. Изд-во АН СССР. 5. *Linnaei C. Species Plantarum*, т. I, II, London, 1753.

В. К. Казанфарова

### Морфологическая изменчивость частей цветка подорожника ланцетного

#### РЕЗЮМЕ

При морфологическом изучении рода *Plantago* L. особое внимание было удалено виду *P. lanceolata* L. Полиморфизм особей этого вида выражен не только в вегетативных, но и в генеративных органах.

В данной статье ставилось целью выявление амплитуды морфологической изменчивости частей цветка. Выявлены следующие формы прицветников: продолговато-эллиптические, треугольные, удлиненно-яйцевидные, округло-яйцевидные, яйцевидно-тупые, яйцевидные с постепенно заостренной верхушкой и яйцевидные с резко заостренной верхушкой. Размеры прицветников колеблются от 2—2,5 до 7 мм. Чашелистики отличаются разнообразием форм зубчиков сросшихся чашелистиков, наиболее часто встречаются с 2, 3, 4, зубчиками, реже без зубчиков. Отмечена также различная степень опущенности и места расположения волосков на килях прицветников и чашелистиков.

В пределах вида отмечены следующие формы долей венчика: эллиптические, продолговато-эллиптические, удлиненно-яйцевидные, яйцевидные, яйцевидно-ланцетные.

АЗЭРБАЙЧАН ССР ЕЛМЛЭР АКАДЕМИЈАСЫНЫҢ МӘРУЗӘЛӘРИ

ДОКЛАДЫ АКАДЕМИИ НАУК АЗЕРБАЙДЖАНСКОЙ ССР

ТОМ XXIV

№ 6

1968

### ФИЗИОЛОГИЯ ЧЕЛОВЕКА И ЖИВОТНЫХ

А. И. КАРАЕВ, А. И. ДЖАФАРОВ

### ИЗМЕНЕНИЕ ТЕМПЕРАТУРНОГО РЕЖИМА И ЭЛЕКТРИЧЕСКОЙ АКТИВНОСТИ СЕНСОМОТОРНОЙ ОБЛАСТИ КОРЫ МОЗГА ПРИ СТИМУЛЯЦИИ ИНТЕРОРЕЦЕПТОРОВ

В настоящее время не подвергается сомнению, что локальные изменения температуры мозга при различных воздействиях на организм могут служить еще одним индикатором в процессе деятельности мозга, дающим возможность более судить о механизмах, протекающих в центральной нервной системе. Имеющиеся данные, полученные в экспериментах, с прямым измерением теплопродукции отдельных структур мозга в условиях целостного организма дают основание предполагать наличие связи колебаний температуры с обменными процессами, протекающими в этих структурах [3, 9]. Обращено внимание и на изменение притока крови к мозгу [4, 7].

Приобретает большое значение одновременная регистрация температурного режима структур мозга на фоне их электрической активности. Было обнаружено, что при локальном охлаждении отдельных участков коры больших полушарий собак наблюдается понижение электрической активности этих структур [13]. Кавамура и Савер [11] показали, что во время парадоксальной фазы сна температура исследуемых областей мозга повышается, хотя известен факт общего понижения температуры. Многие эксперименты, проведенные на субклеточном уровне подтверждают наличие взаимосвязи колебаний температуры с изменениями электрической активности этих образований.

Мы исследовали температурные и электрические реакции сенсомоторной области коры мозга в ответ на интероцептивную стимуляцию.

**Методика.** Исследования проводились на 28 кроликах в хронических условиях опытов. С помощью стереотаксического прибора в сенсомоторную область коры вживлялся термистор МТ-54 с приложенным к нему биполярным никромовым электродом. Контактные части термистора и электрода находились на одном уровне и приводились в соприкосновение с поверхностью коры мозга через прокол в твердой мозговой оболочке. Запись показаний производилась на восьмиканальном электроэнцефалографе марки „Кайзер“. Связь микротермистора с электроэнцефалографом осуществлялась посредством специальной мостовой схемы, подобно предложенной Д. И. Пароллой для осциллографа (Паролла, 1958). Этот мост позволяет загрузить

изменения больших амплитуд и намного усилить микроизменения, протекающие в структурах мозга.

На выходе усилителя энцефалографа были получены импульсы, горизонтальный уровень которых указывает на температурные изменения изучаемой области коры. В данных экспериментах понижение горизонтального уровня импульсов указывает на повышение температуры структуры мозга. Для определения абсолютной величины температуры производилась калибровка посредством включения в цепь сопротивления в 1 ом.

Параллельно велась запись электрической активности сенсомоторной области коры мозга, а также таламической ретикулярной формации.

Раздражение рецепторов прямой кишки производилось надуванием мозинового баллончика, величина давления в котором измерялась манометром.

Нами были проведены опыты с измерением температурного режима как по методике В. А. Березовского, так и по методу мостовых схем, предложенному Пароллом с предлагаемой нами модификацией, выполненной инженером Е. Г. Чернышевым. В отличие от первой наша методика дает возможность изучить и сопоставить изменения температурного режима и электрической активности, зарегистрированных в одной и той же области мозга.

Результаты исследований и их обсуждение. Проведенные эксперименты показали наличие спонтанных колебаний температуры сенсомоторной области мозга, возникающих вне связи с каким-либо контролируемым раздражением. Эти медленные небольшие по амплитуде колебания температурного уровня (до 0,01°C), очевидно, связаны с непрерывным воздействием на животное различного рода раздражителей внешней и внутренней среды организма. В ряде случаев наблюдалась непосредственная связь этих температурных колебаний с проявлением ориентировочной реакции животного. По мере адаптации кроликов к условиям экспериментов отмечалось некоторое понижение величины спонтанных колебаний температурного режима. Эти данные подтверждаются измерениями, проведенными как с потенциометром, так и с энцефалографом.

В экспериментах, проведенных по методу Березовского, на ЭПП-09 при раздражении рецепторов прямой кишки в сенсомоторной области коры мозга наблюдалось фазное изменение температуры: в начале раздражения возникла небольшая фаза снижения температуры по отношению к первоначальному уровню, а затем ее повышение, которое было весьма значительно (рис. 1).

1). Первый отрицательный компонент отклонения в три—четыре раза меньше по длительности, чем второй положительный.

Этот двухфазный характер изменения температуры коры мозга не наблюдался в наших экспериментах, проведенных с энцефалографом (рис. 2, 3). Как показано на рис. 2, при стимуляции прямой кишки повышением давления в баллончике (60 мм рт. ст.) возникает повышение

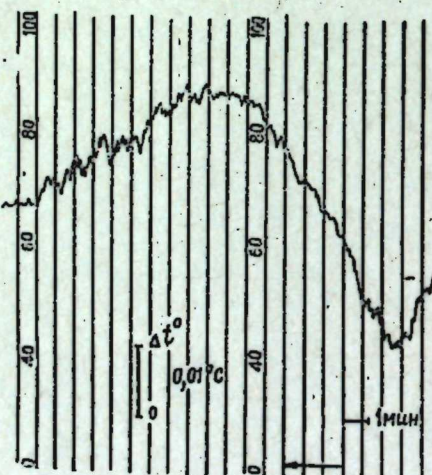


Рис. 1

уровня температуры изучаемой области коры (на рисунках в виде понижения горизонтального уровня импульсов) без предварительного понижения ее теплопродукции. Такого рода отклонения температурного режима (0,022—0,025°C) с латентным периодом в 2—5 сек наступали во всех случаях, когда повышение давления в баллончике производилось медленным нагнетанием в него воздуха до нужного уровня (рис. 2).

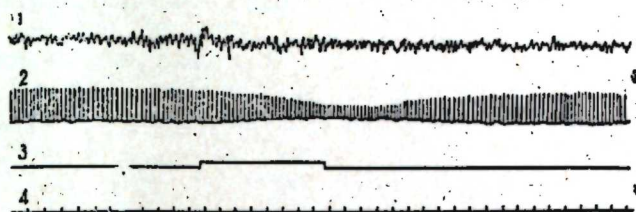


Рис. 2. 1—электрическая активность сенсомоторной области коры мозга; 2—температурный уровень сенсомоторной области коры мозга; 3— отметка раздражения; 4—отметка времени.

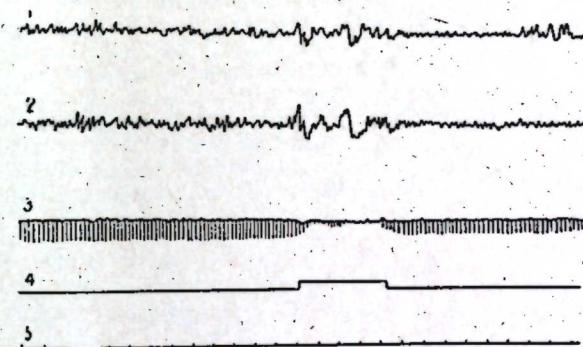


Рис. 3. 1—электрическая активность таламической ретикулярной формации; 2—электрическая активность сенсомоторной области коры мозга; 3—температурный уровень сенсомоторной области коры мозга; 4—отметка раздражения; 5—отметка времени.

Изучение электрической активности сенсомоторной области коры показало, что стимуляция прямой кишки приводит к некоторому угнетению амплитуды медленных колебаний и к развитию синхронизированного, так называемого "упорядоченного" [1] ритма, частотой 5—7 в сек. Такой же характер электрической активности наблюдается и в таламической ретикулярной формации.

Указанные изменения электрической активности сохраняются некоторое время и после прекращения стимуляции рецепторов прямой кишки. Если стимуляция рецепторов производилась постепенным нагнетанием воздуха в баллончик, то изменения электрической активности наступали раньше, чем изменения температурного режима. Последний имеет четко выраженный латентный период от 2 до 7 и более секунд. Если же раздражение прямой кишки производилось быстрым раздуванием баллончика (до 50—60 мм рт. ст.), то сдвиг температурного режима наблюдался одновременно с электрической активностью, начиная с момента стимуляции и достигал 0,032—0,037°C (рис. 3).

При этом в электрической активности передко регистрировались быстрые двухфазные колебания типа первичных ответов, за которыми следовало несколько медленных волн, а затем развивалась общая

реакция упорядочивания ритмов. В данном случае имело место соответствие в моментах начала изменения электрической активности и температурного режима коры мозга. Это отклонение нарастает по своей величине и длится до прекращения стимуляции рецепторов, а затем сразу же возвращается к уровню, близкому к первоначальному. Полное восстановление исходного уровня температуры происходило через определенный период времени, который в различных экспериментах был различным и колебался в пределах от нескольких секунд до нескольких минут.

Таким образом были обнаружены локальные изменения температурной реакции в тесной взаимосвязи с изменениями электрической активности, протекающими в одной и той же области коры мозга.

#### ЛИТЕРАТУРА

1. Анохин П. К. „Ж. высш. нерви. деят.“, т. XII, вып. 3, 1962.
2. Березовский В. А. Докл. и сообщения II конф. Укр. общества патофизиол. Ужгород, 1962.
3. Березовский В. А. „Физиол. ж. СССР“, т. 49, 1963.
4. Граменицкий П. М. О нормальных температурных соотношениях в организме и их регуляции. Дисс. Л., 1952.
5. Карапетян А. И., Мушкин Н. А. Матер. I научн. конф., посвященной физиол. морфол. фармакол. с клиникой ретикул. форм. гол. мозга. М., 1960.
6. Карапетян Г. К. Функциональная нейрохимия центральных нервных систем. Матер. I Всеобщ. симп. Баку, 1966.
7. Орестенко Ю. Н. „Физиол. ж. СССР“, т. 31, № 9, 1965.
8. Паролла Д. И. Термоэлектрографическое исследование некоторых реакций сосудов головного мозга в остром и хроническом опыте. Дисс. Л., 1958.
9. Семенов Н. В. Изменение температуры головного мозга и их возникновение в норме и патологии. Дисс. Киев, 1952.
10. Frankenhausen B. 11. Moore J. Physiol., № 2, 431—437, 1963.
11. Kawamura, Sawyer, „Science“, 1965.
12. Katz B., Miledi K., „J. Physiol.“, № 3, 1965.
13. Pasztor, Tomkal, Deak. „J. Physiol.“, № 3, 325—342, 1965.

Институт физиологии

Поступило 10. XI 1966

А. И. Гараев, А. И. Чәфәров

Интероресепторларының гычыгандырылмасы заманы бејин габығының һисси-һәрәки наһијәсинин һәрәрәт режиминин әле електрик фәаллығының дәжишмәсі

#### ХУЛАСӘ

Тәдгигатлар ЕПП-09 типли потенциометр әле електроенцефалограф гурчуларының көмәжилә апарылышы. Бу үсул ени вахтда һевланларда бејин габығының һисси-һәрәки наһијәсинин һәрәрәт режиминин әле електрик фәаллығының дәжишмәсін тәдгиг етмәж имкан верир.

Мүәjjән едилмишdir ки, виссерал гычыға гаршы бејин габығының һисси-һәрәки наһијәсинин һәрәрәт режими әле електрик фәаллығы ени вахтда дәжишилир.

Нәтичәләр ЕПП-09 типли гургу илә алышын дәлилләрлә мугајисә едилдикдә, електроенцефалограф виситәсилә алышан һәрәрәт режиминин дәжишмәсінин 2 фазалы тәрәддүдә малик олдуғу айданлашыр.

АЗЭРБАЙЧАН ССР ЕЛМЛӘР АКАДЕМИЯСЫНЫН МӘРҮЗӘЛӘРИ.

ДОКЛАДЫ АКАДЕМИИ НАУК АЗЕРБАЙДЖАНСКОЙ ССР

ТОМ XXIV

№ 6

1968

#### СЕЛЬСКОЕ ХОЗЯЙСТВО

Г. Д. КУЛИЕВ

#### АНАЛЬГЕЗИНОВОЕ ОБЕЗБОЛИВАНИЕ СЕЛЬСКОХОЗЯЙСТВЕННЫХ ЖИВОТНЫХ

(Представлено академиком АН Азербайджанской ССР М. А. Топчибашевым)

Со времени открытия эфирного наркоза исследователи не перестают совершенствовать это гениальное по своему значению открытие. Ученые о наркозах и местном обезболивании за последние десятилетия развилось настолько, что превратилось в специальную биологическую науку — анестезиологию.

Методы обезболивания в ветеринарной практике, в отличие от людской, где обезболивание в основном имеет хирургический интерес, применяются в гораздо более широком масштабе, так как не только хирургические операции, но большинство лечебных процедур и даже обыкновенное обследование (особенно у буйволов) требует обезболивающих или успокаивающих средств.

Из вышеизложенного ясно, насколько ветеринарная хирургия заинтересована в разработке простых и доступных методов обезболивания.

Первое условие, которое требуется от обезболивания — простота осуществления.

К сожалению, ни одного общего наркоза с подобным свойством ветеринарная хирургия не имеет, хотя более четверти века в медицине существует разработанное впервые в мире акад. М. А. Топчибашевым анальгезиновое обезболивание.

Предвидев большую будущность данного обезболивания для целей ветеринарии вообще, а особенно ветеринарной хирургии, мы, начиная с 1964 г. приступили к изучению данного метода.

Опыты с анальгезином вначале проводились на овцах, в дозах, применимых в людской практике, т. е. 1 мл на 1 кг живого веса, причем не было констатировано обезболивающее свойство препарата.

По предложению акад. М. А. Топчибашева, мы повысили дозу анальгезина из расчета 2 мл на 1 кг живого веса, которая неизменно давала анальгетический эффект у животных средней упитанности.

Дальнейшие наблюдения показали, что доза анальгезина, применимая с целью обезболивания, до некоторой степени изменяется, в связи с возрастом, упитанностью, сезоном года и т. д. Так, старый возраст, истощенное состояние и жаркие сезоны года для анальгетиков.

ческого состояния требовали значительно меньше наркотического препарата, чем молодой возраст, высокая упитанность и зимние месяцы. Кроме того, беременное состояние также вызывает необходимость некоторого увеличения дозы анальгезина.

Следовательно, к противопоказаниям общего наркоза у животных следует внести большие изменения (речь идет о противопоказаниях у истощенных, беременных, старых, и т. д.).

Таким образом, окончательно установив на большом поголовье овец разного возраста, упитанности состояние анальгетического влияния эфирно-масличной смеси, мы, естественно, занимались изучением некоторых физиологических показателей данного обезболивания. При этом особое внимание было обращено на изменение: а) внутренней и кожной температуры, б) электрокардиограммы, в) руменограммы, г) пневмограммы, д) физико-химических свойств крови, е) физико-химических свойств мочи.

Исключив отрицательное влияние анальгезинового обезболивания на различные физиологические показатели, мы приступили к изучению влияния однократного и многократного анальгезинового обезболивания на морфологию внутренних органов. С этой целью в различные сроки после однократного и многократного проведения обезболивания была забита 21 голова овец и взят материал для гистологического исследования.

Благодаря исключительной эффективности анальгезинового обезболивания у овец, логически необходимо было испытать его также на других видах сельскохозяйственных животных.

В настоящее время весь коллектив кафедры (Г. Кулиев, М. Гаджиев, К. Ахмедов, Г. Волкова) включился в изучение влияния анальгезинового обезболивания на другие мелкие с.-х. животные.

Опыты, проведенные с буйволятами и телятами, показали, что исходная доза анальгезина (2 мл на 1 кг живого веса), разработанная для овец, у этих видов животных также вызывает анальгетическое состояние.

У данного вида животных также стало возможным безболезненное производство всех видов операций, начиная с простых, кончая самыми сложными.

При этом различная степень наркотического состояния достигалась самыми безобидными средствами, вроде легкого массажа места инъекций или же увеличением точек инъекций.

Клинические наблюдения показали, что анальгезиновое обезболивание достигается также у коз, свиней, собак и кошек. Причем у собак обезболивание требует высоких доз и проявляется с меньшей интенсивностью.

При изучении клинического проявления обезболивания была констатирована его различная длительность — от 45—90 мин, а иногда у особенно истощенных животных до 120 мин. Несмотря, однако, на это, необходимо было решить вопрос, связанный с проведением особенно длительных операций. Для достижения данной цели были проведены две серии опытов. Первая серия опытов предусматривала введение эфирномасличной смеси (в пределах 15—30 мл) в несколько большей дозе, чем исходная (т. е. применение сравнительно большей дозы).

Вторая серия опытов заключалась в введении дополнительного (в пределах 15—30 мл) количества смеси не сразу, а спустя 30—45—60 мин после начала обезболивания (двумя—тремя инъекциями с интервалом 15—20 мл).

В результате первой серии опытов было достигнуто удлинение срока обезболивания в пределах 45—60 мин. Однако течение наркоза было сравнительно тяжелое, появилось обильное слюнотечение из носовой и ротовой полостей, возник глубокий наркоз со всеми присущими ему признаками. Особенно тяжело происходило обезболивание у истощенных животных.

У упитанных овец увеличение дозы препарата не вызвало бурной реакции. То же самое относится к сухим овцам.

В результате второй серии опытов также было достигнуто удлинение срока обезболивания. Однако данные второй серии опытов резко отличаются от первой. Так, во второй серии опытов у всех подопытных животных было достигнуто удлинение срока обезболивания в пределах 45—90 мин в зависимости от упитанности и возраста. У истощенных и старых животных были констатированы максимальные сроки обезболивания, продолжающиеся до трех часов.

Кроме того, течение наркотического состояния во второй серии опытов было спокойное, т. е. отсутствовали побочные явления и продолжалось анальгетическое состояние.

Таким образом в результате проведенных исследований по удлинению срока обезболивания была выяснена возможность длительного обезболивания, как показали клинико-лабораторные анализы — без вреда для организма.

Наряду с изучением анальгетического влияния эфирномасличной смеси, а также, несмотря на то, что данная смесь полностью удовлетворяет всем требованиям хирургической клиники в отношении мелких животных, мы тем не менее параллельно изучали влияние комбинации анальгезина с аминазином.

Основанием для такой комбинации явилось применение высокой дозы анальгезина только у собак, у которых обезболивание не отвечает основным требованиям хирургической клиники.

Первые же опыты по комбинациям анальгезина дали исключительные результаты. Под комбинированным обезболиванием была проведена сложная хирургическая операция с хорошим результатом. При этом была достигнута нужная хирургическая стадия наркоза, которая в послеоперационном периоде сменилась сном. Разумеется, опыты были повторены неоднократно и с неизменным успехом (Г. Кулиев, М. Гаджиев).

Данная комбинация была применена также на овцах, козах (Г. Кулиев, Г. Волкова), буйволятах и телятах (Г. Кулиев, К. Ахмедов) при этом были констатированы аналогичные результаты.

Исследования показали, что перед операцией средней длительности, комбинация аминазина дает возможность до некоторой степени уменьшить исходную дозу анальгезина, т. е. вместо оптимальной дозы применять минимальную.

Длительное обезболивание при комбинированном методе достигается очень легко и к тому же без применения дополнительной дозы анальгезина. Поэтому при длительных операциях (по желанию и по обстоятельствам) можно выбрать анальгезиновое или же анальгезин-аминазиновое обезболивание.

Исключительная эффективность комбинации анальгезина с аминазином позволила разработать для овец, коз, буйволят и телят еще третью схему обезболивания, состоящую из подкожного введения анальгезина, интрамышечного введения аминазина и внутреннего введения алкоголя. Данная схема позволяет значительно сократить обычные дозы всех компонентов наркоза.

В отношении кошек свойство анальгезинового обезболивания таково, что нет нужды в комбинации с аминазином или же с другими премедикаторами. Хотя мы у данного вида животного предпочитаем только анальгезиновое обезболивание, тем не менее в нужных случаях комбинация этого вида обезболивания с ингаляционным эфирным наркозом вполне возможна (Г. Кулиев, М. Гаджиев).

Таким образом кафедра хирургии Азербайджанского сельскохозяйственного института с большим удовлетворением изучает одну из проблем современной ветеринарной хирургии — проблему обезболивания сельскохозяйственных животных.

Проведенные за последние годы экспериментальные и клинические исследования, дают нам возможность утверждать о большой перспективности работы с анальгезиновым обезболиванием.

АзСХИ

Поступило 4.IV 1987

Н. Ч. Гулиев

### Кәнд тәсәрүфаты һөҗвандарынын аналкезин кејитмәси

ХУЛАСӘ

Сон илләрдә үмуми наркоз, юрли кејитмә үсуллары хејли никшиф етмиш вә бунун да сајесиндә анестезиология адлы јени елм јаранышыры. Бајтарлыг тәчрүбәсиндә кејитмә үсулларынын хүсусиләб ёюк әһәмијәти вәрдәр. Чүни иәники чәрраһлыг эмәлијатлары, һәтта ады мүајинә үсуллары чох заман кејидичи маддәләрин тәтбигини тәләб едир.

1964-чү илдән башлајараг акад. М. А. Топчубашовун аналкезин кејитмә үсулуну хырда кәнд тәсәрүфаты һөҗвандарында тәтбиг етмәјә башладыг. Эввәлчә гојуларда аналкезинин кејидичи дозасынын һәр кг дыри чәкијә 2 мл олдуғуны тә'жин етдик. Соңра һәмин дозасын арыг, гоча вә бөғаз һөҗвандарда, һабелә исти вә сојуг фәсилләрдә дәјишидүйни айынлашдырыг.

Нәһајәт, наркозун организмни бир сырға физиологи системләринә вә дахили үзвләрин морфологисинә тә'сирини өјрәндик. Наркозун садә вә элверишли олмасы онун башга һөҗвандарда да өјрәнилмәснин тәләб етди. Эмәкдашларымыз илә бирликдә (М. Һачыев, Г. Эһмәдов, Г. Волков) апардыгымыз тәчрүбәләрдән аждын олмушшур ки, аналкезин кејитмәси гојулардан башга кечи, кәлчә, дана, донуз, ит вә пиншикләрдә дә мүвәффәгијәтлә апарыла биләр. Лакин итләрдә наркоз йүксәк аналкезин дозасы тәләб етдијиндән биз эввәлчә итләрдә, соңра гојун, кечи, кәлчә вә даналарда аминазини аналкезинлә бирликдә тәтбиг едәрәк јаҳшы нәтичәләр алдыг.

Комбинацион наркозун јаҳшы нәтичә вермәси биз гојун, кечи, кәлчә вә даналарда учүнчү наркоз схеминин назырланмасына әсас верди. Бу схем аналкезин, аминазин вә алкахол бирләшмәсниндән ибараәтдир. Пиншикләрдә исә аналкезин тәк-тәк һалларда ингәлјасион ефир наркозу илә бирликдә тәтбиг едилә биләр.

Беләликлә, АКТИ чәрраһијә вә мамалыг кафедрасынын эмәкдашлары бөյүк ээмлә јени вә перспективли наркоз нөвүнүн өјрәнилмәсн илә мәшгулдурулар.

АЗЭРБАЙЧАН ССР ЕЛМЛӘР АКАДЕМИЈАСЫНЫН МӘРҮЗӘЛӘРИ

ДОКЛАДЫ АКАДЕМИИ НАУК АЗЕРБАЙДЖАНСКОЙ ССР

ТОМ XXIV

№ 6

1968

## АРХЕОЛОГИЯ

З. И. ЯМПОЛЬСКИЙ

### О ПЕРВОБЫТНОМ ИСКУССТВЕ

(В порядке обсуждения)

(Представлено академиком АН Азербайджанской ССР М. А. Усейновым)

Во всех странах мира археологи и этнографы исследовали<sup>1</sup> большое число наскальных рисунков и изваяний каменного века и их пережитки. Эти рисунки и изваяния считают искусством<sup>2</sup>, удовлетворявшим эстетические чувства людей каменного века, выражавшим их эстетические вкусы. Однако в самих этих явлениях каменного века есть устойчивые (закономерные) объективные черты, отрицающие их объективную и субъективную принадлежность к искусству. Эти черты отмечались исследователями. Почти тридцатилетние наблюдения нескольких тысяч наскальных изображений (и их пережитков) каменного века в Кобыстане, открытых и изученных И. М. Джаяфарзаде<sup>3</sup>, кажется, позволяют предложить для обсуждения следующие обобщение этих черт.

Рисунки каменного века расположены «в самых темных и малодоступных»<sup>4</sup> пещерах, в местах совершенно неудобных для восприятия изображенного<sup>5</sup>. Эти рисунки перекрывают друг друга<sup>6</sup>, «так, что первой нелегко разобрать, к какой фигуре относится та или иная деталь»<sup>7</sup>. Размещение рисунков каменного века в местах, труднодоступных для их обозрения и перекрытие их друг другом свидетельствуют о том, что рисунки эти делались не для того, чтобы на них

<sup>1</sup> З. А. Абрамова. Изображение человека в палеолитическом искусстве Евразии. М.—Л., 1956; А. А. Формозов. Памятники первобытного искусства на территории СССР. М., 1955; F. Bourdier. L'art préhistorique. Paris, 1962; A. Letellier-Gourhan, Art et religion au paleolithique supérieur. Paris, 1964.

<sup>2</sup> См. названия приведенных выше работ.

<sup>3</sup> И. М. Джаяфарзаде. Наскальные изображения Кобыстана. Труды Ин-та истории АН Азерб. ССР, т. XIII, 1958.

<sup>4</sup> А. Ф. Анисимов. Этапы развития первобытной религии. М.—Л., 1967, стр. 25.

<sup>5</sup> О. Н. Бадер. Кановая пещера, М. 1963, стр. 16, 29, 23; А. А. Формозов. Указ. раб. стр. 32, 51, 53, 62; З. А. Абрамова. Ук. раб., стр. 20, 91; М. Я. Рутицкий. Кам'яна могила Кийв, 1962; А. Рогинская. Зараптасай, М.—Л., 1950.

<sup>6</sup> О. Н. Бадер. Ук. раб., стр. 5, 21; А. А. Формозов. Ук. раб., стр. 63, 122; И. М. Джаяфарзаде. Ук. раб., стр. 47.

<sup>7</sup> А. А. Формозов. Ук. раб., стр. 63.

смотрели. Следовательно, сами эти рисунки, а также субъективные цели и эмоции их творцов ничего общего не имели с удовлетворением, получаемым от восприятия рисунков. Нельзя считать искусством и вообще средством выражения, передачи настроений и мыслей рисунки, сделанные не для того, чтобы они рассматривались (воспринимались).

В числе рисунков каменного века есть изображения коллективных плясок<sup>8</sup>. Не вызывает возражений то, что это изображения предохотных плясок. Пережитки их хорошо известны. Такие пляски продолжались сутками и неделями<sup>9</sup>. Ясно, что они не могли удовлетворять эстетические чувства.

Созданные в каменном веке рисунки животных характерны своей натуралистичностью<sup>10</sup>. Рисунки же и изваяния женщин той поры совершенно ненатуралистичны — безголовые, безрукие, сухорукие, безлицые, безногие<sup>11</sup>. Это явление также свидетельствует о том, что характер рисунков и изваяний каменного века не определялся эстетическими эмоциями и вкусами, ибо не могло быть двух разных эмоций и вкусов у одних и тех же людей по отношению к рисункам, если бы последние были произведениями искусства.

Противоречит закономерностям искусства устойчивое наличие в разных странах мира в местах сухопутной охоты каменного века рисунков с изображением лодок с солнцем<sup>12</sup>.

Общеизвестно, что по мере развития скотоводства и земледелия пережитки рисунков каменного века деградируют параллельно развитию искусства, превращаясь в жалкие схемки и уменьшаются в размерах<sup>13</sup>. Это также убеждает в том, что у рисунков и изваяний каменного века были иные закономерности, чем у искусства.

Суммированные выше устойчивые (закономерные) черты позволяют считать, что рисунки, изваяния, пляски каменного века были явлением внеэстетическим, судя по времени их исполнения — доэстетическим.

Расположение рисунков в местах, затрудняющих их восприятие, налегание рисунков друг на друга, пляски, длящиеся неделями, наличие двух „стилей“ (звериного и женского), необъяснимое закономерности искусств изображения лодок с солнцем в местах сухопутной охоты, деградация рисунков каменного века по мере развития скотоводства и земледелия, отрицают принадлежность рисунков, изваяний и плясок каменного века к искусству. Это обобщение, если оно верно, требует, чтобы их изучали не как искусство. Однако из отмеченных выше работ Ф. Бурдье, А. Леруа-Гурана, А. П. Окладникова, А. А. Формозова, З. А. Абрамовой видно, что их изучают как искусство. А. П. Окладников даже нашел в каменном веке

<sup>8</sup> И. М. Джазарзаде. Ук. раб., стр. 38, 46, 55—58; П. И. Мариновский. О наскальных изображениях в горах Чулек. „Вестник АН Казахской ССР“, 1950, № 6; А. П. Окладников. Ук. раб., стр. 11, 112, 117, 124; А. А. Формозов. Ук. раб., стр. 18, 22, 65, 69, 100; З. А. Абрамова. Ук. раб., стр. 4—51, 85.

<sup>9</sup> Л. Г. Моргани. Древнее общество. Л., 1934, стр. 69; А. П. Окладников. Ук. раб., стр. 130; Э. Тэйлор. Первобытная культура. М.—Л., 1939, стр. 167, 172.

<sup>10</sup> О. Н. Бадер. Ук. раб., стр. 19; А. А. Формозов. Ук. раб., стр. 20; А. П. Окладников. Ук. раб., стр. 10, 109—111, 119.

<sup>11</sup> И. М. Джазарзаде. Ук. раб., стр. 47, 57, 60, 62; А. А. Формозов. Ук. раб., стр. 20—21; З. А. Абрамова. Ук. раб., стр. 8—22, 62, 64, 69; А. П. Окладников. Ук. раб., стр. 17.

<sup>12</sup> А. А. Формозов. Ук. раб., стр. 41—43; И. М. Джазарзаде. Ук. раб., стр. 46, 51, 61, 70; А. П. Окладников. Ук. раб., стр. 11, 129, 131.

<sup>13</sup> И. М. Джазарзаде. Ук. раб. стр. 39, 51, 52, 63; А. А. Формозов. Ук. раб., стр. 22, 59, 68, 74, 75; З. А. Абрамова. Ук. раб., стр. 3, 105; А. П. Окладников. Ук. раб., стр. 123, 124, 129, 132.

„эстетические идеалы“<sup>14</sup> и „художественные школы“<sup>15</sup>, а другой знаток этих материалов отметил для того времени „величайших анималистов“<sup>16</sup>.

Попытки понять закономерности рисунков, изваяний и плясок каменного века<sup>17</sup> могут быть рассмотрены только после того, как будет принято или отвергнуто положение о том, что эти явления стоят за пределами искусства.

Внести ясность в вопрос, были ли рисунки, изваяния и пляски каменного века искусством, тем более необходимо, что в научной литературе не раз было сказано<sup>18</sup> о нерешенности проблемы происхождения, как писал А. П. Окладников в 1966 г., „общих закономерностей развития первобытного искусства, суть которых и значение остается пока неизвестным“<sup>19</sup>.

Институт истории

Поступило 22. I 1968

З. И. Ямполски

Ибтидаи инчәсәнәт һаггына

ХУЛАСӘ

Мәгаләдә, инчәсәнәт иүмүнәси кими, гәләмә вермәк мүмкүн олмай даш дөврүңә даир һејкәл вә рәгс рәсмләри мәсәләси айынлашдырылышы.

Рәсмләрин гат-гат бир-биринни үзәрindә вә көзә чарпмајан һүндурулукда мөвчуд олмасы, иккى „үсүлүн“ (гадын вә вәһши һејван „үсүлү“) нәзәрә чарпмасы, гаыгларын ов јериндә мөвчудлуғу вә нә-һајәт, рәгсләрин кечә-күндүз давам етмәси бу рәсмләрин инчәсәнәтә аид олмадығыны исбат едир.

<sup>14</sup> А. П. Окладников. Ук. раб., стр. 63.

<sup>15</sup> Там же, стр. 115.

<sup>16</sup> А. А. Формозов. Ук. раб., стр. 104.

<sup>17</sup> Ю. Б. Юсифов, И. Г. Нариманов. Древняя история в научных изданиях: Азербайджанской ССР. „Вестник древней истории“, 1967, № 1, стр. 123; А. Д. Су-Ахметов. Философские проблемы происхождения религии. М., 1967, стр. 171; З. И. Ямполский. О происхождении религии и искусства. „Уч. зап. АГУ. История и философия“, 1967, № 3; в последней работе на стр. 72 ошибка.

<sup>18</sup> З. А. Абрамова. Ук. раб., стр. 7; А. А. Формозов. Ук. раб., стр. 115; Б. А. Фролов. К вопросу о содержании первобытного искусства. „Советская этнография“, 1965, № 1, стр. 168.

<sup>19</sup> А. П. Окладников. Ук. раб., стр. 108.

ЭПИГРАФИКА

М. С. НЕИМАТОВА

НАДПИСЬ ГРОБНИЦЫ „БАБА САМИТА“ (XVI),  
ОБ ОБЩЕСТВЕ „БЕКТАШИЙА“ и „БАБА САМИТ“

(Представлено академиком АН Азербайджанской ССР А. А. Ализаде)

Как в истории соседних народов, так и в нашей средневековой истории есть ряд сект и течений общественно-политического характера, которые были связаны с трудящимися массами. Среди них есть такие, о которых в первоисточниках, дошедших до нас, пока еще не встретили никаких сведений. Немаловажный интерес в этом смысле представляют надписи на памятниках, имеющие отношение к отдельным лицам, сыгравшим определенную роль в деятельности общественно-политических течений, сект и обществ. Оригинальный материал дают надписи, оставшиеся на таких архитектурных памятниках как мавзолей, завии и на мемориальных памятниках XVI—XIX вв. Самым интересным из этих памятников по содержанию является надпись на мавзолее Баба Самита. Мавзолей находится в сел. Шыхлар Сабирабадского района Азербайджанской ССР, построен из известняка. Памятник имеет снаружи квадратный, а изнутри крестообразный план. Здание перекрыто куполом, верхняя часть которого разрушена<sup>1</sup>. Площадь мавзолея снаружи 9,72, внутри—5,0 м<sup>2</sup>. Портал мавзолея восходит до уровня крыши и расположен в северной стене. В юго-восточной и западной стенах имеется по одному оконному проему размером 0,5×1,2 м. Дверь мавзолея 1,15×1,94 м, имеет стрельчатую арку. По бокам дверного проема высечены декоративные элементы растительного орнамента.

Девяносточная персо-арабская надпись<sup>2</sup>, выполненная насталиком, высечена над дверью мавзолея. До сего времени эта надпись никем не читалась и в литературе упоминание о ней и мавзолее не встречается.

Надпись имеет следующее содержание:

[1] حمد و سپاس بیحد و قیاس مالک الملکی را که طاق بدیع  
البنيان چرخ چنبری بر افراشته معمار قدرت اوست.

<sup>1</sup> Как сообщили местные жители, настоящий купол мавзолея был позднее восстановлен.

<sup>2</sup> Последние две строки надписи высечены более мелким шрифтом.

- [٢] كه روّاق رفیع الايوان گنبد نیلوفری بر آورده بنای مشیت او و صلان تحفه روّضه پیغمبری که در شان.
- [٣] يکی از زمرة او نازلست (قال) انى عبد الله اتاني الكتاب و جعلنى نبیا و جعلنى مبارکا و آل و اولاد کرام عظام
- [٤] خصوصاً على عاليقدر که زمرة متعالی اولیاء کمال نسبت با پیرای ولایت که بخشش وجود او مکمل گشته
- [٥] اساس و اركان و رفع قواعد و نصب حیطان اند صلوان الله عليه و بعد این گنبد عالی و روّاق متعالی
- [٦] حضرت سید السادات و منبع السعادات بابا صامت ابن حضرت سلطان حاجی بکتاش ابن حضرت امام الجن و الانس سلطان علی
- [٧] ابن موسی الرضی «عليه الصلوٰة والسلام در ایام خلافت خلیفه زمین و زمان پادشاه جمجمه سکندر قران سید الملوك و السلاطین قهرمان الماء و الطین
- [٨] شاه طهماسب الحسینی الصفوی بهادر خان خلد الله ملکه و سلطان نه بسعی [و] اهتمام نواب نامدار گردون وقار
- [٩] عبد الله خان بانی الخیرات و ساعی المیرات با تمام رسین فی شهر ذی قعده سنہ ٩٦٣

1. Бесконечная и неизмеримая хвала и благодарение владыке царю (небесного), имеющего врачающийся свод великолепного сооружения, возведенного могуществом его созидательства.
2. Возвышение высокого небосвода голубого неба является строением его воли. Благословение и приветы избранику цветнику пророков снизошли (с небес) и относятся.
3. Только к нему одному—(сказал): „Я—раб Аллаха. Он дал мне писание и сделал меня пророком. И сделал меня благословенным; где бы я ни был, и заповедал мне молитву и милостыню, пока я живу“ (Коран XIX, 31–32) роду и потомкам, великодушным и великим.
4. А особенно—Али, предопределенному свыше, являющемуся самым совершенным из всех высоких угодников, относящемуся к обители святости, который существом своего тела (так!) достиг совершенства.
5. Они (т. е. Али) считаются основой, столпом, возвышающим фундаменты, воздвигающим стены—да благословит его Аллах. И далее.
6. Это высокий мавзолей и возвышенный свод господина (хадрат) сеййида сеййидов, источника счастья Баба Самита сына хадрата султана хаджи Бекташа сына хадрат имама джиннов и людей, султана Али.
7. Ибн Муса [ар]—Рида—да будет над ним благословение (Аллаха) и приветы. В дни халифата правителя стран и времен пади-

<sup>3</sup> Коран' XIX, 31–32.

الرضا

шаха, подобного Джамшиду, союзника Искандара, повелителя царей (мулук) и султанов, владыка вод и суши.

8. Шаха Тахмаспа ал-Хусайн ас-Сафави, Бахадур-хана да увековечит Аллах его владычество и правление. Старанием и вниманием знаменитого навваба, могущественного повелителя.

9. 'Абдаллах-хана, основателя, благоденний старательного благодетеля. Закончено в месяце Зуль-Ка'да 963 года" (25. 10—23. 11/1585).

Как видно, в надписи упоминается имя Баба Самита ибн Хаджи, Бекташа:

До сего времени некоторые жители Сабирабадского и соседних районов поклоняются гробнице Баба Самита. Почитание Баба Самита, перешедшее после его смерти на его гробницу, неоднократное ремонтирование и восстановление гробницы говорит о том, что Баба Самит при жизни был весьма почитаемым и уважаемым человеком. С именем отца Баба Самит Хаджи Бекташа связано общество „Бекташийэ”.

Хаджи Бекташ Вели являлся пиром (святыня) ордена „Бекташийэ”, который, начиная с XIV и особенно в XV—XIX вв. имел в Турции большое религиозно-политическое влияние<sup>5</sup>. По мнению В. А. Гордлевского, влияние малограмотных членов ордена „Бекташийэ” на население было несравненно большим, чем членов других мусульманских сект. Члены ордена „Бекташийэ” были тесно связаны с народными массами<sup>6</sup>.

В нашей надписи весьма интересным является обстоятельство, указывающее на то, что Баба Смит является сыном Хаджи Бекташа и что род Хаджи Бекташа ведет свое начало от шиитского имама Али Реза (148—203 г. х.—755—818). Представление Хаджи Бекташа как потомка шиитского имама является, очевидно, фактом связи членов ордена „Бекташийэ” с шиитской sectой 12 имамов<sup>7</sup>.

Орден „Бекташийэ” считался суфийским. По сообщению Искандара Мюниши, Хусейн Румлу занимал весьма почтенную должность в сефевидском дворе при шахе Тахмаспе I. Шах с помощью халифат-ал-хулафа имел власть над обширными организациями последователей и своих подчиненных, обитаемых на всех территориях османской державы<sup>8</sup>. Отсюда можно предполагать, что сефевидские шахи, искавшие социально-политическую базу на обширной территории враждебной Турции почитали орден „Бекташийэ”.

Ношение Самитом лакаба баба, очевидно, указывает на связь бекташийэ с возникшей позднее sectой бабаидов. Этот период связан с именем второго основателя ордена—Балим султаном (умер в 922/1516)<sup>9</sup>. Балим султан ввел в правила ордена „Бекташийэ” некоторые новшества, упорядочил организацию, создав многотипное подчинение в такиях. Организации представляли собой отшельничье (мүчәррәд)

<sup>5</sup> Islam ansiklopedisi, 16 cüz, İstanbul, 1943, səh. 461; П. Цветков. Исламизм, т. 4, Ислам и его секты. Ашхабад, 1913, стр. 187. Согласно Зейнал Абдина Ширвани родному Хаджи Бекташа Вели является Хорасан. В 860 (1455—56) он прибыл в Анатолию (Рум) и создал войско янычар. См:

الحاج زین العابدین شیروانی، بستان السیاخه، طهران، ۱۳۱۵  
ص. ۱۰۲

<sup>6</sup> В. А. Гордлевский. Избранные сочинения, т. 1, М. 1960, стр. 265.

<sup>7</sup> Гаджи Зейнал Абдин Ширвани. Ук. соч., стр. 152.

<sup>8</sup> Искандар Мюниши. Tarihi-n-Alam-A'rabi Abbasî, стр. 105; Danon. Un interrogatoire d'hérétique musulman en 1619. В журн. „Азия”. Апрель, 1921, стр. 271—295. Цит. по В. Ф. Минорскому. Сазмани-идарий-нукумати сафави, стр. 103, 105.

<sup>9</sup> Islam ansiklopedisi, стр. 461.

дервишское общество<sup>10</sup>. Эти дервиши никогда не женились, жили в кельях и вешали на уши серьги, означавшие отказ от всего мирского<sup>11</sup>.

После реформ Балима султана некоторые деятели ордена „Бекташийэ”, считавшие себя прямыми потомками (Бекташи табирина гора бел евлады) Хаджи Бекташи (впоследствии их называли челеби) не приняли реформ Балима и, считая себя настоящими продолжателями (йол евлады) дел Хаджи Бекташи, начали враждовать со сторонниками Балим султана<sup>12</sup>. В больших городах и поселках влияние имела секта бабаидов, вышедшая из ордена „Бекташи“. Вероятно, что титул баба, который носил Самит, и надпись были связаны именно с sectой бабаидов, которая играла определенную роль во втором периоде деятельности Бекташийэ в ширвано-турецких взаимоотношениях.

Строительство гробницы Баба Самита беглярбеком Ширвана Абдулла-ханом устаджулу говорит о влиянии Баба Самита на представителей власти.

Следы позднейшего существования ответвления „бабай“ или же дервишского общества „Баба Самита“ в Ширване встречаются в эпиграфических памятниках XVII в. и в письменных документах начала XVIII в.

По мнению Бесима Атала, исследовавшего в течение десяти лет орден „Бекташийэ“ в Анадолах, существует одна молитва, касающаяся всех ответвлений ордена: ناد على—Взываи к Али<sup>13</sup>. Эта молитва упоминается в строительной надписи (1110=1698/99) мавзолея „Пир-Халила“, расположенного в 7 километрах от Гызылбурун в пос. Гильгильчай<sup>14</sup>.

Мавзолей „Пир Халил“ известен в народных массах как „Пир-Халил Баба“, т. е. „Пир старца Халила“. Присвоение народным массами захороненному в мавзолее лакаба „Баба“ и почтение местным населением гробницы, а также упоминание в надписи указанной молитвы—все это показывает, что Халил являлся старцем течения „бабай“, ответвляющегося от ордена „Бекташийэ“. Можно сказать, что орден имел своих последователей в Ширване в XVII в. Текст молитвы

ناد على—Взываи к Али встречается также на мемориальных памятниках Хаджи Мухаммеда бин Хасана (1041—1631/32)<sup>15</sup>, Мовлана Хаджа Ала-Аддина (1034—1625)<sup>16</sup>, находящихся в пос. Бузовны Апшеронского полуострова, на одном сундукообразном намогильном памятнике XVII в. в сел. Дада-Гюнаш Шемахинского района<sup>17</sup>, а также на зданиях (амаратах) „Пайгамбар“ (XVIII—XIX вв.)<sup>18</sup>, расположенных в 3 километрах от районного центра Ждановского района.

<sup>10</sup> Islam ansiklopedisi, стр. 461.

<sup>11</sup> Там же, стр. 461, 462; ٢٤٠ ص. ٢٤٠ استانبول، ١٣٤٠

<sup>12</sup> Там же, стр. 462; Ср. Басим Атала. Ук. соч., стр. 4, 5, 15, 23—25.

<sup>13</sup> Басим Атала. Ук. соч., стр. 25.

<sup>14</sup> М. С. Нейматова. Эпиграфические памятники Азербайджана (XVII—XVIII вв.) (на азерб. яз.). Баку, 1963, стр. 64, 65.

<sup>15</sup> Там же, стр. 71—73.

<sup>16</sup> Там же, стр. 75, 77.

<sup>17</sup> М. С. Нейматова. Эпиграфические памятники как исторический источник и их значение в изучении социально-экономической истории Азербайджана (XIV—XIX вв.). Не опублик. работа, 1965. См. научный архив Института истории Академии наук Азербайджанской ССР.

<sup>18</sup> Там же.

Продолжительное существование дервишеского ордена „Баба Самит“ в Ширване, кроме эпиграфических памятников, также подтверждается письменными документами. В указе правителя из династии сефевидов Шаха Султана Хусейна от 1116 г. х. (1704) говорится о назначении халифа некоторым дервишеским орденам<sup>19</sup>, существовавшим в ряде Ширванских махалов в нач. XVIII в. Наряду с дервишескими течениями упоминание

جماعت درویشان بابا صامیت

дервишеское общество Баба Самит, еще раз подтверждает данные эпиграфических памятников о продолжительном существовании ордена „Баба Самит“ на территории Ширвана.

Орден „Баба Самит“, как и другие дервишеские ордена на Востоке, в том числе и в Азербайджане, в первое время своего существования, защищая интересы трудящихся масс, сыграли положительную роль в общественной жизни страны. Но позднее, особенно во второй половине XIX в., упомянутый орден так же, как и другие мусульманские секты, лишили народ всевозможных земных благ, держали их в постоянном застое, загораживали им путь к прогрессу.

Институт истории

Поступило 16. X 1966.

М. С. Неметова

„Баба Самит“ (XVI) түрбэсийнин китабэси, „Бекташийжэ“  
вэ „Баба Самит“ чәмијәтләри һаггында

#### ХУЛАСЭ

Зәһмәткеш күтләләрин тарихи илә әлагәдар Азәрбајҹапда мөвчуд олмуш бәзи чәмијәтләр һаггында китабэләрдә мараглы мә’лumatlar varдыр. Бу барәдә мәзмун е’тибарилә даһа дәјәрли абида Сабирabad рајону Шыхлар кәндидәки Баба Самит түрбэсийнин китабэсидир.

Китабәдән аյдынашдырмаг олур ки, Ширванда „Баба Самит“ дәрвиш чәмијәти олмушдур. Бу орден XIV, хүсусилә XV—XIX әсрләрдә Түркијәдә бөјүк ичтимаи-сијаси нүфуз газанмыш „Бекташийжэ“ чәмијәтинин „бабайләр“ голундандыр. Чох күман ки, һәмән чәмијәт Сәфәви-Түркијә мұнасибәтләриндә дә мүәjjән рол ојнамышдыр. „Баба Самит“ чәмијәтинин соңалар Ширванда мөвчуд олмасыны XVII—XIX әср китабэләри вэ XVIII әсрин әvvәllәrinә аид мараглы бир јазылы сәнәд дә көстәрир.

#### МҮНДӘРИМАТ

##### Ријазијат

- С. А. Һүсејнова. Мұхтәлиф синиғли интегро-диференциал тәиликләрии сәрәд мәсәләсинин мәхсуси һәлли һаггында . . . . . 3  
К. М. Мусајев. Умумиәтмәш анализик функцијаларын бәзи сәрәд хасиятләре һаггында . . . . . 8

##### Механика

- Х. Б. Кәзәлов, А. В. Иванова. Мәнифи литиум ионунун фотоноплашибасынын сп. касији . . . . . 13

##### Физики кимја

- Шамхал Мәммәдов, Д. Н. Хыдыров, О. Б. Осипов, М. А. Авеиссан, Ф. С. Һачызадә, Е. Ш. Мәммәдов. Гликолларын гарышыг мүрәккәб ефирләrinинин синтези . . . . . 16  
С. И. Садыгзадә, Н. Т. Султанов, Ш. Џ. Гочајева, Т. Әфәнидијева, Н. Н. Прокофьев, И. В. Долинкина. Хлорбутилкаучукун синтези . . . . . 20  
М. М. Һүсејнов, Д. Џ. Мишијев, А. А. Мәирәлијев. Фенолун алкиленилесфирләrinинин пирилелза алкенилләшdirilmәси . . . . . 24  
С. Ч. Мендијев, М. Р. Мусајев, Ј. Б. Сахновскаја. Етилтәник-лохексадијен-1,3-үн синтези . . . . . 30

##### Мүһәндис қеолокијасы

- Ф. С. Элијев, А. А. Һүсејнова. Дарвин сүалты тәпеси гумларынын мүһәндиси-кеоложи хүсусијәтләри . . . . . 34

##### Кеокимја

- Ч. М. Сүлејманов, Е. А. Мирчјаји. Чејраибатан су һөвзәсинин диг чекүйтүләrinidә az jaýylмыш элементләр . . . . . 37

##### Кристаллокимја

- Ә. Д. Кәримов, Ә. М. Чәфәров. Бејүк Гафгазын Азәрбајҹан һиссә-синидәki чәнуб јамачыдан Йурадан габаг јашлы кристаллик шистләр вэ грани-тоидләр һаггында . . . . . 42

##### Палеонтолокија вэ стратиграфија

- Ак. А. Элизадә. Азәрбајҹанын белемнитләrinинин өколокијасына даир . . . . . 48

##### Биткиләрин физиолокијасы

- Д. Мугайлынскаја. Мұхтәлиф агротехники шәртләрдән асылы олараг јашыл биткиләрдә каротинин мигдары . . . . . 52

##### Палеоботаника

- Р. А. Фәтәлијева. *Cyclosorus stiriacus* (Unger) R. Ching et Takht. гыжысы Гафгазын Учүнчү дәвр флорасында . . . . . 57

<sup>19</sup> Рукописный фонд АН Азерб. ССР, док. инв. № 4000:

## Кинетика

Л. В. Ковдышева, Ф. А. Эхмэдзаде. Азэрбајҹаңда олаи мөрјэмнохуду ( <i>Teucrium</i> L.) чинси иевләри хромосомларынын ёјрәнилмәсini даир	60
<b>Битки анатомијасы</b>	
В. Г. Гәзәнфәрова. Лансетли бағајарпагынын чичәк һиссәләринин мор- фологидәјишкәнији <i>Plantago lanceolata</i>	64
<b>Иисан вә һеванларын физиолоџијасы</b>	
А. И. Гарајев, А. И. Чәфәров. Интероресепторларын гычыгландырыл- масы заманы беји габыгынын һисси-һәрәки наһијәсинин һәрәт режиминин вә электрик фәаллыгынын дәјішмәсі	69
<b>Кәнд тәсәррүфаты</b>	
Н. Ч. Гулијев. Кәнд тәсәррүфаты һеванларынын аналкезин кејитмәсі	73
<b>Археолокија</b>	
З. И. Јамполски. Ибтидаи иичәсәнәт һагтында	77
<b>Епиграфика</b>	
М. С. Немәтова. «Баба Самит» (XVI) түрбәсинин китабәси; «Бекта- шијјә» вә «Баба Самит» чомијәтләри һагтында	80

## СОДЕРЖАНИЕ

### Математика

С. А. Гусейнова. Об особых решениях одной краевой задачи некото- рого класса интегро-дифференциальных уравнений.	3
К. М. Мусаев. О некоторых граничных свойствах обобщенных анали- тических функций.	8

### Механика

Х. Б. Гезалов, А. В. Иванова. Сечения фотоионизации отрицатель- ного иона лития.	13
---	----

### Физическая химия

Шамхал Мамедов, Д. Н. Хыдыров, О. Б. Осипов, М. А. Ава- несян, Ф. С. Гаджизаде, Э. Ш. Мамедов. Синтез смешанных слож- ных гликоловых эфиров.	16
С. И. Садых-Заде, Н. Т. Султанов, Ш. Я. Коджаева, Т. Г. Эфен- диева, Н. Н. Прокофьев, И. В. Долинкина. Синтез хлорбутилкаучука.	20
М. М. Гусейнов, Д. Е. Мишиев, А. А. Мехралiev. Алкенилирова- ние алкилфениловых эфиров пиридином	24
С. Д. Мехтиев, М. Р. Мусаев, Е. Б. Сахновская. Синтез этилци- логексадиена-1,3.	30

### Инженерная геология

Ф. С. Алиев, А. А. Гусейнова. Инженерно-геологические особенности песков банки Дарвина.	34
--	----

### Геохимия

Д. М. Сулейманов, Э. А. Мкртчян. Малые элементы в современ- ных донных осадках Джейранбатанского водохранилища.	37
--	----

### Кристаллохимия

А. Д. Керимов, Э. М. Джагаров. О доюрских кристаллических слан- цах и метаморфизованных гранитоидах в Азербайджанской части южного скло- на Большого Кавказа.	42
---	----

### Палеонтология и стратиграфия

Ак. А. Али-заде. К экологии позднемеловых белемнитов Азербайджана.	48
--	----

### Физиология растений

Д. И. Мугалинская. Содержание каротина в тканях различных рас- тений при разных условиях агротехники.	52
--	----

### Палеоботаника

Р. А. Фаталиев. Папоротник <i>Cyclosorus stiriacus</i> (Unger) R. Ching et Takht. в третичных флорах Кавказа.	57
--	----

### Генетика

Л. В. Ковдышева, Ф. А. Ахмед-Заде. К вопросу о числе хромосом у азербайджанских представителей рода <i>Teucrium</i> L.	60
---	----

**Анатомия растений**

В. К. Казаифарова. Морфологическая изменчивость частей цветка подорожника ланцетного. . . . . 64

**Физиология человека и животных**

А. И. Каравеев, А. И. Джадаров. Изменение температурного режима и электрической активности сенсомоторной области коры мозга при стимуляции интерорецепторов. . . . . 69

**Сельское хозяйство**

Г. Д. Кулиев. Аналгезиновое обезболивание сельскохозяйственных животных . . . . . 73

**Археология**

З. И. Ямпольский. О первобытном искусстве . . . . . 77

**Эпиграфика**

М. С. Нейматова. Надпись гробницы «Баба Самита» (XVI), об обществе «Бекташий» и «Баба Самит». . . . . 80

Сдано в набор 20/V 1968 г. Подписано к печати 30/VII 1968 г. Формат бумаги 70×108<sup>1/4</sup>. Бум. лист. 2,75. Печ. лист. 7,54. Уч.-изд. лист. 6,5. ФГ 09332. Заказ 445.

Тираж 930. Цена 40 коп.

Типография «Наука» Комитета по печати при Совете Министров  
Азербайджанской ССР. Баку, Рабочий проспект, 96.